



恩智浦通用微控制器选型手册

2021版



工业级/物联网 微控制器

完善的微控制器生态系统

丰富的
产品组合

可扩展的
生态系统

敏锐的
技术洞察



产品涵盖了高性能跨界处理器到低功耗安全性与连接性微控制器

通用的软件平台与庞大的合作伙伴网络

从超过26000终端客户数以千计的应用场景中学习



技术创新

- 性能与集成度
- 计算效率
- 功耗优化
- 加强的安全性



嵌入式软件和工具

- 通用的MCUXpresso软件工具*
- 统一的上手步骤简化开发
- 强大的在线支持平台



应用领域中的专业性

- 丰富的人机交互接口（触控，语音，图像）
- 配备传感器节点，基于MCU的机器学习应用
- 为工业控制和工业设备提供高级模拟功能



产品保证

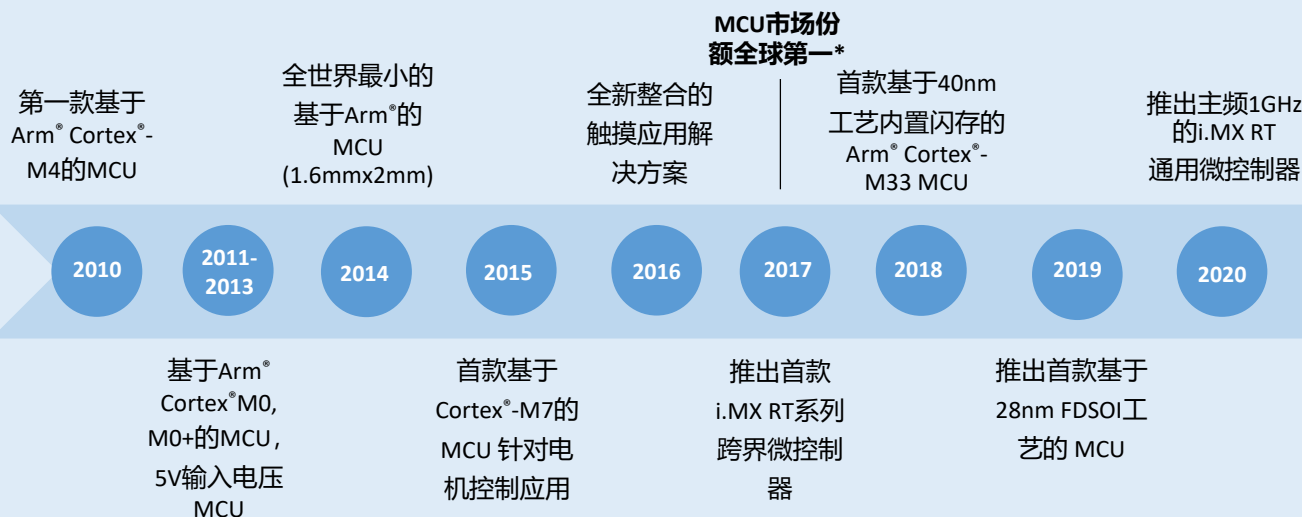
- 全球领先的微控制器供应商
- 供货全球
- 卓越的制造工艺
- 有竞争力的交货周期

*适用于基于Arm内核的微控制器产品



微控制器产业创新引导者

- 最早开发基于Arm内核微控制器的公司之一(2002)



- 通过技术和IP的融合带来统一的产品路线图
- 开发者再利用的最大化

*来源: IC Insights

目录

恩智浦微控制器产品系列一览

恩智浦基于Arm® Cortex®-M0+/M0的微控制器 – LPC系列

恩智浦基于Arm® Cortex®-M0+/M0的微控制器 – KL系列

恩智浦基于Arm® Cortex®-M4的微控制器 – LPC系列

恩智浦基于Arm® Cortex®-M4的微控制器 – K系列

恩智浦基于Arm® Cortex®-M7的跨界微控制器 – i.MX RT系列

恩智浦基于Arm® Cortex®-M33的微控制器 – LPC5500系列

5V供电，基于Arm® Cortex®-M稳定可靠的微控制器 – KE系列

面向电机控制，基于Arm® Cortex®-M的微控制器 – KV系列

恩智浦数字信号控制器（DSC）系列

恩智浦8位微控制器 – S08系列

恩智浦微控制器开发环境简介

恩智浦微控制器产品系列一览

主推

主推

CPU内核性能

通用产品系列

Arm® 内核

其他内核

Arm® Cortex®-M7

i.MX RT1xx

高性能

主频高达600MHz

0/4MB 闪存, 高达1MB SRAM/TCM

i.MX RT1170

高性能双核

主频高达1GHz

高达2MB SRAM/TCM

Arm® Cortex®-M33

LPC550x/S0x

高能效 CAN-FD/2.0

64-256KB 闪存

48-96KB SRAM

LPC551x/S1x

150MHz CAN-FD/2.0

64-256KB 闪存

48-96KB SRAM

LPC552x/S2x

150MHz

256-512KB 闪存

144-256KB SRAM

LPC55S6x

双核 DSP加速 PUF

256-640KB 闪存

144-320KB SRAM

Arm® Cortex®-M4

LPC54000

高能效 单/双核

0KB – 512KB 闪存

高达200KB RAM

K2x 不推荐

功能广泛 高性能

主频高达180MHz

32KB – 2MB 闪存

8KB – 1MB RAM

K6x 不推荐

高集成度 高性能

主频高达180MHz

32KB – 2MB 闪存

8KB – 256KB RAM

LPC4000, 4300 不推荐

中高端性能

主频高达104MHz

0KB, 64KB – 1MB 闪存

24KB – 282KB RAM

建议LPC55/i.MXRT

Arm® Cortex®-M3

LPC1300, 1500 不推荐

入门级 72MHz 主频

8KB – 256KB 闪存

4KB – 36KB RAM

LPC1700, 1800 不推荐

功能广泛 高集成度

100-180 MHz

0KB, 32KB – 1MB 闪存

8KB – 200KB RAM

Arm® Cortex®-M0/M0+

LPC800 可推

低成本 入门级

4KB – 64KB 闪存

1KB – 16KB RAM

KL0x

低功耗 小封装

8KB – 32KB 闪存

1KB – 4KB RAM

不推荐

LPC1100, 1200

低功耗 功能丰富

4KB – 256KB 闪存

1KB – 36KB RAM

KL2x

低功耗 FS USB

32KB – 512KB 闪存

4KB – 128KB RAM

建议LPC800

性能、集成度和安全特性

8-bit S08

建议LPC800

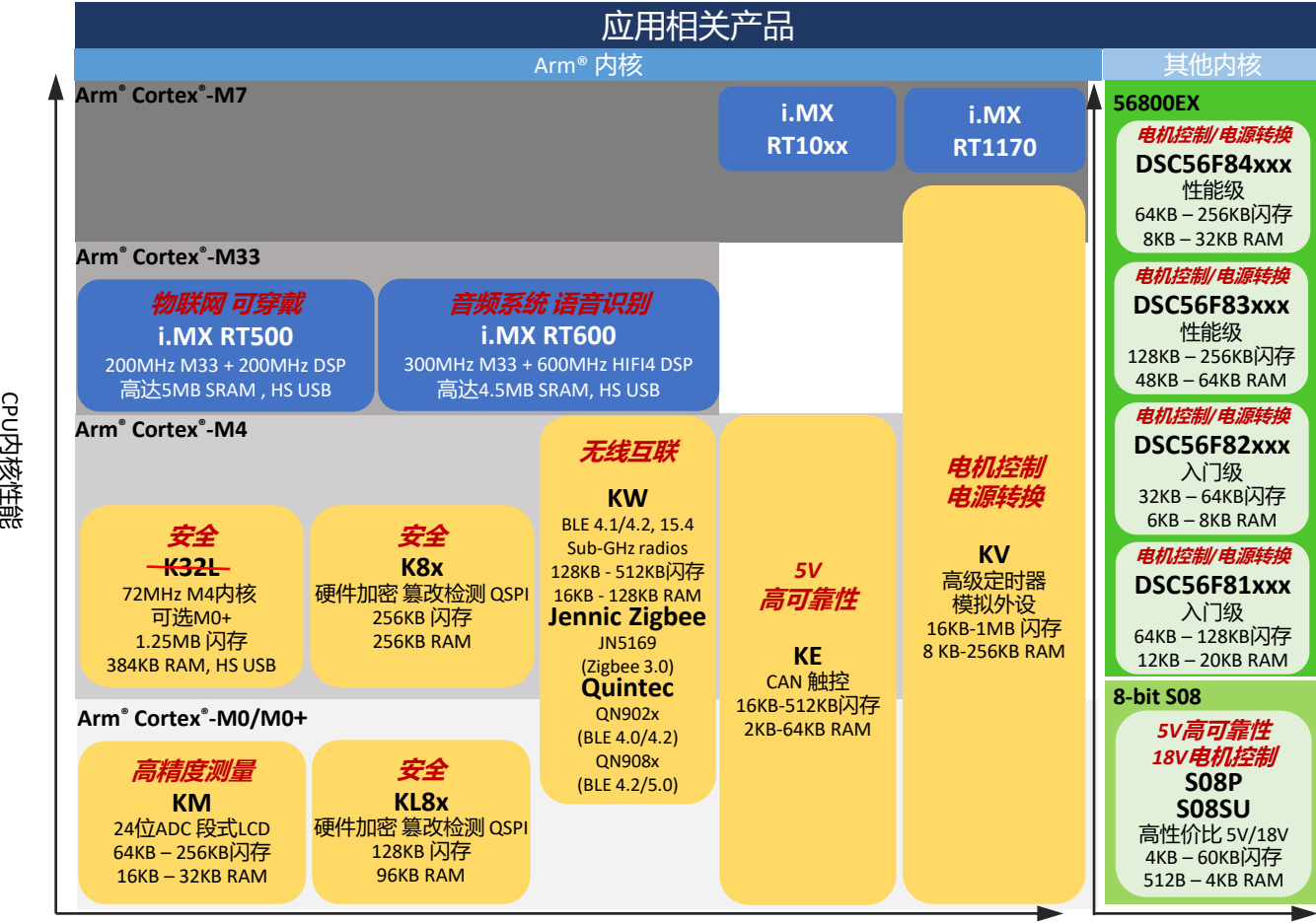
S08QL
S08LL

3V 超低功耗

4KB – 64KB 闪存

256B – 4KB RAM

恩智浦微控制器产品系列一览



应用方向检索 - 工业应用

| 应用方向 | 应用领域 | 主要技术指标 | 推荐产品系列 |
|-------|---------------------|------------------------------------|---|
| 工厂自动化 | 工业网关: TSN网关/DTU | Edegscale, OpenIL, TSN, OPC-UA | Layerscape通信处理器, i.MX |
| | HMI面板 | GUI, H.264/265解码 | i.MX 8M, i.MX RT |
| | 逆变器/驱动器 | 电机控制 | KV, DSC, KE |
| | PLC与电机控制 | 高能效, 安全 | i.MX RT, LPC, KE |
| | 伺服 (通用/专用/AC) | Ethercat, delta-sigma ADC, 快速FOC控制 | DSC, KV, i.MX RT |
| | 编码器 | 16位AD, 高速, CPLD替代 | KV |
| | 自动化/步进电机: 2相混合式步进电机 | 低成本, 多轴, 闭环 | KV, DSC |
| | 机械臂 | 电机控制, 交互面板, HMI+TSN | i.MX RT, KV |
| | VFD (变频器) | Motor Control, CAN | KV, DSC, KE, LPC |
| 电力与能源 | 数字电源: 太阳能逆变 | Low Power+125C | DSC, KV |
| | 数字电源: UPS | 内核+丰富外设/IO, 多路CAN | DSC, KV, S08 |
| | 数字电源: 供电 | 高性能内核, 多流水线结构, 高分辨率PWM和快速ADC | DSC, KV, KL, S08 |
| | EV充电桩: 无线系统 | 低成本, QFP100封装 | DSC, KE, QN/JN, i.MX RT |
| | EV充电桩: 显示/控制/支付 | LCD, ENET, QFP封装 | i.MX RT |
| | EV充电桩: 供电 | PFC, LLC, 系统效率 | DSC |
| | EV充电桩: 系统总成 | 模块集成与控制器 | DSC, KV, i.MX RT |
| | 智能电网: 数据集中 | 低功耗处理器, Linux支持 | i.MX 6ULL |
| | 智能电网: 电表 | 可靠性与长期供货保证, QFP100/LGA128封装 | i.MX RT106x |
| 楼宇自动化 | DC (直流) 风扇 | 低成本, 长期供货保证 | S08, KE04 |
| | ESS: 电源管理 | 电池管理 | DSC, KV, i.MX RT |
| | 断路器: 智能断路器/MCCB/ACB | 可靠性, 16位ADC | KV, LPC |
| | 电梯: 电机控制 | SIL3安全等级, VFD, 高性能 | KV, DSC |
| | 电梯: 召唤盒 | CAN总线与485总线 | KE, LPC |
| | 电梯: 面板 | LED/LCD显示, 语音, CAN/485总线 | S08, KE, i.MX RT |
| | 火警报警器: 烟雾探测 | 集成放大器, 低成本 | LPC, KL |
| | 报警器: 控制箱 | 长期供货保证, 低功耗 | LPC, i.MX 6ULL, i.MX RT, K, KE, KL, S08 |
| | 监控: 方向控制, 图像传感/处理 | 高性能MCU, 大空间RAM, USB | i.MX RT10xx, LPC5500 |
| 医疗 | 空气压缩机: 主控面板 | 人机交互界面 | LPC17/546, i.MX 6ULL |
| | 考勤机, 门禁管理 | 面部识别能力 | i.MX RT, i.MX |
| 交通运输 | 网关 | 面部识别能力 | i.MX 8M |
| | 医疗设备: 监护仪, 呼吸机 | 人机交互界面, 电源管理 | i.MX RT, i.MX |
| | 医疗设备: AED,EDG | 人机交互界面 | KV, LPC, i.MX RT |
| | 车载充电器 | 工业/汽车级, FUSA功能安全 | DSC |
| | 轨道交通, 车辆: 蓝牙连接 | 低功耗蓝牙支持 | KW |
| | 轨道交通, 车辆: HMI面板 | GPU, H.264/265解码器 | i.MX 8M |
| | 轨道交通, 车辆: 网关 | TSN, OPC-UA, 5G | Layerscape通信处理器 |
| | 服务机器人, AGV | 板级支持包, 雷达, SLAM, 摄像头ISP | i.MX 8M |
| | 车载T-box | CAN总线 | LPC17/546 |
| 电动汽车 | 电动车: 控制面板 | 人机交互界面 | i.MX RT |
| | 电动车: 电机控制 | 低功耗, 参考设计 | KE, KV |

应用方向检索 – 物联网应用

| 应用方向 | 应用领域 | 主要技术指标 | 推荐产品系列 |
|----------|------------------|-----------------------------|--------------------------------------|
| 家用电器 | 油烟机：电机/按键/手势/语音 | 电机控制，触摸按键，手势/语音识别 | KV, KE |
| | 洗衣机：电机/控制面板/泵/显示 | 电机控制，触摸按键，GUI | DSC, KV, KE, i.MX RT |
| | 小型家电 | 低成本，易用性 | S08, KE |
| | 家用机器人 | 电机控制，高性能，GUI | i.MX RT1050, KV, KE, LPC54xx |
| | 空调：电机/面板/遥控 | 电机控制，GUI | S08LL16, S08PT60, KE14 |
| | 微波炉：电机/面板/显示 | 可靠性，低成本，触控 | S08PL16, KE02, S08PA16 |
| | 冰箱：电机/面板/显示 | 可靠性，低成本，触控 | DSC, KV, KE |
| | HMI：LED/小屏幕LCD显示 | 流畅显示，NAND闪存，DDR，GUI | i.MX RT, i.MX 8M |
| 智能零售 | 自动售货机 | GUI，流畅显示 | i.MX 8M/8M Mini |
| | 快递柜 | GUI，流畅显示 | i.MX 8M/8M Mini |
| | 智能POS机 | PCI认证 | i.MX 8X/8M Nano, K21D/F, K81 |
| | QR二维码POS机 | PBOC认证 | i.MX RT1052 |
| | 传统POS机 | PCI认证 | i.MX 6UL, K81, K21F |
| 智能家居 | 家庭网关 | Homekit, Gateway Lite, 安全 | i.MX6ULL, i.MX RT, LPC |
| | 智能控制面板 | 语音/面部识别，HMI，无线连接 | i.MX8M Nano, i.MX RT |
| | 智能门锁 | 指纹/面部识别，无线连接 | KL16, LPC, i.MX RT, i.MX 7ULP, QN/JN |
| | 传感器节点 | Zigbee | JN5169, JN5189 |
| | 智能门铃 | HMI，图像捕捉，无线连接 | i.MX 8M Plus, i.MX RT |
| | 智能卫浴 | 触控，电机控制，无线连接 | KV, KE, QN/JN |
| 计算机/游戏设备 | 游戏耳麦 | USB连接，低延迟，集成NXH3670 | KL27, LPC51U68, LPC5500 |
| | 游戏键鼠 | 高速/全速USB，丰富接口，低功耗蓝牙 | LPC11Uxx, LPC51U68, LPC5500, QN |
| 无人机 | 无人机 | 高性能，电机控制 | i.MX RT1060, KL26 |
| 智能办公 | 电话会议系统 | 4-8麦克风拾音系统 | i.MX 8M Mini/8M Nano, i.MX RT600 |
| | 电动办公桌 | 电机控制，触控，低功耗蓝牙 | KE, KV, QN |
| 音频设备 | 条形音响 | i3D，杜比Atmos, Acoustic, 回声消除 | i.MX 8M Mini/8M Nano |
| | ATMOS智能音箱 | Atmos, 语音识别，i3D，回声消除 | i.MX RT600, i.MX8M Nano |
| | 混音器 | 语音识别，音频处理 | i.MX RT600, i.MX 8M Mini/8M Nano |
| 可穿戴设备 | 运动手表 | GUI，低功耗 | i.MX RT500 |
| 消费电子 | 电动工具 | 低功耗，电机控制 | LPC800, KE, KV |
| | 电纸书 | H/W EPD控制 | i.MX6 SL/SLL, i.MX 7D |
| | 迷你打印机 | USB，以太网，SDRAM接口 | LPC |
| | 3D打印机 | GUI, Maulin OS | i.MX RT |

*“推荐产品系列”一栏中 蓝字 为NXP应用处理器产品

恩智浦基于Arm® Cortex®-M0+/M0的微控制器 – LPC系列

基于Arm® Cortex®-M0+和M0内核的LPC微控制器是市场上最小、最高能效的LPC MCU。具有非常小的芯片面积、低功耗和高效的代码，同时在工具和二进制代码方面与Cortex®-M3和M4/M4F等更高速度、功能丰富的内核保持兼容性。

基本特性

- 8/16位芯片面积上提供32位的性能，更高的能效比提供更长的电池使用时间，并为产品改进提供性能空间。
- 快速中断处理，适合时序敏感的控制应用
- 在小尺寸的单芯片上同时集成了处理器和模拟电路
- 唤醒中断控制器支持超低功耗保留模式，以及关键事件瞬时完全激活模式
- 采用较小的处理内核、系统和存储器，降低设备成本

LPC800系列：低成本，低功耗

LPC800为基本微控制器应用提供了一系列低功耗、节省空间、低引脚数的选项。超高能效、30MHz的Arm® Cortex®-M0+内核提供了具有确定性的实时性能。LPC800系列MCU配制了各种多功能定时、互联和模拟外设，适合那些优先考虑低引脚数、小封装或严格的低功耗要求的广泛应用。

LPC800系列包含两个可通过GUI工具进行配置的创新特性。一个灵活的开关矩阵，可以把片上外设分配给任意引脚，在不增加复杂性的同时带来巨大的灵活性；状态可配置定时器(SCT)包含一个强大的32位定时器(或两个16位定时器)和一个可配置的状态机，可以实现常见8位MCU上的所有定时或PWM功能。

LPC800系列产品提供多种低引脚数封装，包括SO20、TSSOP20、TSSOP16、XSON16和HVQFN。

目标应用

- 传感器网关
- NFC、BLE、Zigbee或WiFi等无线协议的通信接口
- 人机接口任务，如触摸、手势和滑屏
- 电池供电设备
- 空间受限的设计
- 简单的协议桥接
- 8/16位替换部件

LPC1100系列：集成与连接

LPC1100系列基于Cortex®-M0核心，运行速率高达50MHz，为用户提供高性能、低功耗、易于使用的指令集和存储器地址空间，以及比现有8位/16位架构更精简的代码量。这组多元化的产品涵盖了USB、LCD和CAN等行业标准功能，一些产品还包括12通道的12位ADC或I/O处理器(IOP)等特殊功能，在设计周期内随时为开发人员添加额外功能。

适用场合

- 优选小尺寸、低引脚数和/或低功耗的应用，满足集成的连接（USB或CAN）、模拟、段式LCD或EEPROM的要求
- BOM成本敏感度：片上USB PHY和CAN收发器降低成本
- 即插即用USB：认证的USB驱动器，VID/PID程序
- 高性能模拟：12通道/12位2Msps、ADC、12位DAC、比较器、PWM和温度传感器
- 采用片上EEPROM存储数据，提高可靠性和性能

目标应用

- 电子测量
- 警报系统
- 照明
- 白色家电

| 产品型号 | 内核 | 主频 (MHz) | 闪存 (KB) | RAM (KB) | E ² PROM (KB) | 引脚数目 | I/O 数目 | UART | I ² C | SPI | ADC 通道 | ADC 位数/速度 (bits/MspS) | 封装 | 最高工 作温度 | 工作电压 (V) |
|---------------------------------------|------|-------------|------------|-------------|-----------------------------|------|-----------|------|------------------|-----|-----------|-----------------------------|------------------------|------------|-------------|
| LPC800系列：基于Arm® Cortex®-M0+内核的低成本微控制器 | | | | | | | | | | | | | | | |
| LPC8N04FHI24E | CM0+ | 8 | 32 | 8 | 4 | 24 | 12 | - | 1 | 1 | - | - | HVQFN24 | 85°C | 1.72~3.6 |
| LPC8N04FHI24Z | CM0+ | 8 | 32 | 8 | 4 | 24 | 12 | - | 1 | 1 | - | - | HVQFN24 | 85°C | 1.72~3.6 |
| LPC802M001JDH16FP | CM0+ | 15 | 16 | 2 | - | 16 | 13 | 2 | 1 | 1 | 12 | 12 / 0.48 | TSSOP16 | 105°C | 1.71~3.6 |
| LPC802M001JDH16J | CM0+ | 15 | 16 | 2 | - | 16 | 13 | 2 | 1 | 1 | 12 | 12 / 0.48 | TSSOP16 | 105°C | 1.71~3.6 |
| LPC802M001JDH20FP | CM0+ | 15 | 16 | 2 | - | 20 | 17 | 2 | 1 | 1 | 12 | 12 / 0.48 | TSSOP20 | 105°C | 1.71~3.6 |
| LPC802M001JDH20J | CM0+ | 15 | 16 | 2 | - | 20 | 17 | 2 | 1 | 1 | 12 | 12 / 0.48 | TSSOP20 | 105°C | 1.71~3.6 |
| LPC802M001JHI33E | CM0+ | 15 | 16 | 2 | - | 33 | 17 | 2 | 1 | 1 | 12 | 12 / 0.48 | HVQFN33 | 105°C | 1.71~3.6 |
| LPC802M001JHI33Y | CM0+ | 15 | 16 | 2 | - | 33 | 17 | 2 | 1 | 1 | 12 | 12 / 0.48 | HVQFN33 | 105°C | 1.71~3.6 |
| LPC802M011JDH20FP | CM0+ | 15 | 16 | 2 | - | 20 | 16 | 2 | 1 | 1 | 12 | 12 / 0.48 | TSSOP20 | 105°C | 1.71~3.6 |
| LPC802UKZ | CM0+ | 15 | 16 | 2 | - | 16 | 13 | 2 | 1 | 1 | 8 | 12 / 0.48 | WLCSP16 | 105°C | 1.71~3.6 |
| LPC804M101JDH20FP | CM0+ | 15 | 32 | 4 | - | 20 | 17 | 2 | 2 | 1 | 12 | 12 / 0.48 | TSSOP20 | 105°C | 1.71~3.6 |
| LPC804M101JDH20J | CM0+ | 15 | 32 | 4 | - | 20 | 17 | 2 | 2 | 1 | 12 | 12 / 0.48 | TSSOP20 | 105°C | 1.71~3.6 |
| LPC804M101JDH24FP | CM0+ | 15 | 32 | 4 | - | 24 | 21 | 2 | 2 | 1 | 12 | 12 / 0.48 | TSSOP24 | 105°C | 1.71~3.6 |
| LPC804M101JDH24J | CM0+ | 15 | 32 | 4 | - | 24 | 21 | 2 | 2 | 1 | 12 | 12 / 0.48 | TSSOP24 | 105°C | 1.71~3.6 |
| LPC804M101JHI33E | CM0+ | 15 | 32 | 4 | - | 33 | 30 | 2 | 2 | 1 | 12 | 12 / 0.48 | HVQFN33 | 105°C | 1.71~3.6 |
| LPC804M101JHI33Y | CM0+ | 15 | 32 | 4 | - | 33 | 30 | 2 | 2 | 1 | 12 | 12 / 0.48 | HVQFN33 | 105°C | 1.71~3.6 |
| LPC804M111JDH24FP | CM0+ | 15 | 32 | 4 | - | 24 | 20 | 2 | 2 | 1 | 12 | 12 / 0.48 | TSSOP24 | 105°C | 1.71~3.6 |
| LPC804M111JDH24J | CM0+ | 15 | 32 | 4 | - | 24 | 20 | 2 | 2 | 1 | 12 | 12 / 0.48 | TSSOP24 | 105°C | 1.71~3.6 |
| LPC804UKAZ | CM0+ | 15 | 32 | 4 | - | 20 | 17 | 2 | 2 | 1 | 12 | 12 / 0.48 | WLCSP20 | 105°C | 1.71~3.6 |
| LPC811M001JDH16 | CM0+ | 30 | 8 | 2 | - | 16 | 14 | 2 | 1 | 1 | - | - | TSSOP16 | 105°C | 1.8~3.6 |
| LPC812M101JDH16 | CM0+ | 30 | 16 | 4 | - | 16 | 14 | 3 | 1 | 2 | - | - | TSSOP16 | 105°C | 1.8~3.6 |
| LPC812M101JTB16 | CM0+ | 30 | 16 | 4 | - | 16 | 14 | 3 | 1 | 2 | - | - | XSON16 | 105°C | 1.8~3.6 |
| LPC812M101JD20 | CM0+ | 30 | 16 | 4 | - | 20 | 18 | 2 | 1 | 1 | - | - | SO20 | 105°C | 1.8~3.6 |
| LPC812M101JDH20 | CM0+ | 30 | 16 | 4 | - | 20 | 18 | 3 | 1 | 2 | - | - | TSSOP20 | 105°C | 1.8~3.6 |
| LPC822M101JDH20 | CM0+ | 30 | 16 | 4 | - | 20 | 16 | 3 | 4 | 2 | 5 | 12 / 1.2 | TSSOP20 | 105°C | 1.8~3.6 |
| LPC822M101JHI33 | CM0+ | 30 | 16 | 4 | - | 33 | 29 | 3 | 4 | 2 | 12 | 12 / 1.2 | HVQFN33 ⁽²⁾ | 105°C | 1.8~3.6 |
| LPC824M201JDH20 | CM0+ | 30 | 32 | 8 | - | 20 | 16 | 3 | 4 | 2 | 5 | 12 / 1.2 | TSSOP20 | 105°C | 1.8~3.6 |
| LPC824M201JHI33 | CM0+ | 30 | 32 | 8 | - | 33 | 29 | 3 | 4 | 2 | 12 | 12 / 1.2 | HVQFN33 ⁽²⁾ | 105°C | 1.8~3.6 |
| LPC832M101FDH20 | CM0+ | 30 | 16 | 4 | - | 20 | 16 | 1 | 1 | 2 | 5 | 12 / 1.2 | TSSOP20 | 85°C | 1.8~3.6 |
| LPC834M101FHI33 | CM0+ | 30 | 32 | 4 | - | 33 | 29 | 1 | 1 | 2 | 12 | 12 / 1.2 | HVQFN33 ⁽²⁾ | 85°C | 1.8~3.6 |

(1) 使用片内FlexComm配置实现

(2): 5x5mm

(3): 7x7mm

| 产品型号 | 内核 | 主频(MHz) | 闪存(KB) | RAM(KB) | 引脚数目 | I/O数目 | UART | I ² C | SPI | ADC通道 | ADC位数/速度(bits/Msp) | 封装 | 最高工作温度 | 工作电压(V) |
|---|------|---------|--------|---------|------|-------|------|------------------|-----|-------|--------------------|------------------------|--------|---------|
| LPC800系列：基于Arm® Cortex®-M0+内核的低成本微控制器 | | | | | | | | | | | | | | |
| LPC844M201JBD48E | CM0+ | 30 | 64 | 8 | 48 | 42 | 2 | 2 | 2 | 12 | 12 / 1.2 | LQFP48 | 105°C | 1.8~3.6 |
| LPC844M201JBD64E | CM0+ | 30 | 64 | 8 | 64 | 54 | 2 | 2 | 2 | 12 | 12 / 1.2 | LQFP64 | 105°C | 1.8~3.6 |
| LPC844M201JHI33E | CM0+ | 30 | 64 | 8 | 33 | 29 | 2 | 2 | 2 | 12 | 12 / 1.2 | HVQFN33 | 105°C | 1.8~3.6 |
| LPC844M201JHI33Y | CM0+ | 30 | 64 | 8 | 33 | 29 | 2 | 2 | 2 | 12 | 12 / 1.2 | HVQFN33 | 105°C | 1.8~3.6 |
| LPC844M201JHI48E | CM0+ | 30 | 64 | 8 | 48 | 42 | 2 | 2 | 2 | 12 | 12 / 1.2 | HVQFN48 | 105°C | 1.8~3.6 |
| LPC845M301JBD48E | CM0+ | 30 | 64 | 16 | 48 | 42 | 5 | 4 | 2 | 12 | 12 / 1.2 | LQFP48 | 105°C | 1.8~3.6 |
| LPC845M301JBD64E | CM0+ | 30 | 64 | 16 | 64 | 54 | 5 | 4 | 2 | 12 | 12 / 1.2 | LQFP64 | 105°C | 1.8~3.6 |
| LPC845M301JHI33E | CM0+ | 30 | 64 | 16 | 33 | 29 | 5 | 4 | 2 | 12 | 12 / 1.2 | HVQFN33 | 105°C | 1.8~3.6 |
| LPC845M301JHI33Y | CM0+ | 30 | 64 | 16 | 33 | 29 | 5 | 4 | 2 | 12 | 12 / 1.2 | HVQFN33 | 105°C | 1.8~3.6 |
| LPC845M301JHI48E | CM0+ | 30 | 64 | 16 | 48 | 42 | 5 | 4 | 2 | 12 | 12 / 1.2 | HVQFN48 | 105°C | 1.8~3.6 |
| LPC845M301JHI48Y | CM0+ | 30 | 64 | 16 | 48 | 42 | 5 | 4 | 2 | 12 | 12 / 1.2 | HVQFN48 | 105°C | 1.8~3.6 |
| LPC1100系列：基于Arm® Cortex®-M0+/M0内核的入门级可扩展微控制器 | | | | | | | | | | | | | | |
| LPC1111FDH20/202 | CM0 | 50 | 8 | 2 | 20 | 16 | 1 | 1 | 1 | 5 | 10 / 0.4 | TSSOP20 | 85°C | 1.8~3.6 |
| LPC1111FHN33/203 | CM0 | 50 | 8 | 4 | 33 | 28 | 1 | 1 | 2 | 8 | 10 / 0.4 | HVQFN33 ⁽³⁾ | 85°C | 1.8~3.6 |
| LPC1111JHN33/203 | CM0 | 50 | 8 | 4 | 33 | 28 | 1 | 1 | 2 | 8 | 10 / 0.4 | HVQFN33 ⁽³⁾ | 105°C | 1.8~3.6 |
| LPC1112FD20/102 | CM0 | 50 | 16 | 4 | 20 | 16 | 1 | 1 | 1 | 8 | 10 / 0.4 | SO20 | 85°C | 1.8~3.6 |
| LPC1112FDH20/102 | CM0 | 50 | 16 | 4 | 20 | 14 | 1 | - | 1 | 8 | 10 / 0.4 | TSSOP20 | 85°C | 1.8~3.6 |
| LPC1112FHN24/202 | CM0 | 50 | 16 | 4 | 24 | 19 | 1 | 1 | 1 | 8 | 10 / 0.4 | HVQFN24 | 85°C | 1.8~3.6 |
| LPC1112FDH28/102 | CM0 | 50 | 16 | 4 | 28 | 22 | 1 | 1 | 2 | 8 | 10 / 0.4 | TSSOP28 | 85°C | 1.8~3.6 |
| LPC1112FHI33/203 | CM0 | 50 | 16 | 4 | 33 | 28 | 1 | 1 | 2 | 8 | 10 / 0.4 | HVQFN33 ⁽²⁾ | 85°C | 1.8~3.6 |
| LPC1112FHN33/203 | CM0 | 50 | 16 | 4 | 33 | 28 | 1 | 1 | 2 | 8 | 10 / 0.4 | HVQFN33 ⁽³⁾ | 85°C | 1.8~3.6 |
| LPC1112JHI33/203 | CM0 | 50 | 16 | 4 | 33 | 28 | 1 | 1 | 2 | 8 | 10 / 0.4 | HVQFN33 ⁽²⁾ | 105°C | 1.8~3.6 |
| LPC1112JHN33/203 | CM0 | 50 | 16 | 4 | 33 | 28 | 1 | 1 | 2 | 8 | 10 / 0.4 | HVQFN33 ⁽³⁾ | 105°C | 1.8~3.6 |
| LPC1113FHN33/303 | CM0 | 50 | 24 | 8 | 33 | 28 | 1 | 1 | 2 | 8 | 10 / 0.4 | HVQFN33 ⁽³⁾ | 85°C | 1.8~3.6 |
| LPC1113JHN33/303 | CM0 | 50 | 24 | 8 | 33 | 28 | 1 | 1 | 2 | 8 | 10 / 0.4 | HVQFN33 ⁽³⁾ | 105°C | 1.8~3.6 |
| LPC1113FBD48/303 | CM0 | 50 | 24 | 8 | 48 | 42 | 1 | 1 | 2 | 8 | 10 / 0.4 | LQFP48 | 85°C | 1.8~3.6 |
| LPC1113JBD48/303 | CM0 | 50 | 24 | 8 | 48 | 42 | 1 | 1 | 2 | 8 | 10 / 0.4 | LQFP48 | 105°C | 1.8~3.6 |

(1) 使用片内FlexComm配置实现

(2) (2): 5x5mm

(3) (3): 7x7mm

| 产品型号 | 内核 | 主频(MHz) | 闪存(KB) | RAM(KB) | E ² PROM(KB) | 引脚数目 | I/O数目 | USB | CAN | UART | I ² C | SPI | ADC通道 | ADC位数/速度(bits/Mspss) | 封装 | 最高工作温度(°C) | 工作电压(V) |
|---|------|---------|--------|---------|-------------------------|------|-------|--------|-----|------|------------------|-----|-------|----------------------|------------------------|------------|---------|
| LPC1100系列：基于Arm® Cortex®-M0+/M0内核的入门级可扩展微控制器 | | | | | | | | | | | | | | | | | |
| LPC1114FDH28/102 | CM0 | 50 | 32 | 4 | - | 28 | 22 | - | - | 1 | 1 | 1 | 8 | 10 / 0.4 | TSSOP28 | 85°C | 1.8~3.6 |
| LPC1114FN28/102 | CM0 | 50 | 32 | 4 | - | 28 | 22 | - | - | 1 | 1 | 1 | 8 | 10 / 0.4 | DIP28 | 85°C | 1.8~3.6 |
| LPC1114FHI33/303 | CM0 | 50 | 32 | 8 | - | 33 | 28 | - | - | 1 | 1 | 2 | 8 | 10 / 0.4 | HVQFN33 ⁽²⁾ | 85°C | 1.8~3.6 |
| LPC1114FHN33/303 | CM0 | 50 | 32 | 8 | - | 33 | 28 | - | - | 1 | 1 | 2 | 8 | 10 / 0.4 | HVQFN33 ⁽³⁾ | 85°C | 1.8~3.6 |
| LPC1114JHI33/303 | CM0 | 50 | 32 | 8 | - | 33 | 28 | - | - | 1 | 1 | 2 | 8 | 10 / 0.4 | HVQFN33 ⁽²⁾ | 105°C | 1.8~3.6 |
| LPC1114JHN33/303 | CM0 | 50 | 32 | 8 | - | 33 | 28 | - | - | 1 | 1 | 2 | 8 | 10 / 0.4 | HVQFN33 ⁽³⁾ | 105°C | 1.8~3.6 |
| LPC1114FBD48/303 | CM0 | 50 | 32 | 8 | - | 48 | 42 | - | - | 1 | 1 | 2 | 8 | 10 / 0.4 | LQFP48 | 85°C | 1.8~3.6 |
| LPC1114JBD48/303 | CM0 | 50 | 32 | 8 | - | 48 | 42 | - | - | 1 | 1 | 2 | 8 | 10 / 0.4 | LQFP48 | 105°C | 1.8~3.6 |
| LPC1115FBD48/303 | CM0 | 50 | 64 | 8 | - | 48 | 42 | - | - | 1 | 1 | 2 | 8 | 10 / 0.4 | LQFP48 | 85°C | 1.8~3.6 |
| LPC1115FET48/303 | CM0 | 50 | 64 | 8 | - | 48 | 42 | - | - | 1 | 1 | 2 | 8 | 10 / 0.4 | TFBGA48 | 85°C | 1.8~3.6 |
| LPC1115JBD48/303 | CM0 | 50 | 64 | 8 | - | 48 | 42 | - | - | 1 | 1 | 2 | 8 | 10 / 0.4 | LQFP48 | 105°C | 1.8~3.6 |
| LPC1115JET48/303 | CM0 | 50 | 64 | 8 | - | 48 | 42 | - | - | 1 | 1 | 2 | 8 | 10 / 0.4 | TFBGA48 | 105°C | 1.8~3.6 |
| LPC1124JBD48 | CM0 | 50 | 32 | 8 | - | 48 | 38 | - | - | 3 | 1 | 2 | 8 | 12 / 2.0 | LQFP48 | 105°C | 1.8~3.6 |
| LPC1125JBD48 | CM0 | 50 | 64 | 8 | - | 48 | 38 | - | - | 3 | 1 | 2 | 8 | 12 / 2.0 | LQFP48 | 105°C | 1.8~3.6 |
| LPC11C12FB48 | CM0 | 50 | 16 | 8 | - | 48 | 40 | - | 1 | 1 | 1 | 2 | 8 | 10 / 0.4 | LQFP48 | 85°C | 1.8~3.6 |
| LPC11C14FB48 | CM0 | 50 | 32 | 8 | - | 48 | 40 | - | 1 | 1 | 1 | 2 | 8 | 10 / 0.4 | LQFP48 | 85°C | 1.8~3.6 |
| LPC11C22FB48 | CM0 | 50 | 16 | 8 | - | 48 | 36 | - | 1 | 1 | 1 | 2 | 8 | 10 / 0.4 | LQFP48 | 85°C | 1.8~3.6 |
| LPC11C24FB48 | CM0 | 50 | 32 | 8 | - | 48 | 36 | - | 1 | 1 | 1 | 2 | 8 | 10 / 0.4 | LQFP48 | 85°C | 1.8~3.6 |
| LPC11E66JBD48 | CM0+ | 50 | 64 | 12 | 4 | 48 | 36 | - | - | 4 | 2 | 2 | 8 | 12 / 2.0 | LQFP48 | 105°C | 2.4~3.6 |
| LPC11E67JBD48 | CM0+ | 50 | 128 | 20 | 4 | 48 | 36 | - | - | 4 | 2 | 2 | 8 | 12 / 2.0 | LQFP48 | 105°C | 2.4~3.6 |
| LPC11E67JBD64 | CM0+ | 50 | 128 | 20 | 4 | 64 | 50 | - | - | 4 | 2 | 2 | 8 | 12 / 2.0 | LQFP64 | 105°C | 2.4~3.6 |
| LPC11E67JBD100 | CM0+ | 50 | 128 | 20 | 4 | 100 | 80 | - | - | 5 | 2 | 2 | 8 | 12 / 2.0 | LQFP100 | 105°C | 2.4~3.6 |
| LPC11E68JBD48 | CM0+ | 50 | 256 | 36 | 4 | 48 | 36 | - | - | 4 | 2 | 2 | 8 | 12 / 2.0 | LQFP48 | 105°C | 2.4~3.6 |
| LPC11E68JBD64 | CM0+ | 50 | 256 | 36 | 4 | 64 | 50 | - | - | 4 | 2 | 2 | 8 | 12 / 2.0 | LQFP64 | 105°C | 2.4~3.6 |
| LPC11E68JBD100 | CM0+ | 50 | 256 | 36 | 4 | 100 | 80 | - | - | 5 | 2 | 2 | 8 | 12 / 2.0 | LQFP100 | 105°C | 2.4~3.6 |
| LPC11U22FB48/301 | CM0 | 50 | 16 | 8 | 1 | 48 | 40 | FS Dev | - | 1 | 1 | 2 | 8 | 10 / 0.4 | LQFP48 | 85°C | 1.8~3.6 |
| LPC11U23FB48/301 | CM0 | 50 | 24 | 8 | 1 | 48 | 40 | FS Dev | - | 1 | 1 | 2 | 8 | 10 / 0.4 | LQFP48 | 85°C | 1.8~3.6 |
| LPC11U24FHI33/301 | CM0 | 50 | 32 | 8 | 2 | 33 | 26 | FS Dev | - | 1 | 1 | 2 | 8 | 10 / 0.4 | HVQFN33 ⁽²⁾ | 85°C | 1.8~3.6 |
| LPC11U24FHN33/401 | CM0 | 50 | 32 | 10 | 4 | 33 | 26 | FS Dev | - | 1 | 1 | 2 | 8 | 10 / 0.4 | HVQFN33 ⁽³⁾ | 85°C | 1.8~3.6 |
| LPC11U24FB48/401 | CM0 | 50 | 32 | 10 | 4 | 48 | 40 | FS Dev | - | 1 | 1 | 2 | 8 | 10 / 0.4 | LQFP48 | 85°C | 1.8~3.6 |
| LPC11U24FET48/301 | CM0 | 50 | 32 | 8 | 2 | 48 | 40 | FS Dev | - | 1 | 1 | 2 | 8 | 10 / 0.4 | TFBGA48 | 85°C | 1.8~3.6 |
| LPC11U24FB64/401 | CM0 | 50 | 32 | 10 | 4 | 64 | 54 | FS Dev | - | 1 | 1 | 2 | 8 | 10 / 0.4 | LQFP64 | 85°C | 1.8~3.6 |

(1) 使用片内FlexComm配置实现

(2): 5x5mm

(3): 7x7mm

| 产品型号 | 内核 | 主频(MHz) | 闪存(KB) | RAM(KB) | E ² PROM(KB) | 引脚数目 | I/O数目 | USB | UART | I ² C | SPI | ADC通道 | ADC位数/速度(bits/Mspss) | 封装 | 最高工作温度(°C) | 工作电压(V) |
|---|------|---------|--------|---------|-------------------------|------|-------|--------|------------------|------------------|------------------|-------|----------------------|------------------------|------------|----------|
| LPC1100系列：基于Arm® Cortex®-M0+/M0内核的入门级可扩展微控制器 | | | | | | | | | | | | | | | | |
| LPC11U34FBD48/311 | CM0 | 50 | 40 | 8 | 4 | 48 | 40 | FS Dev | 1 | 1 | 2 | 8 | 10 / 0.4 | LQFP48 | 85°C | 1.8~3.6 |
| LPC11U34FHN33/311 | CM0 | 50 | 40 | 8 | 4 | 33 | 26 | FS Dev | 1 | 1 | 2 | 8 | 10 / 0.4 | HVQFN33 ⁽³⁾ | 85°C | 1.8~3.6 |
| LPC11U35FHI33 | CM0 | 50 | 64 | 12 | 4 | 33 | 26 | FS Dev | 1 | 1 | 2 | 8 | 10 / 0.4 | HVQFN33 ⁽²⁾ | 85°C | 1.8~3.6 |
| LPC11U35FHN33 | CM0 | 50 | 64 | 10 | 4 | 33 | 26 | FS Dev | 1 | 1 | 2 | 8 | 10 / 0.4 | HVQFN33 ⁽³⁾ | 85°C | 1.8~3.6 |
| LPC11U35FBD48 | CM0 | 50 | 64 | 10 | 4 | 48 | 40 | FS Dev | 1 | 1 | 2 | 8 | 10 / 0.4 | LQFP48 | 85°C | 1.8~3.6 |
| LPC11U35FET48 | CM0 | 50 | 64 | 12 | 4 | 48 | 40 | FS Dev | 1 | 1 | 2 | 8 | 10 / 0.4 | TFBGA48 | 85°C | 1.8~3.6 |
| LPC11U35FBD64 | CM0 | 50 | 64 | 10 | 4 | 64 | 54 | FS Dev | 1 | 1 | 2 | 8 | 10 / 0.4 | LQFP64 | 85°C | 1.8~3.6 |
| LPC11U36FBD48 | CM0 | 50 | 96 | 10 | 4 | 48 | 40 | FS Dev | 1 | 1 | 2 | 8 | 10 / 0.4 | LQFP48 | 85°C | 1.8~3.6 |
| LPC11U36FBD64 | CM0 | 50 | 96 | 10 | 4 | 64 | 54 | FS Dev | 1 | 1 | 2 | 8 | 10 / 0.4 | LQFP64 | 85°C | 1.8~3.6 |
| LPC11U37FBD48 | CM0 | 50 | 128 | 10 | 4 | 48 | 40 | FS Dev | 1 | 1 | 2 | 8 | 10 / 0.4 | LQFP48 | 85°C | 1.8~3.6 |
| LPC11U37FBD64 | CM0 | 50 | 128 | 12 | 4 | 64 | 54 | FS Dev | 1 | 1 | 2 | 8 | 10 / 0.4 | LQFP64 | 85°C | 1.8~3.6 |
| LPC11U37HFBD64 | CM0 | 50 | 128 | 12 | 4 | 64 | 54 | FS Dev | 1 | 1 | 2 | 8 | 10 / 0.4 | LQFP64 | 85°C | 1.8~3.6 |
| LPC11U66JBD48 | CM0+ | 50 | 64 | 12 | 4 | 48 | 34 | FS Dev | 3 | 2 | 2 | 8 | 12 / 2.0 | LQFP48 | 105°C | 2.4~3.6 |
| LPC11U67JBD48 | CM0+ | 50 | 128 | 20 | 4 | 48 | 34 | FS Dev | 3 | 2 | 2 | 8 | 12 / 2.0 | LQFP48 | 105°C | 2.4~3.6 |
| LPC11U67JBD64 | CM0+ | 50 | 128 | 20 | 4 | 64 | 48 | FS Dev | 3 | 2 | 2 | 10 | 12 / 2.0 | LQFP64 | 105°C | 2.4~3.6 |
| LPC11U67JBD100 | CM0+ | 50 | 128 | 20 | 4 | 100 | 80 | FS Dev | 5 | 2 | 2 | 12 | 12 / 2.0 | LQFP100 | 105°C | 2.4~3.6 |
| LPC11U68JBD48 | CM0+ | 50 | 256 | 36 | 4 | 48 | 34 | FS Dev | 3 | 2 | 2 | 8 | 12 / 2.0 | LQFP48 | 105°C | 2.4~3.6 |
| LPC11U68JBD64 | CM0+ | 50 | 256 | 36 | 4 | 64 | 48 | FS Dev | 3 | 2 | 2 | 10 | 12 / 2.0 | LQFP64 | 105°C | 2.4~3.6 |
| LPC11U68JBD100 | CM0+ | 50 | 256 | 36 | 4 | 100 | 80 | FS Dev | 5 | 2 | 2 | 12 | 12 / 2.0 | LQFP100 | 105°C | 2.4~3.6 |
| LPC51U68系列：基于Arm® Cortex®-M0+/M0内核的高能效比微控制器 | | | | | | | | | | | | | | | | |
| LPC51U68JBD48E | CM0+ | 100 | 256 | 96 | - | 48 | 37 | FS | 8 ⁽¹⁾ | 8 ⁽¹⁾ | 8 ⁽¹⁾ | 12 | 12 / 5.0 | LQFP48 | 105°C | 1.62~3.6 |
| LPC51U68JBD64QL | CM0+ | 100 | 256 | 96 | - | 64 | 48 | FS | 8 ⁽¹⁾ | 8 ⁽¹⁾ | 8 ⁽¹⁾ | 12 | 12 / 5.0 | LQFP64 | 105°C | 1.62~3.6 |

(1) 使用片内FlexComm配置实现

(2): 5x5mm

(3): 7x7mm

LPC51U68系列：高性能，低功耗

恩智浦的32位LPC51U68微控制器基于Arm® Cortex®-M0+内核，其CPU工作频率高达100 MHz，适用于嵌入式应用，它还具有更大的内存资源，包括96 KB片上SRAM和256 KB带闪存加速器的片上可编程存储器。

LPC51U68 MCU具有更高的性能，扩展的存储器资源和灵活的串行端口配置，包括USB连接，提供无与伦比的设计灵活性，计算性能以及与当今要求严苛的物联网和工业应用的集成。此外，该MCU与LPC5411x和LPC5410x系列引脚兼容，为Arm® Cortex®-M4内核提供可扩展性选项。

目标应用

- 高性能游戏键盘/鼠标
- 工业级USB转串口桥
- 电子计量
- 指纹识别
- USB音频设备
- 带USB接口的传感器集线器
- 入门级移动POS

恩智浦基于Arm® Cortex®-M0+/M0的微控制器 – KL系列

KL系列MCU包含超过200种产品，集新型Arm® Cortex®-M0+处理器的卓越能效和易用性，与32位MCU产品的性能、丰富的外设集、支持功能和可扩展性于一身，是物联网(IoT)应用的理想选择。

有了KL系列，设计者不再因限制功耗的问题而拘泥于8位和16位MCU。该系列具有优化的动态和停止电流并提供出色的处理性能，而且还提供多种片上闪存容量以及丰富的模拟模块、连接功能和人机交互外设供您选择。

超低功耗—为高能效应用而设计，KL系列产品内置先进的Arm®超低功耗的Cortex®-M0+处理器，提供超低的动态和静态功耗，以及丰富的低功耗模式和创新的低功耗外设。

超小型封装—提供多种封装选项，包括8x8mm 121XFBGA，10x10mm 100LQFP，还有超小封装尺寸的基于Arm®核心的MCU产品—20WL CSP(2.0x1.6x0.9mm)的KL03。

通用特性

系统

Cortex®-M0+ 内核, 48/72/96MHz
多个低功耗模式和外设；
低功耗启动：时钟门控
1.71~3.6 V, -40°C~105°C^[1]

存储器

90纳米TFS 闪存，SRAM
内部存储器安全/保护

模拟外设

12/16位ADC
高速模拟比较器

串行接口

UART (包含一个LPUART)
SPI, I2C

定时器

实时时钟[2]
16位低功耗TPM
(通用定时器/PWM)
低功耗定时器
32位定期中断定时器

| 系列 | 主频 (MHz) | 闪存 (KB) | SRAM (KB) | 引脚数 | 主要功能 | | | | | | | | | | | |
|------|--------------|------------|--------------|--------|--------------------|--------|-------|-----|-----|-----|-----|------------------|-----|-------|------|----|
| | | | | | USB ^[3] | FlexIO | 段式LCD | DMA | RTC | ADC | DAC | I ² S | TSI | 启动ROM | VREF | 安全 |
| KL8x | 72 (高达96) | 128 | 96 | 80~121 | OTG | ✓ | | ✓ | ✓ | 16 | 12 | | ✓ | ✓ | ✓ | ✓ |
| KL4x | 48 | 128~256 | 16~32 | 64~121 | OTG/DEV | ✓ | ✓ | ✓ | ✓ | 16 | 12 | ✓ | ✓ | ✓ | ✓ | |
| KL3x | 48 | 32~256 | 4~32 | 48~121 | | ✓ | ✓ | ✓ | ✓ | 16 | 12 | ✓ | ✓ | ✓ | ✓ | |
| KL2x | 48/72 (高达96) | 32~256 | 4~128 | 32~121 | OTG/DEV | ✓ | | ✓ | ✓ | 16 | 12 | ✓ | ✓ | ✓ | ✓ | ✓ |
| KL1x | 48 | 32~256 | 4~32 | 32~64 | | ✓ | | ✓ | ✓ | 16 | 12 | ✓ | ✓ | ✓ | ✓ | |
| KL0x | 48 | 8~32 | 1~4 | 16~32 | | | | | ✓ | 12 | | | | ✓ | ✓ | |

[1] CSP封装的温度范围是-40°C~85°C

[2] 对于KL02产品，由软件支持

[3] 作为USB设备时，可以不使用外置晶振

| 产品型号 | 主频 (MHz) | 闪存 (KB) | RAM (KB) | Boot ROM (KB) | 引脚 数目 | I/O 数目 | I ² S | UART | I ² C | SPI | ADC ³ 位数 | ADC ⁴ (DP/SE) | DAC (6位/12位) | 封装 |
|---------------|-------------|------------|-------------|---------------------|----------|-----------|------------------|------|------------------|-----|------------------------|-----------------------------|-----------------|----------|
| MKL03Z8VFG4 | 48 | 8 | 2 | 8 | 16 | 14 | - | 1 | 1 | 1 | 12 | 0 / 4 | 1 / 0 | QFN16 |
| MKL03Z8VFK4 | 48 | 8 | 2 | 8 | 24 | 22 | - | 1 | 1 | 1 | 12 | 0 / 7 | 1 / 0 | QFN24 |
| MKL03Z16VFG4 | 48 | 16 | 2 | 8 | 16 | 14 | - | 1 | 1 | 1 | 12 | 0 / 4 | 1 / 0 | QFN16 |
| MKL03Z16VFK4 | 48 | 16 | 2 | 8 | 24 | 22 | - | 1 | 1 | 1 | 12 | 0 / 7 | 1 / 0 | QFN24 |
| MKL03Z32VFG4 | 48 | 32 | 2 | 8 | 16 | 14 | - | 1 | 1 | 1 | 12 | 0 / 4 | 1 / 0 | QFN16 |
| MKL03Z32VFK4 | 48 | 32 | 2 | 8 | 24 | 22 | - | 1 | 1 | 1 | 12 | 0 / 7 | 1 / 0 | QFN24 |
| MKL16Z32VFM4 | 48 | 32 | 4 | - | 32 | 28 | 1 | 3 | 2 | 2 | 16 | 2 / 11 | 1 / 1 | QFN32 |
| MKL16Z32VFT4 | 48 | 32 | 4 | - | 48 | 40 | 1 | 3 | 2 | 2 | 16 | 3 / 18 | 1 / 1 | QFN48 |
| MKL16Z32VLH4 | 48 | 32 | 4 | - | 64 | 54 | 1 | 3 | 2 | 2 | 16 | 4 / 20 | 1 / 1 | LQFP64 |
| MKL16Z64VFM4 | 48 | 64 | 8 | - | 32 | 28 | 1 | 3 | 2 | 2 | 16 | 2 / 11 | 1 / 1 | QFN32 |
| MKL16Z64VFT4 | 48 | 64 | 8 | - | 48 | 40 | 1 | 3 | 2 | 2 | 16 | 3 / 18 | 1 / 1 | QFN48 |
| MKL16Z64VLH4 | 48 | 64 | 8 | - | 64 | 54 | 1 | 3 | 2 | 2 | 16 | 4 / 20 | 1 / 1 | LQFP64 |
| MKL16Z128VFM4 | 48 | 128 | 16 | - | 32 | 28 | 1 | 3 | 2 | 2 | 16 | 2 / 11 | 1 / 1 | QFN32 |
| MKL16Z128VFT4 | 48 | 128 | 16 | - | 48 | 40 | 1 | 3 | 2 | 2 | 16 | 3 / 18 | 1 / 1 | QFN48 |
| MKL16Z128VLH4 | 48 | 128 | 16 | - | 64 | 54 | 1 | 3 | 2 | 2 | 16 | 4 / 20 | 1 / 1 | LQFP64 |
| MKL16Z256VLH4 | 48 | 256 | 32 | - | 64 | 54 | 1 | 3 | 2 | 2 | 16 | 4 / 20 | 1 / 1 | LQFP64 |
| MKL16Z256VMP4 | 48 | 256 | 32 | - | 64 | 54 | 1 | 3 | 2 | 2 | 16 | 4 / 20 | 1 / 1 | MAPBGA64 |
| MKL17Z32VFM4 | 48 | 32 | 8 | 16 | 32 | 28 | - | 3 | 2 | 2 | 16 | 2 / 11 | 1 / 0 | QFN32 |
| MKL17Z32VDA4 | 48 | 32 | 8 | 16 | 36 | 32 | - | 3 | 2 | 2 | 16 | 4 / 15 | 1 / 0 | XFBGA36 |
| MKL17Z32VLH4 | 48 | 32 | 8 | 16 | 64 | 54 | - | 3 | 2 | 2 | 16 | 4 / 20 | 1 / 0 | LQFP64 |
| MKL17Z64VFM4 | 48 | 64 | 16 | 16 | 32 | 28 | - | 3 | 2 | 2 | 16 | 2 / 11 | 1 / 0 | QFN32 |
| MKL17Z64VDA4 | 48 | 64 | 16 | 16 | 36 | 32 | - | 3 | 2 | 2 | 16 | 4 / 15 | 1 / 0 | XFBGA36 |
| MKL17Z64VLH4 | 48 | 64 | 16 | 16 | 64 | 54 | - | 3 | 2 | 2 | 16 | 4 / 20 | 1 / 0 | LQFP64 |
| MKL17Z128VFM4 | 48 | 128 | 32 | 16 | 32 | 28 | 1 | 3 | 2 | 2 | 16 | 2 / 11 | 1 / 1 | QFN32 |
| MKL17Z128VFT4 | 48 | 128 | 32 | 16 | 48 | 40 | 1 | 3 | 2 | 2 | 16 | 3 / 18 | 1 / 1 | QFN48 |
| MKL17Z128VLH4 | 48 | 128 | 32 | 16 | 64 | 54 | 1 | 3 | 2 | 2 | 16 | 4 / 20 | 1 / 1 | LQFP64 |
| MKL17Z256VMP4 | 48 | 128 | 32 | 16 | 64 | 54 | 1 | 3 | 2 | 2 | 16 | 4 / 20 | 1 / 1 | MAPBGA64 |
| MKL17Z256VFM4 | 48 | 256 | 32 | 16 | 32 | 28 | 1 | 3 | 2 | 2 | 16 | 2 / 11 | 1 / 1 | QFN32 |
| MKL17Z256VFT4 | 48 | 256 | 32 | 16 | 48 | 40 | 1 | 3 | 2 | 2 | 16 | 3 / 18 | 1 / 1 | QFN48 |
| MKL17Z256VLH4 | 48 | 256 | 32 | 16 | 64 | 54 | 1 | 3 | 2 | 2 | 16 | 4 / 20 | 1 / 1 | LQFP64 |
| MKL17Z256VMP4 | 48 | 256 | 32 | 16 | 64 | 54 | 1 | 3 | 2 | 2 | 16 | 4 / 20 | 1 / 1 | MAPBGA64 |

| 产品型号 | 主频(MHz) | 闪存(KB) | RAM(KB) | Boot ROM(KB) | 引脚数目 | I/O数目 | USB | 段码LCD接口 | I ² S | UART | I ² C | SPI | ADC ³ 位数 | ADC ⁴ (DP/SE) | DAC(6位/12位) | 封装 |
|---------------|---------|--------|---------|--------------|------|-------|---------------------|----------------|------------------|------|------------------|-----|---------------------|--------------------------|-------------|-----------|
| MKL26Z32VFM4 | 48 | 32 | 4 | - | 32 | 23 | FS OTG | - | 1 | 3 | 2 | 2 | 16 | 0 / 7 | 1 / 1 | QFN32 |
| MKL26Z32VFT4 | 48 | 32 | 4 | - | 48 | 36 | FS OTG | - | 1 | 3 | 2 | 2 | 16 | 1 / 14 | 1 / 1 | QFN48 |
| MKL26Z32VLH4 | 48 | 32 | 4 | - | 64 | 50 | FS OTG | - | 1 | 3 | 2 | 2 | 16 | 2 / 16 | 1 / 1 | LQFP64 |
| MKL26Z64VFM4 | 48 | 64 | 8 | - | 32 | 23 | FS OTG | - | 1 | 3 | 2 | 2 | 16 | 0 / 7 | 1 / 1 | QFN32 |
| MKL26Z64VFT4 | 48 | 64 | 8 | - | 48 | 36 | FS OTG | - | 1 | 3 | 2 | 2 | 16 | 1 / 14 | 1 / 1 | QFN48 |
| MKL26Z64VLH4 | 48 | 64 | 8 | - | 64 | 50 | FS OTG | - | 1 | 3 | 2 | 2 | 16 | 2 / 16 | 1 / 1 | LQFP64 |
| MKL26Z128VFM4 | 48 | 128 | 16 | - | 32 | 23 | FS OTG | - | 1 | 3 | 2 | 2 | 16 | 0 / 7 | 1 / 1 | QFN32 |
| MKL26Z128VFT4 | 48 | 128 | 16 | - | 48 | 36 | FS OTG | - | 1 | 3 | 2 | 2 | 16 | 1 / 14 | 1 / 1 | QFN48 |
| MKL26Z128VLH4 | 48 | 128 | 16 | - | 64 | 50 | FS OTG | - | 1 | 3 | 2 | 2 | 16 | 2 / 16 | 1 / 1 | LQFP64 |
| MKL26Z128VLL4 | 48 | 128 | 16 | - | 100 | 80 | FS OTG | - | 1 | 3 | 2 | 2 | 16 | 4 / 20 | 1 / 1 | LQFP100 |
| MKL26Z128VMC4 | 48 | 128 | 16 | - | 121 | 80 | FS OTG | - | 1 | 3 | 2 | 2 | 16 | 4 / 20 | 1 / 1 | MAPBGA121 |
| MKL26Z256VLH4 | 48 | 256 | 32 | - | 64 | 50 | FS OTG | - | 1 | 3 | 2 | 2 | 16 | 2 / 16 | 1 / 1 | LQFP64 |
| MKL26Z256VMP4 | 48 | 256 | 32 | - | 64 | 50 | FS OTG | - | 1 | 3 | 2 | 2 | 16 | 2 / 16 | 1 / 1 | MAPBGA64 |
| MKL26Z256VLL4 | 48 | 256 | 32 | - | 100 | 80 | FS OTG | - | 1 | 3 | 2 | 2 | 16 | 4 / 20 | 1 / 1 | LQFP100 |
| MKL26Z256VMC4 | 48 | 256 | 32 | - | 121 | 80 | FS OTG | - | 1 | 3 | 2 | 2 | 16 | 4 / 20 | 1 / 1 | MAPBGA121 |
| MKL27Z32VFM4 | 48 | 32 | 8 | 16 | 32 | 24 | FS Dev ¹ | - | - | 3 | 2 | 2 | 16 | 0 / 8 | 1 / 0 | QFN32 |
| MKL27Z32VDA4 | 48 | 32 | 8 | 16 | 36 | 30 | FS Dev ¹ | - | - | 3 | 2 | 2 | 16 | 3 / 14 | 1 / 0 | XFBGA36 |
| MKL27Z32VLH4 | 48 | 32 | 8 | 16 | 64 | 51 | FS Dev ¹ | - | - | 3 | 2 | 2 | 16 | 2 / 17 | 1 / 0 | LQFP64 |
| MKL27Z64VFM4 | 48 | 64 | 16 | 16 | 32 | 24 | FS Dev ¹ | - | - | 3 | 2 | 2 | 16 | 0 / 8 | 1 / 0 | QFN32 |
| MKL27Z64VDA4 | 48 | 64 | 16 | 16 | 36 | 30 | FS Dev ¹ | - | - | 3 | 2 | 2 | 16 | 3 / 14 | 1 / 0 | XFBGA36 |
| MKL27Z64VLH4 | 48 | 64 | 16 | 16 | 64 | 51 | FS Dev ¹ | - | - | 3 | 2 | 2 | 16 | 2 / 17 | 1 / 0 | LQFP64 |
| MKL27Z128VFM4 | 48 | 128 | 32 | 16 | 32 | 23 | FS Dev ¹ | - | 1 | 3 | 2 | 2 | 16 | 0 / 7 | 1 / 1 | QFN32 |
| MKL27Z128VFT4 | 48 | 128 | 32 | 16 | 48 | 36 | FS Dev ¹ | - | 1 | 3 | 2 | 2 | 16 | 1 / 14 | 1 / 1 | QFN48 |
| MKL27Z128VLH4 | 48 | 128 | 32 | 16 | 64 | 50 | FS Dev ¹ | - | 1 | 3 | 2 | 2 | 16 | 2 / 16 | 1 / 1 | LQFP64 |
| MKL27Z128VMP4 | 48 | 128 | 32 | 16 | 64 | 50 | FS Dev ¹ | - | 1 | 3 | 2 | 2 | 16 | 2 / 16 | 1 / 1 | MAPBGA64 |
| MKL27Z256VFM4 | 48 | 256 | 32 | 16 | 32 | 23 | FS Dev ¹ | - | 1 | 3 | 2 | 2 | 16 | 0 / 7 | 1 / 1 | QFN32 |
| MKL27Z256VFT4 | 48 | 256 | 32 | 16 | 48 | 36 | FS Dev ¹ | - | 1 | 3 | 2 | 2 | 16 | 1 / 14 | 1 / 1 | QFN48 |
| MKL27Z256VLH4 | 48 | 256 | 32 | 16 | 64 | 50 | FS Dev ¹ | - | 1 | 3 | 2 | 2 | 16 | 2 / 16 | 1 / 1 | LQFP64 |
| MKL27Z256VMP4 | 48 | 256 | 32 | 16 | 64 | 50 | FS Dev ¹ | - | 1 | 3 | 2 | 2 | 16 | 2 / 16 | 1 / 1 | MAPBGA64 |
| MKL27Z256VLL4 | 48 | 256 | 32 | 16 | 100 | 82 | FS OTG ¹ | - | 1 | 3 | 3 | 3 | 16 | 4 / 15 | 1 / 1 | LQFP100 |
| MKL33Z32VLH4 | 48 | 32 | 4 | 8 | 64 | 54 | - | 28x8/30x6/32x4 | - | 3 | 2 | 2 | 16 | 4 / 20 | 1 / 1 | LQFP64 |
| MKL33Z32VLK4 | 48 | 32 | 4 | 8 | 80 | 70 | - | 40x8/42x6/44x4 | - | 3 | 2 | 2 | 16 | 4 / 20 | 1 / 1 | LQFP80 |
| MKL33Z64VLH4 | 48 | 64 | 8 | 8 | 64 | 54 | - | 28x8/30x6/32x4 | - | 3 | 2 | 2 | 16 | 4 / 20 | 1 / 1 | LQFP64 |
| MKL33Z64VLK4 | 48 | 64 | 8 | 8 | 80 | 70 | - | 40x8/42x6/44x4 | - | 3 | 2 | 2 | 16 | 4 / 20 | 1 / 1 | LQFP80 |

| 产品型号 | 主频 (MHz) | 闪存 (KB) | RAM (KB) | Boot ROM (KB) | 引脚数 目 | I/O 数目 | USB | 段码LCD 接口 | I ² S | UART | I ² C | SPI | ADC ³ 位数 | ADC ⁴ (DP/SE) | DAC (6位/12位) | 封装 |
|---------------|-------------|------------|-------------|---------------------|----------|-----------|---------------------|-------------|------------------|------|------------------|-----|------------------------|-----------------------------|-----------------|-----------|
| MKL33Z128VLH4 | 48 | 128 | 16 | 16 | 64 | 54 | - | 28x8/32x4 | 1 | 3 | 2 | 2 | 16 | 4 / 20 | 1 / 1 | LQFP64 |
| MKL33Z128VMP4 | 48 | 128 | 16 | 16 | 64 | 54 | - | 28x8/32x4 | 1 | 3 | 2 | 2 | 16 | 4 / 20 | 1 / 1 | MAPBGA64 |
| MKL33Z256VLH4 | 48 | 256 | 32 | 16 | 64 | 54 | - | 28x8/32x4 | 1 | 3 | 2 | 2 | 16 | 4 / 20 | 1 / 1 | LQFP64 |
| MKL33Z256VMP4 | 48 | 256 | 32 | 16 | 64 | 54 | - | 28x8/32x4 | 1 | 3 | 2 | 2 | 16 | 4 / 20 | 1 / 1 | MAPBGA64 |
| MKL36Z64VLH4 | 48 | 64 | 8 | - | 64 | 54 | - | 28x8/32x4 | 1 | 3 | 2 | 2 | 16 | 4 / 20 | 1 / 1 | LQFP64 |
| MKL36Z64VLL4 | 48 | 64 | 8 | - | 100 | 84 | - | 51x8/55x4 | 1 | 3 | 2 | 2 | 16 | 4 / 20 | 1 / 1 | LQFP100 |
| MKL36Z128VLH4 | 48 | 128 | 16 | - | 64 | 54 | - | 51x8/55x4 | 1 | 3 | 2 | 2 | 16 | 4 / 20 | 1 / 1 | LQFP64 |
| MKL36Z128VLL4 | 48 | 128 | 16 | - | 100 | 84 | - | 51x8/55x4 | 1 | 3 | 2 | 2 | 16 | 4 / 20 | 1 / 1 | LQFP100 |
| MKL36Z128VMC4 | 48 | 128 | 16 | - | 121 | 84 | - | 28x8/32x4 | 1 | 3 | 2 | 2 | 16 | 4 / 20 | 1 / 1 | MAPBGA121 |
| MKL36Z256VLH4 | 48 | 256 | 32 | - | 64 | 54 | - | 51x8/55x4 | 1 | 3 | 2 | 2 | 16 | 4 / 20 | 1 / 1 | LQFP64 |
| MKL36Z256VMP4 | 48 | 256 | 32 | - | 64 | 54 | - | 51x8/55x4 | 1 | 3 | 2 | 2 | 16 | 4 / 20 | 1 / 1 | MAPBGA64 |
| MKL36Z256VLL4 | 48 | 256 | 32 | - | 100 | 84 | - | 51x8/55x4 | 1 | 3 | 2 | 2 | 16 | 4 / 20 | 1 / 1 | LQFP100 |
| MKL36Z256VMC4 | 48 | 256 | 32 | - | 121 | 84 | - | 24x8/28x4 | 1 | 3 | 2 | 2 | 16 | 4 / 20 | 1 / 1 | MAPBGA121 |
| MKL43Z128VLH4 | 48 | 128 | 16 | 16 | 64 | 50 | FS Dev ² | 24x8/28x4 | 1 | 3 | 2 | 2 | 16 | 2 / 16 | 1 / 1 | LQFP64 |
| MKL43Z128VMP4 | 48 | 128 | 16 | 16 | 64 | 50 | FS Dev ² | 24x8/28x4 | 1 | 3 | 2 | 2 | 16 | 2 / 16 | 1 / 1 | MAPBGA64 |
| MKL43Z256VLH4 | 48 | 256 | 32 | 16 | 64 | 50 | FS Dev ² | 24x8/28x4 | 1 | 3 | 2 | 2 | 16 | 2 / 16 | 1 / 1 | LQFP64 |
| MKL43Z256VMP4 | 48 | 256 | 32 | 16 | 64 | 50 | FS Dev ² | 51x8/55x4 | 1 | 3 | 2 | 2 | 16 | 2 / 16 | 1 / 1 | MAPBGA64 |
| MKL46Z128VLH4 | 48 | 128 | 16 | - | 64 | 50 | FS OTG | 51x8/55x4 | 1 | 3 | 2 | 2 | 16 | 2 / 16 | 1 / 1 | LQFP64 |
| MKL46Z128VLL4 | 48 | 128 | 16 | - | 100 | 84 | FS OTG | 24x8/28x4 | 1 | 3 | 2 | 2 | 16 | 4 / 20 | 1 / 1 | LQFP100 |
| MKL46Z128VMC4 | 48 | 128 | 16 | - | 121 | 84 | FS OTG | 24x8/28x4 | 1 | 3 | 2 | 2 | 16 | 4 / 20 | 1 / 1 | MAPBGA121 |
| MKL46Z256VLH4 | 48 | 256 | 32 | - | 64 | 50 | FS OTG | 51x8/55x4 | 1 | 3 | 2 | 2 | 16 | 2 / 16 | 1 / 1 | LQFP64 |
| MKL46Z256VMP4 | 48 | 256 | 32 | - | 64 | 50 | FS OTG | 51x8/55x4 | 1 | 3 | 2 | 2 | 16 | 2 / 16 | 1 / 1 | MAPBGA64 |
| MKL46Z256VLL4 | 48 | 256 | 32 | - | 100 | 84 | FS OTG | 51x8/55x4 | 1 | 3 | 2 | 2 | 16 | 4 / 20 | 1 / 1 | LQFP100 |
| MKL46Z256VMC4 | 48 | 256 | 32 | - | 121 | 84 | FS OTG | 51x8/55x4 | 1 | 3 | 2 | 2 | 16 | 4 / 20 | 1 / 1 | MAPBGA121 |
| MKL82Z128VMP7 | 72 | 128 | 96 | 32 | 41 | - | FS OTG ¹ | - | - | 3 | 2 | 2 | 16 | 1 / 11 | 1 / 1 | MAPBGA64 |
| MKL82Z128VLK7 | 72 | 128 | 96 | 32 | 80 | - | FS OTG ¹ | - | - | 3 | 2 | 2 | 16 | 1 / 14 | 1 / 1 | LQFP80 |
| MKL82Z128VMC7 | 72 | 128 | 96 | 32 | 121 | - | FS OTG ¹ | - | - | 3 | 2 | 2 | 16 | 2 / 16 | 1 / 1 | MAPBGA121 |

所有产品工作温度范围为: -40~105 °C, 供电电压范围为: 1.71~3.6V

1. 作为USB设备时可以不必使用外接晶振

3. 12位ADC速度 = 818ksps, 16位ADC速度 = 460~1200ksps

2. 内置5V转3.3V(120mA)的LDO

4. DP/SE: 差分输入端数/单端输入端数

恩智浦基于Arm® Cortex®-M4的微控制器 – LPC系列

基于Arm® Cortex®-M4内核的LPC微控制器，能够运行于高达204MHz的时钟频率，达到了更高水平的系统集成度和卓越的能效，同时帮助客户降低设计成本和复杂度。其中部分产品采用配备内置浮点单元的Cortex®-M4处理器。LPC产品组合包含3个基于Cortex®-M4内核的系列，具有单核和多核架构，支持高效的应用模块划分，以及可调节的能耗性能。

LPC4000系列：高速多重连接 先进外设

LPC4000系列基于Cortex®-M4/M4F内核，能够支持来自以太网、USB(主机或设备)、CAN和LCD显示器等外设的多个同步高带宽数据流。LPC4000与LPC177x/8x和ARM7LPC2x00系列产品的引脚兼容，采用SPI闪存接口(SPIFI)，可与低成本的QSPI闪存无缝高速连接。SPIFI以高性价比的方式将兆字节的程序或数据闪存添加到您的系统中。LPC4000数字信号控制(DSC)处理器，为设计工程师带来了高性能的信号处理能力。这些DSC处理器系统集成度高，可降低系统设计的成本和复杂性，同时使用一个单一的工具链来简化设计周期。LPC4000系列组合了微控制器的优势以及单周期MAC、单指令多数据(SIMD)技术、饱和算法和浮点单元(FPU)等高性能数字信号处理功能。

适用场合

- 需要外扩SDRAM或不同闪存配置的应用
- 需要彩色LCD显示的嵌入式产品
- 需要数字信号控制的场合

目标应用

- 显示器
- 扫描仪
- 工业网络
- 警报系统
- 医学诊断
- 电机控制

LPC4300系列：多核 高性能 多重互联

LPC4300系列产品结合了非对称双核架构(Arm® Cortex®-M4F和Cortex®-M0)的高性能与灵活性，以及多种高速连接选项、高级定时器、模拟；可选的安全功能，可保障代码和数据通信的安全。DSP功能使所有LPC4300系列都能支持以复杂算法为主的应用。闪存和无闪存选项支持灵活的内部和外部大容量存储器配置。其引脚和软件与LPC1800系列产品兼容，为提高处理性能提供无缝升级的方便性，同时增加了在不同内核间合理分配应用任务的灵活性。

LPC4300架构采用两个内核，一个搭载浮点运算单元(FPU)的复杂Cortex®-M4F处理器，外加一个Cortex®-M0协处理器内核。通过多核模式，可以轻松实现分隔式设计实现效率的最大化，让强大的Cortex®-M4F内核处理算法，让Cortex®-M0协处理器管理数据移动和I/O处理。多核模式也可缩短上市时间，因为设计和调试是在单一的开发环境中完成的。这些处理器内核受到众多高性能外设的支持，集成式中断控制功能和低功耗模式可以为嵌入式工程师带来新的方法，有效解决复杂的设计问题。根据不同需求，可灵活选择是否需要片上闪存。

目标应用

- 智能表计
- 嵌入式音频
- POS设备
- 数据采集和导航
- 工业自动化与控制
- 车载信息服务
- 白色家电
- 电子仪器 电机管理
- 安全连接网关
- 医疗及健身器材
- 汽车售后

LPC54000系列：多核高性能多重互联

LPC54000 系列单核和双核 MCU 具备行业领先的下一代功效。凭借增强的可扩展性和功能集成，在当今竞争激烈的环境下，这些突破性器件的市场占有率达到持续性增长。LPC54000 系列基于高性能的 Arm® Cortex®-M4 内核，带有可选的 Cortex®-M0+ 协处理器。单 Cortex®-M4 选项适用于着重无软件分区的单核处理的任务。

目标应用

- 可穿戴式健身和活动产品
- 家庭和楼宇自动化
- 车队管理和资产追踪
- 健康与保健监测
- 工业/商用传感器节点
- 游戏配件
- 智能传感和运动追踪
- 手持便携设备和平板电脑

LPC54000 MCU 产品系列

● LPC546xx MCU: 高效 先进外设

LPC546xx MCU 系列集成了高效的 220 MHz Arm® Cortex®-M4 内核、多种高速连接选项、高级定时器和模拟功能。DSP 功能使 LPC546xx MCU 器件可以支持数据密集型应用的复杂算法。该系列可灵活提供高达 512 KB 闪存和外部存储器接口，能够适应变化需求。

● LPC5411x MCU: 面向始终开机应用 功能精简

在始终开机的应用中，这些 MCU 能够以节电模式运行，侦听传入数据，并在侦听到传入数据时，唤醒任一内核，收集或处理信息。在活跃模式下，开发人员可以利用高能效的 Cortex®-M0+ 内核执行数据收集、整合，以及系统任务管理；同时通过 Cortex®-M4 内核更加快速地执行传感器融合等处理器密集型算法，从而优化能效和吞吐率，最终降低功耗。

● LPC5410x MCU: 高能效 带USB、数字麦克风接口

LPC54110 系列带有可选的专用片上数字麦克风(DMIC)子系统，能够显著降低需要语音输入和处理功能的应用的功耗。该系列能够满足严苛的功效要求，尤其适合通过电池供电并且随时通过语音激活的产品。

● LPC540xx/LPC54S0xx MCU: 高能效 加强的安全特性

LPC540xx 系列 MCU 提供无闪存设计和安全集成，集 180 MHz Arm® Cortex®-M4 内核与高效且独特的架构、先进的HMI 和灵活的通信外设于一身，实现新一代物联网的实时性能。LPC54S0xx 器件具备片上硬件 AES 引擎，以保护图像内容并加快数据完整性和原产地证明的处理。AES 引擎使用 OTP 中存储的加密密钥、基于 SRAM PUF 或软件提供的密钥对数据进行加密或解密。

| 产品型号 | 内核 ⁽¹⁾ | 主频(MHz) | 闪存(KB) | RAM(E ² PROM)(KB) | 引脚数目 | I/O数目 | USB ⁽²⁾ | CAN | 以太网 | 图形LCD接口 ⁽⁵⁾ | I ² S | UART | I ² C | SPI | ADC通道 | ADC位数/速度(bits/Msp) | 10位DAC | 封装 | 最高工作温度(°C) | 工作电压(V) | |
|--|-------------------|---------|--------|------------------------------|------|-------|--------------------|-----------|-----|------------------------|------------------|------|------------------|-----|-------|--------------------|----------|----|------------|---------|---------|
| LPC4000系列：基于Arm® Cortex®-M4+内核的中档微控制器 | | | | | | | | | | | | | | | | | | | | | |
| LPC4072FBD80 | CM4 | 120 | 64 | 24 | 2 | 80 | 54 | FS OTG | 2 | - | - | 1 | 4 | 3 | 3 | 8 | 12 / 0.4 | ✓ | LQFP80 | 85 | 2.4~3.6 |
| LPC4072FET80 | CM4 | 120 | 64 | 24 | 2 | 80 | 54 | FS OTG | 2 | - | - | 1 | 4 | 3 | 3 | 8 | 12 / 0.4 | ✓ | TFBGA80 | 85 | 2.4~3.6 |
| LPC4074FBD80 | CM4 | 120 | 128 | 40 | 2 | 80 | 54 | FS OTG | 2 | - | - | 1 | 4 | 3 | 3 | 8 | 12 / 0.4 | ✓ | LQFP80 | 85 | 2.4~3.6 |
| LPC4074FBD144 | CM4 | 120 | 128 | 40 | 2 | 144 | 109 | FS OTG | 2 | - | - | 1 | 4 | 3 | 3 | 8 | 12 / 0.4 | ✓ | LQFP144 | 85 | 2.4~3.6 |
| LPC4076FBD144 | CM4F | 120 | 256 | 80 | 2 | 144 | 109 | FS OTG | 2 | 1 | - | 1 | 5 | 3 | 3 | 8 | 12 / 0.4 | ✓ | LQFP144 | 85 | 2.4~3.6 |
| LPC4076FET180 | CM4F | 120 | 256 | 80 | 2 | 180 | 142 | FS OTG | 2 | 1 | - | 1 | 5 | 3 | 3 | 8 | 12 / 0.4 | ✓ | TFBGA180 | 85 | 2.4~3.6 |
| LPC4078FBD80 | CM4F | 120 | 512 | 96 | 4 | 80 | 54 | FS OTG | 2 | 1 | - | 1 | 5 | 3 | 3 | 8 | 12 / 0.4 | ✓ | LQFP80 | 85 | 2.4~3.6 |
| LPC4078FBD100 | CM4F | 120 | 512 | 96 | 4 | 100 | 69 | FS OTG | 2 | 1 | - | 1 | 5 | 3 | 3 | 8 | 12 / 0.4 | ✓ | LQFP100 | 85 | 2.4~3.6 |
| LPC4078FBD144 | CM4F | 120 | 512 | 96 | 4 | 144 | 109 | FS OTG | 2 | 1 | - | 1 | 5 | 3 | 3 | 8 | 12 / 0.4 | ✓ | LQFP144 | 85 | 2.4~3.6 |
| LPC4078FET180 | CM4F | 120 | 512 | 96 | 4 | 180 | 142 | FS OTG | 2 | 1 | - | 1 | 5 | 3 | 3 | 8 | 12 / 0.4 | ✓ | TFBGA180 | 85 | 2.4~3.6 |
| LPC4078FBD208 | CM4F | 120 | 512 | 96 | 4 | 208 | 165 | FS OTG | 2 | 1 | - | 1 | 5 | 3 | 3 | 8 | 12 / 0.4 | ✓ | LQFP208 | 85 | 2.4~3.6 |
| LPC4078FET208 | CM4F | 120 | 512 | 96 | 4 | 208 | 165 | FS OTG | 2 | 1 | - | 1 | 5 | 3 | 3 | 8 | 12 / 0.4 | ✓ | TFBGA208 | 85 | 2.4~3.6 |
| LPC4088FBD144 | CM4F | 120 | 512 | 96 | 4 | 144 | 109 | FS OTG | 2 | 1 | ✓ | 1 | 5 | 3 | 3 | 8 | 12 / 0.4 | ✓ | LQFP144 | 85 | 2.4~3.6 |
| LPC4088FET180 | CM4F | 120 | 512 | 96 | 4 | 180 | 142 | FS OTG | 2 | 1 | ✓ | 1 | 5 | 3 | 3 | 8 | 12 / 0.4 | ✓ | TFBGA180 | 85 | 2.4~3.6 |
| LPC4088FBD208 | CM4F | 120 | 512 | 96 | 4 | 208 | 165 | FS OTG | 2 | 1 | ✓ | 1 | 5 | 3 | 3 | 8 | 12 / 0.4 | ✓ | LQFP208 | 85 | 2.4~3.6 |
| LPC4088FET208 | CM4F | 120 | 512 | 96 | 4 | 208 | 165 | FS OTG | 2 | 1 | ✓ | 1 | 5 | 3 | 3 | 8 | 12 / 0.4 | ✓ | TFBGA208 | 85 | 2.4~3.6 |
| LPC4300系列：基于Arm® Cortex®-M4/M0内核的高性能微控制器 | | | | | | | | | | | | | | | | | | | | | |
| LPC4310FET100 | 双核 | 204 | 0 | 168 | 0 | 100 | 49 | - | 2 | - | - | 2 | 4 | 2 | 3 | 8 | 10 / 0.4 | ✓ | TFBGA100 | 85 | 2.4~3.6 |
| LPC4310FBD144 | 双核 | 204 | 0 | 168 | 0 | 144 | 83 | - | 2 | - | - | 2 | 4 | 2 | 3 | 8 | 10 / 0.4 | ✓ | LQFP144 | 85 | 2.4~3.6 |
| LPC4320FET100 | 双核 | 204 | 0 | 200 | 0 | 100 | 49 | HS OTG | 2 | - | - | 2 | 4 | 2 | 3 | 8 | 10 / 0.4 | ✓ | TFBGA100 | 85 | 2.4~3.6 |
| LPC4320FBD144 | 双核 | 204 | 0 | 200 | 0 | 144 | 83 | HS OTG | 2 | - | - | 2 | 4 | 2 | 3 | 8 | 10 / 0.4 | ✓ | LQFP144 | 85 | 2.4~3.6 |
| LPC4330FET100 | 双核 | 204 | 0 | 264 | 0 | 100 | 49 | HS OTG x2 | 2 | 1 | - | 2 | 4 | 2 | 3 | 8 | 10 / 0.4 | ✓ | TFBGA100 | 85 | 2.4~3.6 |
| LPC4330FBD144 | 双核 | 204 | 0 | 264 | 0 | 144 | 83 | HS OTG x2 | 2 | 1 | - | 2 | 4 | 2 | 3 | 8 | 10 / 0.4 | ✓ | LQFP144 | 85 | 2.4~3.6 |
| LPC4330FET180 | 双核 | 204 | 0 | 264 | 0 | 180 | 118 | HS OTG x2 | 2 | 1 | - | 2 | 4 | 2 | 3 | 8 | 10 / 0.4 | ✓ | TFBGA180 | 85 | 2.4~3.6 |
| LPC4330FET256 | 双核 | 204 | 0 | 264 | 0 | 256 | 146 | HS OTG x2 | 2 | 1 | - | 2 | 4 | 2 | 3 | 8 | 10 / 0.4 | ✓ | LBGA256 | 85 | 2.4~3.6 |
| LPC4350FET180 | 双核 | 204 | 0 | 264 | 0 | 180 | 118 | HS OTG x2 | 2 | 1 | - | 2 | 4 | 2 | 3 | 8 | 10 / 0.4 | ✓ | TFBGA180 | 85 | 2.4~3.6 |
| LPC4350FET256 | 双核 | 204 | 0 | 264 | 0 | 256 | 164 | HS OTG x2 | 2 | 1 | - | 2 | 4 | 2 | 3 | 8 | 10 / 0.4 | ✓ | LBGA256 | 85 | 2.4~3.6 |
| LPC4350FET256 | 双核 | 204 | 0 | 264 | 0 | 256 | 164 | HS OTG x2 | 2 | 1 | - | 2 | 4 | 2 | 3 | 8 | 10 / 0.4 | ✓ | LBGA256 | 105 | 2.4~3.6 |

(1) 双核+: CM4F & CM0+, 双核: CM4F & CM0

(4) 使用片内FlexComm配置实现

(2) FS: 全速, HS: 高速

(5) 图形LCD接口最大支持分辨率为1024x768

(3) 作为USB设备时可以不必使用外接晶振

| 产品型号 | 内核 ⁽¹⁾ | 主频 (MHz) | 闪存 (KB) | RAM (KB) | 引脚 数目 | I/O 数目 | USB ⁽²⁾ | CAN | 以太 网 | 图形 LCD 接口 ⁽⁵⁾ | I ² S | UART | I ² C | SPI | ADC 通道 | ADC 位数/速度 (bits/MspS) | 封装 | 最高工 作温 度 (°C) | 工作电压 (V) |
|--------------------|-------------------|-------------|------------|-------------|----------|-----------|-----------------------|-----|---------|--------------------------------|------------------|-------------------|--------------------|-------------------|-----------|-----------------------------|----------|---|-------------|
| | | | | | | | | | | | | | | | | | | LPC54000系列：基于Arm® Cortex®-M4内核的低功耗微控制器，带有可选的Cortex®-M0+协处理器 | |
| LPC54005JBD100E | CM4F | 180 | - | 360 | 100 | 64 | HS OTG & FS OTG | - | - | - | 2 ⁽⁴⁾ | 10 ⁽⁴⁾ | 10 ⁽⁴⁾ | 10 ⁽⁴⁾ | 12 | 12 / 5.0 | LQFP100 | 105 | 1.71~3.6 |
| LPC54005JET100E | CM4F | 180 | - | 360 | 100 | 64 | HS OTG & FS OTG | - | - | - | 2 ⁽⁴⁾ | 10 ⁽⁴⁾ | 10 ⁽⁴⁾ | 10 ⁽⁴⁾ | 12 | 12 / 5.0 | TFBGA100 | 105 | 1.71~3.6 |
| LPC54016JBD100E | CM4F | 180 | - | 360 | 100 | 64 | HS OTG & FS OTG | 2 | 1 | - | 2 ⁽⁴⁾ | 10 ⁽⁴⁾ | 10 ⁽⁴⁾ | 10 ⁽⁴⁾ | 12 | 12 / 5.0 | LQFP100 | 105 | 1.71~3.6 |
| LPC54016JBD208E | CM4F | 180 | - | 360 | 208 | 171 | HS OTG & FS OTG | 2 | 1 | - | 2 ⁽⁴⁾ | 11 ⁽⁴⁾ | 11 ⁽⁴⁾ | 11 ⁽⁴⁾ | 12 | 12 / 5.0 | LQFP208 | 105 | 1.71~3.6 |
| LPC54016JET100E | CM4F | 180 | - | 360 | 100 | 64 | HS OTG & FS OTG | 2 | 1 | - | 2 ⁽⁴⁾ | 10 ⁽⁴⁾ | 10 ⁽⁴⁾ | 10 ⁽⁴⁾ | 12 | 12 / 5.0 | TFBGA100 | 105 | 1.71~3.6 |
| LPC54016JET180E | CM4F | 180 | - | 360 | 180 | 145 | HS OTG & FS OTG | 2 | 1 | - | 2 ⁽⁴⁾ | 11 ⁽⁴⁾ | 11 ⁽⁴⁾ | 11 ⁽⁴⁾ | 12 | 12 / 5.0 | TFBGA180 | 105 | 1.71~3.6 |
| LPC54018J2MET180E | CM4F | 180 | - | 360 | 180 | 145 | HS OTG & FS OTG | 2 | 1 | ✓ | 2 ⁽⁴⁾ | 11 ⁽⁴⁾ | 11 ⁽⁴⁾ | 11 ⁽⁴⁾ | 12 | 12 / 5.0 | TFBGA180 | 105 | 1.71~3.6 |
| LPC54018J4MET180E | CM4F | 180 | - | 360 | 180 | 145 | HS OTG & FS OTG | 2 | 1 | ✓ | 2 ⁽⁴⁾ | 11 ⁽⁴⁾ | 11 ⁽⁴⁾ | 11 ⁽⁴⁾ | 12 | 12 / 5.0 | TFBGA180 | 105 | 1.71~3.6 |
| LPC54018JBD208E | CM4F | 180 | - | 360 | 208 | 171 | HS OTG & FS OTG | 2 | 1 | ✓ | 2 ⁽⁴⁾ | 11 ⁽⁴⁾ | 11 ⁽⁴⁾ | 11 ⁽⁴⁾ | 12 | 12 / 5.0 | LQFP208 | 105 | 1.71~3.6 |
| LPC54018JET180E | CM4F | 180 | - | 360 | 180 | 145 | HS OTG & FS OTG | 2 | 1 | ✓ | 2 ⁽⁴⁾ | 11 ⁽⁴⁾ | 11 ⁽⁴⁾ | 11 ⁽⁴⁾ | 12 | 12 / 5.0 | TFBGA180 | 105 | 1.71~3.6 |
| LPC54S005JBD100E | CM4F | 180 | - | 360 | 100 | 64 | HS OTG & FS OTG | - | - | - | 2 ⁽⁴⁾ | 10 ⁽⁴⁾ | 10 ⁽⁴⁾ | 10 ⁽⁴⁾ | 12 | 12 / 5.0 | LQFP100 | 105 | 1.71~3.6 |
| LPC54S005JET100E | CM4F | 180 | - | 360 | 100 | 64 | HS OTG & FS OTG | - | - | - | 2 ⁽⁴⁾ | 10 ⁽⁴⁾ | 10 ⁽⁴⁾ | 10 ⁽⁴⁾ | 12 | 12 / 5.0 | TFBGA100 | 105 | 1.71~3.6 |
| LPC54S016JBD100E | CM4F | 180 | - | 360 | 100 | 64 | HS OTG & FS OTG | 2 | 1 | - | 2 ⁽⁴⁾ | 10 ⁽⁴⁾ | 10 ⁽⁴⁾ | 10 ⁽⁴⁾ | 12 | 12 / 5.0 | LQFP100 | 105 | 1.71~3.6 |
| LPC54S016JBD208E | CM4F | 180 | - | 360 | 208 | 171 | HS OTG & FS OTG | 2 | 1 | - | 2 ⁽⁴⁾ | 11 ⁽⁴⁾ | 11 ⁽⁴⁾ | 11 ⁽⁴⁾ | 12 | 12 / 5.0 | LQFP208 | 105 | 1.71~3.6 |
| LPC54S016JET100E | CM4F | 180 | - | 360 | 100 | 64 | HS OTG & FS OTG | 2 | 1 | - | 2 ⁽⁴⁾ | 10 ⁽⁴⁾ | 10 ⁽⁴⁾ | 10 ⁽⁴⁾ | 12 | 12 / 5.0 | TFBGA100 | 105 | 1.71~3.6 |
| LPC54S016JET180E | CM4F | 180 | - | 360 | 180 | 145 | HS OTG & FS OTG | 2 | 1 | - | 2 ⁽⁴⁾ | 11 ⁽⁴⁾ | 11 ⁽⁴⁾ | 11 ⁽⁴⁾ | 12 | 12 / 5.0 | TFBGA180 | 105 | 1.71~3.6 |
| LPC54S018J2MET180E | CM4F | 180 | - | 360 | 180 | 145 | HS OTG & FS OTG | 2 | 1 | ✓ | 2 ⁽⁴⁾ | 11 ⁽⁴⁾ | 11 ⁽⁴⁾ | 11 ⁽⁴⁾ | 12 | 12 / 5.0 | TFBGA180 | 105 | 1.71~3.6 |
| LPC54S018J4MET180E | CM4F | 180 | - | 360 | 180 | 145 | HS OTG & FS OTG | 2 | 1 | ✓ | 2 ⁽⁴⁾ | 11 ⁽⁴⁾ | 11 ⁽⁴⁾ | 11 ⁽⁴⁾ | 12 | 12 / 5.0 | TFBGA180 | 105 | 1.71~3.6 |
| LPC54S018JBD208E | CM4F | 180 | - | 360 | 208 | 171 | HS OTG & FS OTG | 2 | 1 | ✓ | 2 ⁽⁴⁾ | 11 ⁽⁴⁾ | 11 ⁽⁴⁾ | 11 ⁽⁴⁾ | 12 | 12 / 5.0 | LQFP208 | 105 | 1.71~3.6 |
| LPC54S018JET180E | CM4F | 180 | - | 360 | 180 | 145 | HS OTG & FS OTG | 2 | 1 | ✓ | 2 ⁽⁴⁾ | 11 ⁽⁴⁾ | 11 ⁽⁴⁾ | 11 ⁽⁴⁾ | 12 | 12 / 5.0 | TFBGA180 | 105 | 1.71~3.6 |
| LPC54S018J2MET180E | CM4F | 180 | - | 360 | 180 | 145 | HS OTG & FS OTG | 2 | 1 | ✓ | 2 ⁽⁴⁾ | 11 ⁽⁴⁾ | 11 ⁽⁴⁾ | 11 ⁽⁴⁾ | 12 | 12 / 5.0 | TFBGA180 | 105 | 1.71~3.6 |
| LPC54S018J4MET180E | CM4F | 180 | - | 360 | 180 | 145 | HS OTG & FS OTG | 2 | 1 | ✓ | 2 ⁽⁴⁾ | 11 ⁽⁴⁾ | 11 ⁽⁴⁾ | 11 ⁽⁴⁾ | 12 | 12 / 5.0 | TFBGA180 | 105 | 1.71~3.6 |
| LPC54S018JBD208E | CM4F | 180 | - | 360 | 208 | 171 | HS OTG & FS OTG | 2 | 1 | ✓ | 2 ⁽⁴⁾ | 11 ⁽⁴⁾ | 11 ⁽⁴⁾ | 11 ⁽⁴⁾ | 12 | 12 / 5.0 | LQFP208 | 105 | 1.71~3.6 |
| LPC54S018JET180E | CM4F | 180 | - | 360 | 180 | 145 | HS OTG & FS OTG | 2 | 1 | ✓ | 2 ⁽⁴⁾ | 11 ⁽⁴⁾ | 11 ⁽⁴⁾ | 11 ⁽⁴⁾ | 12 | 12 / 5.0 | TFBGA180 | 105 | 1.71~3.6 |
| LPC54101J256UK49 | CM4F | 100 | 256 | 104 | 49 | 39 | - | - | - | - | - | 4 | 3 | 2 | 12 | 12 / 4.8 | WLCSPI49 | 105 | 1.62~3.6 |
| LPC54101J256BD64 | CM4F | 100 | 256 | 104 | 64 | 50 | - | - | - | - | - | 4 | 3 | 2 | 12 | 12 / 4.8 | LQFP64 | 105 | 1.62~3.6 |
| LPC54101J512UK49 | CM4F | 100 | 512 | 104 | 49 | 39 | - | - | - | - | - | 4 | 3 | 2 | 12 | 12 / 4.8 | WLCSPI49 | 105 | 1.62~3.6 |
| LPC54101J512BD64 | CM4F | 100 | 512 | 104 | 64 | 50 | - | - | - | - | - | 4 | 3 | 2 | 12 | 12 / 4.8 | LQFP64 | 105 | 1.62~3.6 |
| LPC54102J256UK49 | 双核+ | 100 | 256 | 104 | 49 | 39 | - | - | - | - | - | 4 | 3 | 2 | 12 | 12 / 4.8 | WLCSPI49 | 105 | 1.62~3.6 |
| LPC54102J256BD64 | 双核+ | 100 | 256 | 104 | 64 | 50 | - | - | - | - | - | 4 | 3 | 2 | 12 | 12 / 4.8 | LQFP64 | 105 | 1.62~3.6 |
| LPC54102J512UK49 | 双核+ | 100 | 512 | 104 | 49 | 39 | - | - | - | - | - | 4 | 3 | 2 | 12 | 12 / 4.8 | WLCSPI49 | 105 | 1.62~3.6 |
| LPC54102J512BD64 | 双核+ | 100 | 512 | 104 | 64 | 50 | - | - | - | - | - | 4 | 3 | 2 | 12 | 12 / 4.8 | LQFP64 | 105 | 1.62~3.6 |
| LPC54113J128BD64 | CM4F | 100 | 128 | 96 | 64 | 48 | FS Dev ⁽³⁾ | - | - | - | 2 ⁽⁴⁾ | 8 ⁽⁴⁾ | 1+8 ⁽⁴⁾ | 8 ⁽⁴⁾ | 12 | 12 / 5.0 | LQFP64 | 105 | 1.62~3.6 |
| LPC54113J256UK49 | CM4F | 100 | 256 | 192 | 49 | 37 | FS Dev ⁽³⁾ | - | - | - | 2 ⁽⁴⁾ | 8 ⁽⁴⁾ | 1+8 ⁽⁴⁾ | 8 ⁽⁴⁾ | 12 | 12 / 5.0 | WLCSPI49 | 105 | 1.62~3.6 |
| LPC54113J256BD64 | CM4F | 100 | 256 | 192 | 64 | 48 | FS Dev ⁽³⁾ | - | - | - | 2 ⁽⁴⁾ | 8 ⁽⁴⁾ | 1+8 ⁽⁴⁾ | 8 ⁽⁴⁾ | 12 | 12 / 5.0 | LQFP64 | 105 | 1.62~3.6 |
| LPC54114J256UK49 | 双核+ | 100 | 256 | 192 | 49 | 37 | FS Dev ⁽³⁾ | - | - | - | 2 ⁽⁴⁾ | 8 ⁽⁴⁾ | 1+8 ⁽⁴⁾ | 8 ⁽⁴⁾ | 12 | 12 / 5.0 | WLCSPI49 | 105 | 1.62~3.6 |
| LPC54114J256BD64 | 双核+ | 100 | 256 | 192 | 64 | 48 | FS Dev ⁽³⁾ | - | - | - | 2 ⁽⁴⁾ | 8 ⁽⁴⁾ | 1+8 ⁽⁴⁾ | 8 ⁽⁴⁾ | 12 | 12 / 5.0 | LQFP64 | 105 | 1.62~3.6 |

| 产品型号 | 内核 ⁽¹⁾ | 主频(MHz) | 闪存(KB) | RAM(KB) | E ² PROM(KB) | 引脚数目 | I/O数目 | USB ⁽²⁾ | CAN | 以太网 | 图形LCD接口 ⁽⁵⁾ | I ² S | UART | I ² C | SPI | ADC通道 | ADC位数/速度(bits/Msp) | 封装 | 最高工作温度(°C) | 工作电压(V) |
|--|-------------------|---------|--------|---------|-------------------------|------|-------|--------------------|-----|------------|------------------------|------------------|-------------------|-------------------|-------------------|-------|--------------------|----------|------------|----------|
| LPC54600系列：基于Arm® Cortex®-M4内核的高性能微控制器，内置以太网、LCD控制器等 | | | | | | | | | | | | | | | | | | | | |
| LPC54605J256BD100E | CM4F | 180 | 256 | 136 | 16 | 100 | 64 | HS OTG&FS OTG | - | - | - | 2 ⁽⁴⁾ | 9 ⁽⁴⁾ | 9 ⁽⁴⁾ | 9 ⁽⁴⁾ | 12 | 12 / 5.0 | LQFP100 | 105 | 1.71~3.6 |
| LPC54605J256ET100E | CM4F | 180 | 256 | 136 | 16 | 100 | 64 | HS OTG&FS OTG | - | - | - | 2 ⁽⁴⁾ | 9 ⁽⁴⁾ | 9 ⁽⁴⁾ | 9 ⁽⁴⁾ | 12 | 12 / 5.0 | TFBGA100 | 105 | 1.71~3.6 |
| LPC54605J512BD100E | CM4F | 180 | 512 | 200 | 16 | 100 | 64 | HS OTG&FS OTG | - | - | - | 2 ⁽⁴⁾ | 9 ⁽⁴⁾ | 9 ⁽⁴⁾ | 9 ⁽⁴⁾ | 12 | 12 / 5.0 | LQFP100 | 105 | 1.71~3.6 |
| LPC54605J512ET100E | CM4F | 180 | 512 | 200 | 16 | 100 | 64 | HS OTG&FS OTG | - | - | - | 2 ⁽⁴⁾ | 9 ⁽⁴⁾ | 9 ⁽⁴⁾ | 9 ⁽⁴⁾ | 12 | 12 / 5.0 | TFBGA100 | 105 | 1.71~3.6 |
| LPC54605J256ET180 | CM4F | 180 | 256 | 136 | 16 | 180 | 145 | HS OTG&FS OTG | - | MII / RMII | ✓ | 2 ⁽⁴⁾ | 10 ⁽⁴⁾ | 10 ⁽⁴⁾ | 10 ⁽⁴⁾ | 12 | 12 / 5.0 | TFBGA180 | 105 | 1.71~3.6 |
| LPC54605J512ET180 | CM4F | 180 | 512 | 200 | 16 | 180 | 145 | HS OTG&FS OTG | - | MII / RMII | ✓ | 2 ⁽⁴⁾ | 10 ⁽⁴⁾ | 10 ⁽⁴⁾ | 10 ⁽⁴⁾ | 12 | 12 / 5.0 | TFBGA180 | 105 | 1.71~3.6 |
| LPC54606J256BD100 | CM4F | 180 | 256 | 136 | 16 | 100 | 64 | HS OTG&FS OTG | 2 | RMII | - | 2 ⁽⁴⁾ | 9 ⁽⁴⁾ | 9 ⁽⁴⁾ | 9 ⁽⁴⁾ | 8 | 12 / 5.0 | LQFP100 | 105 | 1.71~3.6 |
| LPC54606J256ET100 | CM4F | 180 | 256 | 136 | 16 | 100 | 64 | HS OTG&FS OTG | 2 | RMII | - | 2 ⁽⁴⁾ | 9 ⁽⁴⁾ | 9 ⁽⁴⁾ | 9 ⁽⁴⁾ | 8 | 12 / 5.0 | TFBGA100 | 105 | 1.71~3.6 |
| LPC54606J256ET180 | CM4F | 180 | 256 | 136 | 16 | 180 | 145 | HS OTG&FS OTG | 2 | MII / RMII | - | 2 ⁽⁴⁾ | 10 ⁽⁴⁾ | 10 ⁽⁴⁾ | 10 ⁽⁴⁾ | 12 | 12 / 5.0 | TFBGA180 | 105 | 1.71~3.6 |
| LPC54606J512BD100 | CM4F | 180 | 512 | 200 | 16 | 100 | 64 | HS OTG&FS OTG | 2 | RMII | - | 2 ⁽⁴⁾ | 9 ⁽⁴⁾ | 9 ⁽⁴⁾ | 9 ⁽⁴⁾ | 8 | 12 / 5.0 | LQFP100 | 105 | 1.71~3.6 |
| LPC54606J512BD208 | CM4F | 180 | 512 | 200 | 16 | 208 | 171 | HS OTG&FS OTG | 2 | MII / RMII | - | 2 ⁽⁴⁾ | 10 ⁽⁴⁾ | 10 ⁽⁴⁾ | 10 ⁽⁴⁾ | 12 | 12 / 5.0 | LQFP208 | 105 | 1.71~3.6 |
| LPC54606J512ET100 | CM4F | 180 | 512 | 200 | 16 | 100 | 64 | HS OTG&FS OTG | 2 | RMII | - | 2 ⁽⁴⁾ | 9 ⁽⁴⁾ | 9 ⁽⁴⁾ | 9 ⁽⁴⁾ | 8 | 12 / 5.0 | TFBGA100 | 105 | 1.71~3.6 |
| LPC54607J256BD208 | CM4F | 180 | 256 | 136 | 16 | 208 | 171 | HS OTG&FS OTG | - | MII / RMII | ✓ | 2 ⁽⁴⁾ | 10 ⁽⁴⁾ | 10 ⁽⁴⁾ | 10 ⁽⁴⁾ | 12 | 12 / 5.0 | LQFP208 | 105 | 1.71~3.6 |
| LPC54607J256ET180 | CM4F | 180 | 256 | 136 | 16 | 180 | 145 | HS OTG&FS OTG | - | MII / RMII | ✓ | 2 ⁽⁴⁾ | 10 ⁽⁴⁾ | 10 ⁽⁴⁾ | 10 ⁽⁴⁾ | 12 | 12 / 5.0 | TFBGA180 | 105 | 1.71~3.6 |
| LPC54607J512ET180 | CM4F | 180 | 512 | 200 | 16 | 180 | 145 | HS OTG&FS OTG | - | MII / RMII | ✓ | 2 ⁽⁴⁾ | 10 ⁽⁴⁾ | 10 ⁽⁴⁾ | 10 ⁽⁴⁾ | 12 | 12 / 5.0 | TFBGA180 | 105 | 1.71~3.6 |
| LPC54608J512BD208 | CM4F | 180 | 512 | 200 | 16 | 208 | 171 | HS OTG&FS OTG | 2 | MII / RMII | ✓ | 2 ⁽⁴⁾ | 10 ⁽⁴⁾ | 10 ⁽⁴⁾ | 10 ⁽⁴⁾ | 12 | 12 / 5.0 | LQFP208 | 105 | 1.71~3.6 |
| LPC54608J512ET180 | CM4F | 180 | 512 | 200 | 16 | 180 | 145 | HS OTG&FS OTG | 2 | MII / RMII | ✓ | 2 ⁽⁴⁾ | 10 ⁽⁴⁾ | 10 ⁽⁴⁾ | 10 ⁽⁴⁾ | 12 | 12 / 5.0 | TFBGA180 | 105 | 1.71~3.6 |
| LPC54616J256ET180 | CM4F | 180 | 256 | 136 | 16 | 180 | 145 | HS OTG&FS OTG | 2 | MII / RMII | - | 2 ⁽⁴⁾ | 10 ⁽⁴⁾ | 10 ⁽⁴⁾ | 10 ⁽⁴⁾ | 12 | 12 / 5.0 | TFBGA180 | 105 | 1.71~3.6 |
| LPC54616J512BD100 | CM4F | 180 | 512 | 200 | 16 | 100 | 64 | HS OTG&FS OTG | 2 | RMII | - | 2 ⁽⁴⁾ | 9 ⁽⁴⁾ | 9 ⁽⁴⁾ | 9 ⁽⁴⁾ | 8 | 12 / 5.0 | LQFP100 | 105 | 1.71~3.6 |
| LPC54616J512BD208 | CM4F | 180 | 512 | 200 | 16 | 208 | 171 | HS OTG&FS OTG | 2 | MII / RMII | - | 2 ⁽⁴⁾ | 10 ⁽⁴⁾ | 10 ⁽⁴⁾ | 10 ⁽⁴⁾ | 12 | 12 / 5.0 | LQFP208 | 105 | 1.71~3.6 |
| LPC54616J512ET100 | CM4F | 180 | 512 | 200 | 16 | 100 | 64 | HS OTG&FS OTG | 2 | RMII | - | 2 ⁽⁴⁾ | 9 ⁽⁴⁾ | 9 ⁽⁴⁾ | 9 ⁽⁴⁾ | 8 | 12 / 5.0 | TFBGA100 | 105 | 1.71~3.6 |
| LPC54616J512BD208 | CM4F | 180 | 512 | 200 | 16 | 208 | 171 | HS OTG&FS OTG | 2 | MII / RMII | ✓ | 2 ⁽⁴⁾ | 10 ⁽⁴⁾ | 10 ⁽⁴⁾ | 10 ⁽⁴⁾ | 12 | 12 / 5.0 | LQFP208 | 105 | 1.71~3.6 |
| LPC54616J512ET180 | CM4F | 180 | 512 | 200 | 16 | 180 | 145 | HS OTG&FS OTG | 2 | MII / RMII | ✓ | 2 ⁽⁴⁾ | 10 ⁽⁴⁾ | 10 ⁽⁴⁾ | 10 ⁽⁴⁾ | 12 | 12 / 5.0 | TFBGA180 | 105 | 1.71~3.6 |
| LPC54628J512ET180E | CM4F | 220 | 512 | 200 | 16 | 180 | 145 | HS OTG&FS OTG | 2 | 1 | ✓ | 2 ⁽⁴⁾ | 10 ⁽⁴⁾ | 10 ⁽⁴⁾ | 10 ⁽⁴⁾ | 12 | 12 / 5.0 | TFBGA180 | 105 | 1.71~3.6 |

(1) 双核+：CM4F & CM0+，双核：CM4F & CM0

(2) FS: 全速, HS: 高速

(3) 作为USB设备时可以不必使用外接晶振

(4) 使用片内FlexComm配置实现

(5) 图形LCD接口最大支持分辨率为1024x768

恩智浦基于Arm® Cortex®-M4的微控制器 -K系列

恩智浦K系列MCU产品系列包含超过600种互相兼容的低功耗、高性能的基于Arm® Cortex®-M4内核的32位微控制器，本产品系列的设计满足了性能可扩展、高度集成、互联互通、基本通信、人机接口和数据安全等不同要求，在多种封装选项内提供丰富的功能。

超级可扩展—上百个产品，提供卓越的特性和扩展的性能的同时，保持软硬件上的兼容，有效保护您的工程投资。

优化的功能组合—人机接口、安全特性、混合信号模块、以及诸如无晶体USB功能等互联选项等，丰富的智能片上功能选项优化了系统物料成本。

性能与功耗效率—最高180MHz主频，内置浮点运算单元；多种低功耗模式和增强的低功耗外设，扩展了电池供电设备的续航。

优化的功能组合—人机接口、安全特性、混合信号模块、以及诸如无晶体USB功能等互联选项等，丰富的智能片上功能选项优化了系统物料成本。

K0x系列：低功耗入门级

K0x MCU是K系列的入门产品，也是从KL系列升级到K系列的过渡桥梁。这些器件最低配备64KB闪存，采用多种小规格的封装方式。该系列实现了性能和功耗的完美平衡，带浮点运算单元，运行频率达到100MHz，动态功耗低，静态功耗一流，提供超过10种灵活的低功耗模式。

K0x MCU运行电流低至 $125\mu\text{A}/\text{MHz}$ ，低功耗模式电流低至 150nA ，从停止模式唤醒仅需 $6\mu\text{s}$ 。该系列的所有器件都具备超低功耗，其优化的精简集成特性能够满足各种应用需求。

目标应用

- 消费电子
- 健康监测
- 家庭和楼宇自动化
- 工业/商业传感器节点
- 可穿戴设备

K2x系列：低功耗 US OTG

K2x MCU系列配备全速和可选高速USB 2.0 OTG，包括可选的无晶振器件功能。闪存容量从32KB至2MB不等，配备256KB SRAM；封装包括BGA、LQFP、QFN和WLCSP，引脚数量范围为32至169脚。K2x MCU系列为集成度各异的可扩展产品组合，具备丰富的模拟、通信、定时和控制外设套件，可满足广泛的需求。

目标应用

- 条形码扫描仪
- 健康监测仪
- 游戏配件
- 电子销售终端(EPOS)
- 家庭和楼宇自动化
- 工业/商业传感器节点
- 智能电网数据集中器
- 物联网数据集中器
- 多功能打印机
- 可穿戴设备

KS22系列：源于中国需求 USB OTG 低功耗

KS22系列基于Arm® Cortex®-M4内核主频120MHz并支持数字信号处理指令以及单精度浮点运算单元。这一系列具有全速USB2.0 OTG模块，作为USB设备时无须外部振荡器。器件提供128KB或者256KB闪存，64KB内存以及LQFP和QFN封装，拥有丰富的模拟、通信、定时和控制外设。

目标应用

- 物联网
- 工业/消费电子
- 医疗/保健
- 智慧能源
- 数据连接
- 可穿戴设备

K6x系列：USB OTG 以太网

K6x MCU系列配备IEEE®1588以太网、全速和可选高速USB 2.0 OTG，包括可选的无晶振器件功能。闪存容量从256KB至2MB不等，配备256KBSRAM；封装包括BGA、LQFP和WLCSP，引脚数量范围为100至256脚。

K6x MCU系列为集成度各异的可扩展产品组合，具备丰富的模拟、通信、定时和控制外设套件，可满足广泛的需求

目标应用

- 楼宇控制
- 医疗监护
- 智能家庭
- 工业驱动器
- 工厂自动化
- 物联网数据集中器

K8x系列产品对比

K8x系列：可扩展存储 增强安全 灵活I/O

K8x系列具有先进的安全功能：支持加密固件升级的Boot ROM；外部NOR闪存自动解密和执行；抗侧信道攻击的硬件AES加速；支持公钥加密。

K8x MCU标配对称加密加速和全速USB 2.0 OTG特性，包括可选的无晶振器件功能。首批K8x MCU的闪存空间总量最高为256 KB，配备256 KB SRAM。除嵌入的存储器资源以外，集成式QuadSPI接口还支持连接非易失性存储器(串行NOR)，使开发者可以超越传统MCU的界限。借助扩展的存储器资源和新的安全特性，开发者可以安全、快速地增强嵌入式应用的功能。

目标应用

- POS机
- 便携医疗保健设备
- 楼宇控制
- 智能能源网关
- 物联网数据集中器
- 智能家庭和安全
- 可穿戴产品

| 特性 | | 优势 |
|-----|---|---|
| K80 | 利用Boot ROM更新128位AES加密固件 | 保障固件升级安全，降低软件开销和复杂度。 |
| | 闪存访问控制(FAC)：控制寄存器可以为多达64个不同的片上闪存块设置访问权限 | 允许终端客户使用软件库，同时为这些软件库提供可编程的约束，保护软件知识产权 |
| | 面向对称密码和杂凑函数的软硬件加速机制： 对称密码安全操作的硬件实现 支持DES、3DES、AES、MD5、SHA~1、SHA~256多种算法 | 降低CPU负载；简化高级安全功能和网络安全标准的实现过程；使用固件杂凑与加密密钥，确保固件更新的可信度 |
| K81 | 具有多达8个引脚的篡改检测模块，在外部篡改事件发生时，异步擦除密钥存储空间以确保安全 | 减少防篡改机制所需要的外部电路 |
| | 安全会话RAM，专为存储敏感信息而设计，当检测到篡改事件时自动清除 | 用于安全功能的存储器高速缓存区 |
| K82 | 密码协处理器，支持AES、DES 和公钥密码算法 | 分流CPU负载，减小软件体积，缩短RSA2048、ECDSA和ECDH认证延迟 |
| | 外部串行NOR Flash的动态AES解密。 | 轻松确保片外固件安全 |

| 产品型号 | 主频(MHz) | 闪存(KB) | RAM(KB) | 引脚数目 | I/O数目 | USB | CAN | SDHC(位数) | I ² S | UART | I ² C | SPI | 16位ADC ^a | ADC ^b (DP/SE) | DAC(6位/12位) | 其他 | 封装 | 温度范围(°C) | 工作电压(V) |
|-----------------|---------|--------|---------|------|-------|---------------------|-----|----------|------------------|------|------------------|-----|---------------------|--------------------------|-------------|--------|-----------|----------|----------|
| MK02FN64VFM10 | 100 | 64 | 16 | 32 | 26 | - | - | - | 2 | 1 | 1 | 1 | 0 / 13 | 0 / 1 | | QFN32 | -40~105 | 1.71~3.6 | |
| MK02FN64VLH10 | 100 | 64 | 16 | 64 | 46 | - | - | - | 2 | 1 | 1 | 1 | 2 / 24 | 0 / 1 | | LQFP64 | -40~105 | 1.71~3.6 | |
| MK02FN128VFM10 | 100 | 128 | 16 | 32 | 26 | - | - | - | 2 | 1 | 1 | 1 | 0 / 13 | 0 / 1 | | QFN32 | -40~105 | 1.71~3.6 | |
| MK02FN128VLH10 | 100 | 128 | 16 | 64 | 46 | - | - | - | 2 | 1 | 1 | 1 | 2 / 24 | 0 / 1 | | LQFP64 | -40~105 | 1.71~3.6 | |
| MK22FN256VLH12 | 120 | 256 | 48 | 64 | 40 | FS OTG ^c | - | - | 1 | 4 | 2 | 1 | 2 | 2 / 22 | 0 / 1 | | LQFP64 | -40~105 | 1.71~3.6 |
| MK22FN256VMP12 | 120 | 256 | 48 | 64 | 40 | FS OTG ^c | - | - | 1 | 4 | 2 | 1 | 2 | 2 / 22 | 0 / 1 | | MAPBGA64 | -40~105 | 1.71~3.6 |
| MK22FN256VLL12 | 120 | 256 | 48 | 100 | 66 | FS OTG ^c | - | - | 1 | 4 | 2 | 1 | 2 | 4 / 33 | 0 / 1 | | LQFP100 | -40~105 | 1.71~3.6 |
| MK22FN256VDC12 | 120 | 256 | 48 | 121 | 70 | FS OTG ^c | - | - | 1 | 4 | 2 | 1 | 2 | 4 / 36 | 0 / 1 | | XFBGA121 | -40~105 | 1.71~3.6 |
| MK22FN512VLH12 | 120 | 512 | 128 | 64 | 40 | FS OTG ^c | - | - | 1 | 4 | 2 | 1 | 2 | 2 / 22 | 0 / 2 | | LQFP64 | -40~105 | 1.71~3.6 |
| MK22FN512VMP12 | 120 | 512 | 128 | 64 | 40 | FS OTG ^c | - | - | 1 | 4 | 2 | 1 | 2 | 2 / 22 | 0 / 2 | | MAPBGA64 | -40~105 | 1.71~3.6 |
| MK22FN512VLL12 | 120 | 512 | 128 | 100 | 66 | FS OTG ^c | - | - | 1 | 4 | 2 | 1 | 2 | 4 / 33 | 0 / 2 | | LQFP100 | -40~105 | 1.71~3.6 |
| MK22FN512VDC12 | 120 | 512 | 128 | 121 | 81 | FS OTG ^c | - | - | 1 | 4 | 2 | 1 | 2 | 4 / 38 | 0 / 2 | | XFBGA121 | -40~105 | 1.71~3.6 |
| MK22FN1M0AVLH12 | 120 | 1024 | 128 | 64 | 40 | FS OTG ^d | 1 | - | 1 | 3 | 3 | 1 | 2 | 2 / 22 | 0 / 1 | | LQFP64 | -40~105 | 1.71~3.6 |
| MK22FN1M0AVLK12 | 120 | 1024 | 128 | 80 | 52 | FS OTG ^d | 1 | 4 | 1 | 4 | 3 | 1 | 2 | 3 / 27 | 0 / 1 | | LQFP80 | -40~105 | 1.71~3.6 |
| MK22FN1M0AVLL12 | 120 | 1024 | 128 | 100 | 66 | FS OTG ^d | 1 | 4 | 1 | 5 | 3 | 1 | 2 | 5 / 33 | 0 / 1 | | LQFP100 | -40~105 | 1.71~3.6 |
| MK22FN1M0AVMC12 | 120 | 1024 | 128 | 121 | 86 | FS OTG ^d | 1 | 8 | 1 | 6 | 3 | 1 | 2 | 5 / 38 | 0 / 2 | | MAPBGA121 | -40~105 | 1.71~3.6 |
| MK22FN1M0AVLQ12 | 120 | 1024 | 128 | 144 | 100 | FS OTG ^d | 1 | 8 | 1 | 6 | 3 | 1 | 2 | 5 / 42 | 0 / 2 | | LQFP144 | -40~105 | 1.71~3.6 |
| MK22FN1M0AVMD12 | 120 | 1024 | 128 | 144 | 100 | FS OTG ^d | 1 | 8 | 1 | 6 | 3 | 1 | 2 | 5 / 42 | 0 / 2 | | MAPBGA144 | -40~105 | 1.71~3.6 |
| MKS20FN128VFT12 | 120 | 128 | 64 | 48 | 35 | FS OTG ^c | 1 | - | 1 | 4 | 2 | 2 | 1 | 0 / 13 | 1 / 0 | FlexIO | QFN48 | -40~105 | 1.71~3.6 |
| MKS20FN128VLH12 | 120 | 128 | 64 | 64 | 40 | FS OTG ^c | 1 | - | 2 | 4 | 2 | 1 | 1 | 4 / 16 | 1 / 1 | FlexIO | LQFP64 | -40~105 | 1.71~3.6 |
| MKS20FN128VLL12 | 120 | 128 | 64 | 100 | 66 | FS OTG ^c | 1 | - | 2 | 4 | 2 | 1 | 1 | 4 / 16 | 1 / 1 | FlexIO | LQFP100 | -40~105 | 1.71~3.6 |
| MKS20FN256VFT12 | 120 | 256 | 64 | 48 | 35 | FS OTG ^c | 1 | - | 1 | 4 | 2 | 2 | 1 | 0 / 13 | 1 / 0 | FlexIO | QFN48 | -40~105 | 1.71~3.6 |
| MKS20FN256VLH12 | 120 | 256 | 64 | 64 | 40 | FS OTG ^c | 1 | - | 2 | 4 | 2 | 1 | 1 | 4 / 16 | 1 / 1 | FlexIO | LQFP64 | -40~105 | 1.71~3.6 |
| MKS20FN256VLL12 | 120 | 256 | 64 | 100 | 66 | FS OTG ^c | 1 | - | 2 | 4 | 2 | 1 | 1 | 4 / 16 | 1 / 1 | FlexIO | LQFP100 | -40~105 | 1.71~3.6 |
| MKS22FN128VFT12 | 120 | 128 | 64 | 48 | 35 | FS OTG ^c | 2 | - | 1 | 4 | 2 | 2 | 1 | 0 / 13 | 1 / 0 | FlexIO | QFN48 | -40~105 | 1.71~3.6 |
| MKS22FN128VLH12 | 120 | 128 | 64 | 64 | 40 | FS OTG ^c | 2 | - | 2 | 4 | 2 | 1 | 1 | 4 / 16 | 1 / 1 | FlexIO | LQFP64 | -40~105 | 1.71~3.6 |
| MKS22FN128VLL12 | 120 | 128 | 64 | 100 | 66 | FS OTG ^c | 2 | - | 2 | 4 | 2 | 1 | 1 | 4 / 16 | 1 / 1 | FlexIO | LQFP100 | -40~105 | 1.71~3.6 |
| MKS22FN256VFT12 | 120 | 256 | 64 | 48 | 35 | FS OTG ^c | 2 | - | 1 | 4 | 2 | 2 | 1 | 0 / 13 | 1 / 0 | FlexIO | QFN48 | -40~105 | 1.71~3.6 |

所有产品工作温度范围为: -40~105 °C, 供电电压范围为: 1.71~3.6V

(4) 12位ADC速度 = 818ksps, 16位ADC速度 = 460~1200ksps

(1) 作为USB设备时可以不必使用外接晶振作为USB设备时可以不必使用外接晶振

(5) DP/SE: 差分输入端数/单端输入端数

(2) 内置5V转3.3V(120mA)的LDO

(6) MK82系列支持QSPI动态AES解密

(3) 内置HS PHY

| 产品型号 | 主频(MHz) | 闪存(KB) | RAM(KB) | E ² PROM(KB) | 引脚数目 | I/O数目 | USB | CAN | 以太网 | SDHC(位数) | I ² S | UART | I ² C | SPI | 16位ADC ⁴ | ADC ⁵ (DP/SE) | DAC(6位/12位) | 硬件加密模块 | 其他 | 封装 | 温度范围(°C) | 工作电压(V) |
|-----------------|---------|--------|---------|-------------------------|------|-------|--|-----|----------|----------|------------------|------|------------------|-----|---------------------|--------------------------|-------------|--------|--|-----------|----------|----------|
| MKS22FN256VLH12 | 120 | 256 | 64 | - | 64 | 40 | FS OTG ¹ | 2 | - | - | 2 | 4 | 2 | 1 | 1 | 4/16 | 1/1 | - | FlexIO | LQFP64 | -40~105 | 1.71~3.6 |
| MKS22FN256VLL12 | 120 | 256 | 64 | - | 100 | 66 | FS OTG ¹ | 2 | - | - | 2 | 4 | 2 | 1 | 1 | 4/16 | 1/1 | - | FlexIO | LQFP100 | -40~105 | 1.71~3.6 |
| MK24FN256VDC12 | 120 | 256 | 256 | - | 121 | 83 | FS OTG ^{1,2} | - | - | - | 1 | 6 | 3 | 1 | 2 | 4/37 | 0/1 | - | XFBGA121 | -40~105 | 1.71~3.6 | |
| MK24FN1M0VLL12 | 120 | 1024 | 256 | - | 100 | 66 | FS OTG ^{1,2} | 1 | - | 4 | 1 | 5 | 3 | 1 | 2 | 4/32 | 0/1 | ✓ | | LQFP100 | -40~105 | 1.71~3.6 |
| MK24FN1M0VDC12 | 120 | 1024 | 256 | - | 121 | 83 | FS OTG ^{1,2} | 1 | - | 8 | 1 | 6 | 3 | 1 | 2 | 4/37 | 0/2 | ✓ | | XFBGA121 | -40~105 | 1.71~3.6 |
| MK24FN1M0VLQ12 | 120 | 1024 | 256 | - | 144 | 100 | FS OTG ^{1,2} | 1 | - | 8 | 1 | 5 | 3 | 1 | 2 | 4/41 | 0/2 | ✓ | | LQFP144 | -40~105 | 1.71~3.6 |
| MK26FN2M0VLQ18 | 180 | 2048 | 256 | - | 144 | 100 | FS OTG ^{1,2} HS OTG ³ | 2 | - | 8 | 1 | 6 | 4 | 1 | 2 | 1/39 | 0/2 | ✓ | SDRAM 扩展 | LQFP144 | -40~105 | 1.71~3.6 |
| MK26FN2M0VMD18 | 180 | 2048 | 256 | - | 144 | 100 | | 2 | - | 8 | 1 | 6 | 4 | 1 | 2 | 1/39 | 0/2 | ✓ | | MAPBGA144 | -40~105 | 1.71~3.6 |
| MK26FN2M0VMI18 | 180 | 2048 | 256 | - | 169 | 116 | | 2 | - | 8 | 1 | 6 | 4 | 1 | 2 | 3/45 | 0/2 | ✓ | | MAPBGA169 | -40~105 | 1.71~3.6 |
| MK63FN1M0VLQ12 | 120 | 1024 | 256 | - | 144 | 100 | FS OTG ^{1,2} | 1 | MII/RMII | 8 | 1 | 6 | 3 | 1 | 2 | 4/41 | 0/2 | ✓ | | LQFP144 | -40~105 | 1.71~3.6 |
| MK63FN1M0VMD12 | 120 | 1024 | 256 | - | 144 | 95 | FS OTG ^{1,2} | 1 | MII/RMII | 8 | 1 | 6 | 3 | 1 | 2 | 4/41 | 0/2 | ✓ | | MAPBGA144 | -40~105 | 1.71~3.6 |
| MK64FX512VLL12 | 120 | 640 | 260 | 4 | 100 | 66 | FS OTG ^{1,2} | 1 | RMII | 4 | 1 | 5 | 3 | 1 | 2 | 4/32 | 0/1 | ✓ | | LQFP100 | -40~105 | 1.71~3.6 |
| MK64FX512VDC12 | 120 | 640 | 260 | 4 | 121 | 86 | FS OTG ^{1,2} | 1 | RMII | 8 | 1 | 6 | 3 | 1 | 2 | 4/37 | 0/2 | ✓ | | XFBGA121 | -40~105 | 1.71~3.6 |
| MK64FX512VLQ12 | 120 | 640 | 260 | 4 | 144 | 100 | FS OTG ^{1,2} | 1 | MII/RMII | 8 | 1 | 6 | 3 | 1 | 2 | 4/41 | 0/2 | ✓ | | LQFP144 | -40~105 | 1.71~3.6 |
| MK64FX512VMD12 | 120 | 640 | 260 | 4 | 144 | 100 | FS OTG ^{1,2} | 1 | MII/RMII | 8 | 1 | 6 | 3 | 1 | 2 | 4/41 | 0/2 | ✓ | | MAPBGA144 | -40~105 | 1.71~3.6 |
| MK64FN1M0VLL12 | 120 | 1024 | 256 | - | 100 | 66 | FS OTG ^{1,2} | 1 | RMII | 4 | 1 | 5 | 3 | 1 | 2 | 4/32 | 0/1 | ✓ | | LQFP100 | -40~105 | 1.71~3.6 |
| MK64FN1M0VDC12 | 120 | 1024 | 256 | - | 121 | 83 | FS OTG ^{1,2} | 1 | RMII | 8 | 1 | 6 | 3 | 1 | 2 | 4/37 | 0/2 | ✓ | | XFBGA121 | -40~105 | 1.71~3.6 |
| MK64FN1M0VLQ12 | 120 | 1024 | 256 | - | 144 | 100 | FS OTG ^{1,2} | 1 | MII/RMII | 8 | 1 | 6 | 3 | 1 | 2 | 4/41 | 0/2 | ✓ | | LQFP144 | -40~105 | 1.71~3.6 |
| MK64FN1M0VMD12 | 120 | 1024 | 256 | - | 144 | 100 | FS OTG ^{1,2} | 1 | MII/RMII | 8 | 1 | 6 | 3 | 1 | 2 | 4/41 | 0/2 | ✓ | | MAPBGA144 | -40~105 | 1.71~3.6 |
| MK65FX1M0VMI18 | 180 | 1280 | 260 | 4 | 169 | 116 | FS OTG ^{1,2} | 2 | MII/RMII | 8 | 1 | 6 | 4 | 1 | 2 | 3/45 | 0/2 | ✓ | SDRAM 扩展 | MAPBGA169 | -40~105 | 1.71~3.6 |
| MK65FN2M0VMI18 | 180 | 2048 | 256 | - | 169 | 116 | HS OTG ³ | 2 | MII/RMII | 8 | 1 | 6 | 4 | 1 | 2 | 3/45 | 0/2 | ✓ | | MAPBGA169 | -40~105 | 1.71~3.6 |
| MK66FX1M0VLQ18 | 180 | 1280 | 260 | 4 | 144 | 100 | FS OTG ^{1,2} | 2 | MII/RMII | 8 | 1 | 6 | 4 | 1 | 2 | 1/39 | 0/2 | ✓ | | LQFP144 | -40~105 | 1.71~3.6 |
| MK66FX1M0VMD18 | 180 | 1280 | 260 | 4 | 144 | 100 | HS OTG ³ | 2 | MII/RMII | 8 | 1 | 6 | 4 | 1 | 2 | 1/39 | 0/2 | ✓ | | MAPBGA144 | -40~105 | 1.71~3.6 |
| MK66FN2M0VLQ18 | 180 | 2048 | 256 | - | 144 | 100 | FS OTG ^{1,2} | 2 | MII/RMII | 8 | 1 | 6 | 4 | 1 | 2 | 1/39 | 0/2 | ✓ | | LQFP144 | -40~105 | 1.71~3.6 |
| MK66FN2M0VMD18 | 180 | 2048 | 256 | - | 144 | 100 | HS OTG ³ | 2 | MII/RMII | 8 | 1 | 6 | 4 | 1 | 2 | 1/39 | 0/2 | ✓ | | MAPBGA144 | -40~105 | 1.71~3.6 |
| MK80FN256VLL15 | 150 | 256 | 256 | - | 100 | 66 | FS OTG ^{1,2} | - | - | 4 | 1 | 5 | 4 | 3 | 1 | 1/14 | 2/1 | ✓ | FlexIO, QSPI ¹⁶ , SDRAM 扩展 | LQFP100 | -40~105 | 1.71~3.6 |
| MK80FN256VDC15 | 150 | 256 | 256 | - | 121 | 87 | FS OTG ^{1,2} | - | - | 8 | 1 | 5 | 4 | 3 | 1 | 3/18 | 2/1 | ✓ | | XFBGA121 | -40~105 | 1.71~3.6 |
| MK82FN256VLL15 | 150 | 256 | 256 | - | 100 | 66 | FS OTG ^{1,2} | - | - | 4 | 1 | 5 | 4 | 3 | 1 | 1/14 | 2/1 | ✓ | | LQFP100 | -40~105 | 1.71~3.6 |
| MK82FN256VDC15 | 150 | 256 | 256 | - | 121 | 87 | FS OTG ^{1,2} | - | - | 8 | 1 | 5 | 4 | 3 | 1 | 3/18 | 2/1 | ✓ | | XFBGA121 | -40~105 | 1.71~3.6 |

所有产品工作温度范围为: -40~105 °C, 供电电压范围为: 1.71~3.6V

(4) 12位ADC速度 = 818ksps, 16位ADC速度 = 460~1200ksps

(1) 作为USB设备时可以不必使用外接晶振作为USB设备时可以不必使用外接晶振

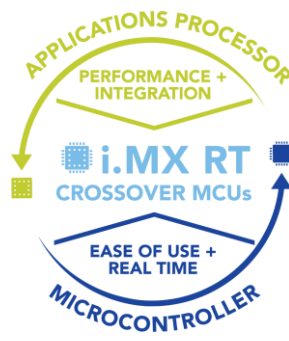
(5) DP/SE: 差分输入端数/单端输入端数

(2) 内置5V转3.3V(120mA)的LDO

(6) MK82系列支持QSPI动态AES解密

(3) 内置HS PHY

恩智浦基于Arm® Cortex®-M7的跨界微控制器 – i.MX RT系列



i.MX RT系列是业界首款跨界处理器，基于Arm® Cortex®-M7内核，具有超高性能，同时又能够有效的控制开发成本。

运行更快，响应更快

- Arm® Cortex®-M7内核，主频达1GHz
- 极快的实时响应
- 极低动态功耗，集成DC-DC转换器

打造先进多媒体

- 2D图形加速引擎
- 显示屏和摄像头接口，高性能音频

连接和保护

- 高可靠性引导(HAB)，带实时QSPI闪存解密
- 128位AES加密和真随机数生成器
- 面向Wi-Fi®、Bluetooth®、BLE、ZigBee®和Thread™的接口

节省时间和金钱

- MCUXpresso、IAR、Keil开发环境，低成本评估套件
- FreeRTOS、SDK、Arm® mbed™及遍布全球的Arm生态体系

| 系列 | CPU | 封装 | 闪存 | RAM | 2D 加速 | 显示屏接口 | 摄像头接口 | USB | 音频 | 以太网 | CAN |
|-------------|--------------------------|-------------------------------|------|--------|---------------|-------------------------|-------------------------|-----|------------------------------------|----------------------|-----------------------|
| i.MX RT1170 | M7@1GHz M4@400MHz | 289 BGA | | 2 MB | 2D GPU PxP | 8/16/24位并行, MIPI-DSI | 8/10/16位并行, MIPI-CSI | 2 | 4xI ² S, SPDIF, DMIC | 2x Gbps, 1x10/100 | 3xCANFD |
| i.MX RT1064 | M7@600MHz | 196 BGA | 4 MB | 1 MB | PxP | 8/16/24位 并行 | 8/10/16位 并行 | 2 | 3xI ² S, SPIDIF | 2x10/100 | 2xFlexCAN, 1xCANFD |
| i.MX RT1060 | M7@600MHz | 196 BGA | | 1 MB | PxP | 8/16/24位 并行 | 8/10/16位 并行 | 2 | 3xI ² S, SPIDIF | 2x10/100 | 2xFlexCAN, 1xCANFD |
| i.MX RT1050 | M7@600MHz | 196 BGA | | 512 KB | PxP | 8/16/24位 并行 | 8/10/16位 并行 | 2 | 3xI ² S, SPIDIF | 1x10/100 | 2xFlexCAN |
| i.MX RT1024 | M7@500MHz | 100 LQFP 144 LQFP | 4 MB | 256 KB | | | | 1 | 3xI ² S, SPIDIF | 1x10/100 | 2xFlexCAN |
| i.MX RT1020 | M7@500MHz | 100 LQFP 144 LQFP | | 256 KB | | | | 1 | 3xI ² S, SPIDIF | 1x10/100 | 2xFlexCAN |
| i.MX RT1015 | M7@500MHz | 100 LQFP | | 128 KB | | | | 1 | 3xI ² S, SPIDIF | | |
| i.MX RT1010 | M7@500MHz | 80 LQFP | | 128 KB | | | | 1 | 2xI ² S, SPIDIF | | |
| i.MX RT600 | M33@300MHz DSP@600MHz | 176 BGA, 114 CSP 249 FOWLP | | 4.5 MB | | | | 1 | DMIC | | |
| i.MX RT500 | M33@200MHz DSP@200MHz | 249 FOWLP | | 5 MB | 2D GPU | 8/16/24位并行, MIPI-DSI | 8/10/16位 并行 | 1 | DMIC | | |

i.MX RT1170系列：强大的1GHz主频MCU

i.MX RT1170结合卓越的计算能力、多种媒体功能及实时功能。基于主频达1GHz的Arm® Cortex®-M7内核和主频达400MHz的Arm® Cortex®- M4，同时提供一流的安全保障。i.MX RT1170适用于消费电子、工业和汽车市场。

i.MX RT10xx系列：高性能跨界微控制器

i.MX RT10xx基于Arm® Cortex®-M7内核，运行频率为500/600MHz，是业界首个跨界MCU系列，兼具应用处理器的高性能与高度集成，以及微控制器的易用性和实时功能。

目标应用 (i.MX RT系列应用广泛，此处仅列部分)

- | | | | |
|------------|------------|-------------|-------------|
| ➤ 可穿戴设备 | ➤ 手持智能设备 | ➤ 电机控制 | ➤ 家庭和楼宇自动化 |
| ➤ 家电面板 | ➤ 家用/工业机器人 | ➤ 健康与保健监测 | ➤ 车队管理和资产追踪 |
| ➤ 智能语音交互设备 | ➤ 工业控制面板 | ➤ 智能传感和运动追踪 | ➤ 游戏配件 |

i.MX RT600系列：面向智能家居，音频系统

i.MX RT600结合高性能Cadence® Tensilica® Hi-Fi 4音频DSP内核与新一代Arm® Cortex® -M33内核，适合沉浸式音频播放、视频用户界面、语音识别、智能安防等物联网应用。i.MX RT600跨界MCU旨在通过安全、功率优化的嵌入式处理器充分挖掘语音辅助终端节点的潜力。

i.MX RT500系列：面向物联网，可穿戴设备

i.MX RT500系列集成GPU、Cadence® Tensilica® Fusion F1 DSP内核与Arm® Cortex® -M33内核，为低功耗HMI应用进行了优化，旨在通过安全、功率优化的嵌入式处理器充分挖掘基于屏幕显示应用的潜力。

| 产品型号 | 主频 (MHz) | I-cache/D-cache (KB) | 闪存 (KB) | RAM (KB) | 引脚数目 | I/O数目 | FlexIO ¹ | FlexSPI | uSDHC | USB ² | CANFD | 以太网 | 摄像头接口 | 图形LCD接口 | I2S/SAI | UART/I2C/SPI | 12位ADC 4.2Msps | 12位DAC | 封装 | 工作结温 (°C) | 工作电压 (V) |
|-----------------|-------------------------|----------------------|---------|----------|------|-------|---------------------|---------|-------|------------------|-------|------------------|-------|---------|---------|--------------|----------------|--------|---------------------|-----------|--------------------|
| MIMXRT1171AVM8A | 800 | 32/32 | - | 2048 | 289 | 174 | 2 | 2 | 2 | 2xHS OTG | 3 | AVB, 10/100 | - | - | 4 | 12/6/6 | 2 | 1 | MAPBGA ³ | -40~125 | 1.65~1.95, 3.0~3.6 |
| MIMXRT1171CVM8A | 800 | 32/32 | - | 2048 | 289 | 174 | 2 | 2 | 2 | 2xHS OTG | 3 | AVB, 10/100 | - | - | 4 | 12/6/6 | 2 | 1 | MAPBGA ³ | -40~125 | 1.65~1.95, 3.0~3.6 |
| MIMXRT1171DVMAA | 1000 | 32/32 | - | 2048 | 289 | 174 | 2 | 2 | 2 | 2xHS OTG | 3 | AVB, 10/100 | - | - | 4 | 12/6/6 | 2 | 1 | MAPBGA ³ | 0~95 | 1.65~1.95, 3.0~3.6 |
| MIMXRT1172AVM8A | 800 | 32/32 | - | 2048 | 289 | 174 | 2 | 2 | 2 | 2xHS OTG | 3 | AVB, 10/100 | 1 | 2 | 4 | 12/6/6 | 2 | 1 | MAPBGA ³ | -40~125 | 1.65~1.95, 3.0~3.6 |
| MIMXRT1172CVM8A | 800 | 32/32 | - | 2048 | 289 | 174 | 2 | 2 | 2 | 2xHS OTG | 3 | AVB, 10/100 | 1 | 2 | 4 | 12/6/6 | 2 | 1 | MAPBGA ³ | -40~105 | 1.65~1.95, 3.0~3.6 |
| MIMXRT1172DVMAA | 1000 | 32/32 | - | 2048 | 289 | 174 | 2 | 2 | 2 | 2xHS OTG | 3 | AVB, 10/100 | 1 | 2 | 4 | 12/6/6 | 2 | 1 | MAPBGA ³ | 0~95 | 1.65~1.95, 3.0~3.6 |
| MIMXRT1173CVM8A | 800 / 240 ¹⁰ | 32/32 ⁴ | - | 2048 | 289 | 174 | 2 | 2 | 2 | 2xHS OTG | 3 | AVB, 10/100 | 1 | 2 | 4 | 12/6/6 | 2 | 1 | MAPBGA ³ | -40~105 | 1.65~1.95, 3.0~3.6 |
| MIMXRT1175AVM8A | 800 / 240 ¹⁰ | 32/32 ⁴ | - | 2048 | 289 | 174 | 2 | 2 | 2 | 2xHS OTG | 3 | AVB, 10/100 | - | - | 4 | 12/6/6 | 2 | 1 | MAPBGA ³ | -40~125 | 1.65~1.95, 3.0~3.6 |
| MIMXRT1175CVM8A | 800 / 240 ¹⁰ | 32/32 ⁴ | - | 2048 | 289 | 174 | 2 | 2 | 2 | 2xHS OTG | 3 | AVB, 10/100 | - | - | 4 | 12/6/6 | 2 | 1 | MAPBGA ³ | -40~105 | 1.65~1.95, 3.0~3.6 |
| MIMXRT1175DVMAA | 800 / 240 ¹⁰ | 32/32 ⁴ | - | 2048 | 289 | 174 | 2 | 2 | 2 | 2xHS OTG | 3 | AVB, 10/100 | - | - | 4 | 12/6/6 | 2 | 1 | MAPBGA ³ | 0~95 | 1.65~1.95, 3.0~3.6 |
| MIMXRT1176AVM8A | 800 / 240 ¹⁰ | 32/32 ⁴ | - | 2048 | 289 | 174 | 2 | 2 | 2 | 2xHS OTG | 3 | TSN, AVB, 10/100 | 1 | 2 | 4 | 12/6/6 | 2 | 1 | MAPBGA ³ | -40~125 | 1.65~1.95, 3.0~3.6 |
| MIMXRT1176CVM8A | 800 / 240 ¹⁰ | 32/32 ⁴ | - | 2048 | 289 | 174 | 2 | 2 | 2 | 2xHS OTG | 3 | TSN, AVB, 10/100 | 1 | 2 | 4 | 12/6/6 | 2 | 1 | MAPBGA ³ | -40~105 | 1.65~1.95, 3.0~3.6 |
| MIMXRT1176DVMAA | 800 / 240 ¹⁰ | 32/32 ⁴ | - | 2048 | 289 | 174 | 2 | 2 | 2 | 2xHS OTG | 3 | TSN, AVB, 10/100 | 1 | 2 | 4 | 12/6/6 | 2 | 1 | MAPBGA ³ | 0~95 | 1.65~1.95, 3.0~3.6 |

| 产品型号 | 主频(MHz) | I-cache/D-cache (KB) | 闪存(KB) | RAM (KB) | 引脚数目 | I/O数目 | FlexIO ¹ | FlexSPI | uSDHC | USB ² | CAN | 以太网 | 摄像头接口 | 图形LCD接口 | I2S/SAI | UART/I2C/SPI | ADC | ADC位数/速度(bits/Msp) | 封装 | 工作结温(℃) | 工作电压(V) |
|-----------------|----------------------|------------------------|--------|----------|------|------------------|---------------------|---------|-------|-------------------|----------------|-----------|-------|---------|-----------------|-----------------|-----|--------------------|---------------------|---------|-----------------------|
| MIMXRT533SFFOB | 200/200 ³ | 2x 32KB (QSPI) | - | 3072 | 249 | 136 | 1 | 2 | 2 | 1x HS Host/Device | - | - | 1 | 1 | 12 ⁹ | 12 ⁹ | 1 | 12/1 | FOWLP | -20~70 | 0.7~1.155V, 1.71~3.6V |
| MIMXRT555SFFOB | 200/200 ³ | 2x 32KB (QSPI) | - | 5120 | 249 | 136 | 1 | 2 | 2 | 1x HS Host/Device | - | - | 1 | 1 | 12 ⁹ | 12 ⁹ | 1 | 12/1 | FOWLP | -20~70 | 0.7~1.155V, 1.71~3.6V |
| MIMXRT595SFFOB | 200/200 ³ | 2x 32KB (QSPI) | - | 5120 | 249 | 136 | 1 | 2 | 2 | 1x HS Host/Device | - | - | 1 | 1 | 12 ⁹ | 12 ⁹ | 1 | 12/1 | FOWLP | -20~70 | 0.7~1.155V, 1.71~3.6V |
| MIMXRT685FAWBR | 200/200 ³ | 32KB (QSPI)/96KB (DSP) | - | 3072 | 114 | 65 | - | 1 | - | 1x HS Host/Device | - | - | - | - | 7 ⁹ | 7 ⁹ | 1 | 12/1 | WLCS | -20~70 | 1.71~3.6 |
| MIMXRT685SFFOB | 200/200 ³ | 32KB (QSPI)/96KB (DSP) | - | 5120 | 249 | 147 | - | 1 | 2 | 1x HS Host/Device | - | - | - | - | 8 ⁹ | 8 ⁹ | 1 | 12/1 | FOWLP | -20~70 | 1.71~3.6 |
| MIMXRT685VFVKB | 200/200 ³ | 32KB (QSPI)/96KB (DSP) | - | 5120 | 176 | 96 | - | 1 | 2 | 1x HS Host/Device | - | - | - | - | 6 ⁹ | 6 ⁹ | 1 | 12/1 | VFBGA | -20~70 | 1.71~3.6 |
| MIMXRT1011CAE4A | 400 | 16/8 | - | 128 | 80 | 44 | 1 | 1 | - | 1xHS OTG | - | - | - | - | 2 | 4/2/2 | 1 | 12/1.4 | LQFP | -40~105 | 3.0~3.6 |
| MIMXRT1011DAE5A | 500 | 16/8 | - | 128 | 80 | 44 | 1 | 1 | - | 1xHS OTG | - | - | - | - | 2 | 4/2/2 | 1 | 12/1.4 | LQFP | 0~95 | 3.0~3.6 |
| MIMXRT1015CAF4A | 400 | 16/16 | - | 128 | 100 | 57 | 1 | 1 | - | 1xHS OTG | - | - | - | - | 2 | 4/2/2 | 1 | 12/1.4 | LQFP | -40~105 | 3.0~3.6 |
| MIMXRT1015DAF5A | 500 | 16/16 | - | 128 | 100 | 57 | 1 | 1 | - | 1xHS OTG | - | - | - | - | 3 | 4/2/2 | 1 | 12/1.4 | LQFP | 0~95 | 3.0~3.6 |
| MIMXRT1021CAF4A | 400 | 16/16 | - | 256 | 100 | 57 | 1 | 1 | 1 | 1xHS OTG | 2 | 1x 10/100 | - | - | 3 | 8/4/4 | 2 | 12/1.4 | LQFP | -40~105 | 3.0~3.6 |
| MIMXRT1021CAG4A | 400 | 16/16 | - | 256 | 144 | 96 | 1 | 1 | 2 | 1xHS OTG | 2 | 1x 10/100 | - | - | 3 | 8/4/4 | 2 | 12/1.4 | LQFP | -40~105 | 3.0~3.6 |
| MIMXRT1021DAF5A | 500 | 16/16 | - | 256 | 100 | 57 | 1 | 1 | 1 | 1xHS OTG | 2 | 1x 10/100 | - | - | 3 | 8/4/4 | 2 | 12/1.4 | LQFP | 0~95 | 3.0~3.6 |
| MIMXRT1021DAG5A | 500 | 16/16 | - | 256 | 144 | 96 | 1 | 1 | 2 | 1xHS OTG | 2 | 1x 10/100 | - | - | 3 | 8/4/4 | 2 | 12/1.4 | LQFP | 0~95 | 3.0~3.6 |
| MIMXRT1024CAG4A | 400 | 16/16 | 4096 | 256 | 144 | 90 | 1 | 1 | 2 | 1xHS OTG | 2 | 1x 10/100 | - | - | 3 | 8/4/4 | 2 | 12/1.4 | LQFP | -40~105 | 3.0~3.6 |
| MIMXRT1024DAG5A | 500 | 16/16 | 4096 | 256 | 144 | 90 | 1 | 1 | 2 | 1xHS OTG | 2 | 1x 10/100 | - | - | 3 | 8/4/4 | 2 | 12/1.4 | LQFP | 0~95 | 3.0~3.6 |
| MIMXRT1051CVJ5B | 528 | 32/32 | - | 512 | 196 | 127 | 2 | 1 | 2 | 2xHS OTG | 2 | 1x 10/100 | - | - | 3 | 8/4/4 | 2 | 12/1.4 | MAPBGA ³ | -40~105 | 3.0~3.6 |
| MIMXRT1051CVL5B | 528 | 32/32 | - | 512 | 196 | 127 | 2 | 1 | 2 | 2xHS OTG | 2 | 1x 10/100 | - | - | 3 | 8/4/4 | 2 | 12/1.4 | MAPBGA ³ | -40~105 | 3.0~3.6 |
| MIMXRT1051DVJ6B | 600 | 32/32 | - | 512 | 196 | 127 | 2 | 1 | 2 | 2xHS OTG | 2 | 1x 10/100 | - | - | 3 | 8/4/4 | 2 | 12/1.4 | MAPBGA ³ | 0~95 | 3.0~3.6 |
| MIMXRT1051DVL6B | 600 | 32/32 | - | 512 | 196 | 127 | 2 | 1 | 2 | 2xHS OTG | 2 | 1x 10/100 | - | - | 3 | 8/4/4 | 2 | 12/1.4 | MAPBGA ³ | 0~95 | 3.0~3.6 |
| MIMXRT1052CVJ5B | 528 | 32/32 | - | 512 | 196 | 127 | 2 | 1 | 2 | 2xHS OTG | 2 | 1x 10/100 | 1 | 1 | 3 | 8/4/4 | 2 | 12/1.4 | MAPBGA ³ | -40~105 | 3.0~3.6 |
| MIMXRT1052CVL5B | 528 | 32/32 | - | 512 | 196 | 127 | 2 | 1 | 2 | 2xHS OTG | 2 | 1x 10/100 | 1 | 1 | 3 | 8/4/4 | 2 | 12/1.4 | MAPBGA ³ | -40~105 | 3.0~3.6 |
| MIMXRT1052DVJ6B | 600 | 32/32 | - | 512 | 196 | 127 | 2 | 1 | 2 | 2xHS OTG | 2 | 1x 10/100 | 1 | 1 | 3 | 8/4/4 | 2 | 12/1.4 | MAPBGA ³ | 0~95 | 3.0~3.6 |
| MIMXRT1052DVL6B | 600 | 32/32 | - | 512 | 196 | 127 | 2 | 1 | 2 | 2xHS OTG | 2 | 1x 10/100 | 1 | 1 | 3 | 8/4/4 | 2 | 12/1.4 | MAPBGA ³ | 0~95 | 3.0~3.6 |
| MIMXRT1061CVJ5B | 528 | 32/32 | - | 1024 | 196 | 127 ⁵ | 3 ⁶ | 2 | 2 | 2xHS OTG | 3 ⁷ | 2x 10/100 | - | - | 3 | 8/4/4 | 2 | 12/1.4 | MAPBGA ³ | -40~105 | 3.0~3.6 |
| MIMXRT1061CVL5B | 528 | 32/32 | - | 1024 | 196 | 127 ⁵ | 3 ⁶ | 2 | 2 | 2xHS OTG | 3 ⁷ | 2x 10/100 | - | - | 3 | 8/4/4 | 2 | 12/1.4 | MAPBGA ³ | -40~105 | 3.0~3.6 |
| MIMXRT1061DVJ6B | 600 | 32/32 | - | 1024 | 196 | 127 ⁵ | 3 ⁶ | 2 | 2 | 2xHS OTG | 3 ⁷ | 2x 10/100 | 1 | 1 | 3 | 8/4/4 | 2 | 12/1.4 | MAPBGA ³ | 0~95 | 3.0~3.6 |
| MIMXRT1061DVL6B | 600 | 32/32 | - | 1024 | 196 | 127 ⁵ | 3 ⁶ | 2 | 2 | 2xHS OTG | 3 ⁷ | 2x 10/100 | 1 | 1 | 3 | 8/4/4 | 2 | 12/1.4 | MAPBGA ³ | 0~95 | 3.0~3.6 |
| MIMXRT1061CVJ5B | 528 | 32/32 | 4096 | 1024 | 196 | 127 ⁵ | 3 ⁶ | 1 | 2 | 2xHS OTG | 3 ⁷ | 2x 10/100 | 1 | 1 | 3 | 8/4/4 | 2 | 12/1.4 | MAPBGA ³ | -40~105 | 3.0~3.6 |
| MIMXRT1064CVL5B | 528 | 32/32 | 4096 | 1024 | 196 | 127 ⁵ | 3 ⁶ | 1 | 2 | 2xHS OTG | 3 ⁷ | 2x 10/100 | 1 | 1 | 3 | 8/4/4 | 2 | 12/1.4 | MAPBGA ³ | -40~105 | 3.0~3.6 |
| MIMXRT1064DVJ6B | 600 | 32/32 | 4096 | 1024 | 196 | 127 ⁵ | 3 ⁶ | 1 | 2 | 2xHS OTG | 3 ⁷ | 2x 10/100 | 1 | 1 | 3 | 8/4/4 | 2 | 12/1.4 | MAPBGA ³ | 0~85 | 3.0~3.6 |
| MIMXRT1064DVL6A | 600 | 32/32 | 4096 | 1024 | 196 | 127 ⁵ | 3 ⁶ | 1 | 2 | 2xHS OTG | 3 ⁷ | 2x 10/100 | 1 | 1 | 3 | 8/4/4 | 2 | 12/1.4 | MAPBGA ³ | 0~85 | 3.0~3.6 |

(1) FlexIO 可以模拟8080 LCD接口和通用通讯接口

(2) 内置HS PHY

(3) 0.8mm pitch

(4) 0.65mm pitch

(5) 其中124个可支持高速GPIOs，工作频率与内核频率相同

(6) 其中FlexIO3工作在内核时钟频率，可支持高速操作

(7) 其中一个一个是CAN-FD

(8) M7内核/DSP协处理器器

(9) Flexcomm

(10) M7内核/M4内核

恩智浦基于Arm® Cortex®-M33的微控制器 – LPC5500系列

LPC5500系列MCU基于Arm®最新的Cortex®-M33内核，采用40nm工艺打造。全新的产品架构提高了集成度；大幅改进了功耗。同时也提供更强的安全性能，包括SRAM PUF，Arm TrustZone-M等。目前LPC5500系列已拥有数个可扩展的家族，提供可选的协处理器，安全功能，封装和内存。LPC5500全系列支持通过MCUXpresso软件和工具进行开发设计，并提供低成本开发板。

可接入的安全性—通过基于SRAM PUF的信任和配置根实时加解密，并通过TrustZone-M保护资产。

实现性能效率新突破—提供集成电源管理IC (DC-DC)和专用协处理器，用于信号处理和加密加速。

全面的产品与可扩展性—该系列包含多个家族，提供广泛的可扩展封装和内存选项，具有强大的支持。



LPC55S6x系列

作为LPC5500系列首款产品，也是全球首款基于Cortex-M33的通用微控制器，LPC55S6x采用Armv8-M架构，搭载TrustZone-M技术。利用PowerQuad加速器，LPC55S6x大幅提高了信号处理效率，使计算的时钟周期减少10倍。先进的安全功能配合实时加解密引擎保障了应用的安全，双Cortex-M33内核设计支持灵活地平衡高性能与功率效率。

LPC551x/S1x系列

LPC551x/S1x MCU是LPC5500系列中首款支持CAN-FD/CAN 2.0接口协议的通用微控制器，同样提供可选的安全功能。与此同时，LPC551x/S1x还集成了16位ADC，速度可达2MSPS。

目标应用

- 安全应用
- 工业控制
- 物联网
- 智能家居
- 楼宇控制/自动化
- 消费电子
- 诊断设备

LPC552x/S2x系列

LPC552x/S2x MCU基于Cortex-M33内核，主频达150MHz，并提供可选的安全功能，用户可以根据实际应用来选择是否采用带安全功能的产品。高速USB和丰富的可配置Flexcomm接口为物联网与工业的广泛应用提供了更多的可能。

LPC550x/S0x系列

LPC550x/S0x MCU是一款经济可靠的通用微控制器。基于Cortex-M33内核，支持CAN-FD/CAN 2.0。提供HVQFN超小封装，能够将高能效比集成到更小的设计中。

| 系列 | CPU | 安全功能 | 通信接口 | 协处理器 | 封装 |
|-------------|--------------------------|------|---|--------|----------------------------|
| LPC55S6x | M33@150MHz M33@150MHz | 有 | HS/FS USB, HS SPI, FlexComm | DSP加速器 | HLQFP100, VFBGA98, HTQFP64 |
| LPC552x/S2x | M33@150MHz | 可选 | HS/FS USB, HS SPI, FlexComm | | HLQFP100, VFBGA98, HTQFP64 |
| LPC551x/S1x | M33@150MHz | 可选 | HS/FS USB, CAN-FD/2.0, HS SPI, FlexComm | | HLQFP100, VFBGA98, HTQFP64 |
| LPC550x/S0x | M33@96MHz | 可选 | CAN-FD/2.0, HS SPI, FlexComm | | HTQFP64, HVQFN48 |

| 产品型号 | DSP加速器 | 主频(MHz) | 闪存(KB) | RAM(KB) | 引脚数目 | I/O数目 | USB | CAN | I ² S/UART/I ² C/SPI (配置Flexcomm实现) | | ADC通道 | ADC位数/速度(bits/MspS) | 封装 | 最高工作温度(°C) | 工作电压(V) |
|---------------|--------|---------|--------|---------|------|-------|---------|---------|--|------------|----------|---------------------|---------|------------|---------|
| | | | | | | | | | 配置 | Flexcomm实现 | | | | | |
| LPC5502JBD64E | | 96 | 64 | 48 | 64 | 45 | - | CAN 2.0 | 8 | 10 | 16 / 2.0 | HTQFP | 105 ° C | 1.8 ~ 3.6 | |
| LPC5502JHI48E | | 96 | 64 | 48 | 48 | 30 | - | CAN 2.0 | 7 | 10 | 16 / 2.0 | HVQFN | 105 ° C | 1.8 ~ 3.6 | |
| LPC5504JBD64E | | 96 | 128 | 80 | 64 | 45 | - | CAN 2.0 | 8 | 10 | 16 / 2.0 | HTQFP | 105 ° C | 1.8 ~ 3.6 | |
| LPC5504JHI48E | | 96 | 128 | 80 | 48 | 30 | - | CAN 2.0 | 7 | 10 | 16 / 2.0 | HVQFN | 105 ° C | 1.8 ~ 3.6 | |
| LPC5506JBD64E | | 96 | 256 | 96 | 64 | 45 | - | CAN 2.0 | 8 | 10 | 16 / 2.0 | HTQFP | 105 ° C | 1.8 ~ 3.6 | |
| LPC5506JHI48E | | 96 | 256 | 96 | 48 | 30 | - | CAN 2.0 | 7 | 10 | 16 / 2.0 | HVQFN | 105 ° C | 1.8 ~ 3.6 | |
| LPC5509JBD64E | | 96 | 128 | 80 | 64 | 45 | - | CAN FD | 8 | 10 | 16 / 2.0 | HTQFP | 105 ° C | 1.8 ~ 3.6 | |
| LPC5509JHI48E | | 96 | 128 | 80 | 48 | 30 | - | CAN FD | 7 | 10 | 16 / 2.0 | HVQFN | 105 ° C | 1.8 ~ 3.6 | |
| LPC5509JBD64E | | 96 | 256 | 96 | 64 | 45 | - | CAN FD | 8 | 10 | 16 / 2.0 | HTQFP | 105 ° C | 1.8 ~ 3.6 | |
| LPC5509JHI48E | | 96 | 256 | 96 | 48 | 30 | - | CAN FD | 7 | 10 | 16 / 2.0 | HVQFN | 105 ° C | 1.8 ~ 3.6 | |
| LPC5512JBD100 | | 150 | 64 | 48 | 100 | 64 | FS | CAN 2.0 | 8 | 10 | 16 / 2.0 | HLQFP | 105 ° C | 1.8 ~ 3.6 | |
| LPC5512JBD64 | | 150 | 64 | 48 | 64 | 36 | FS | CAN 2.0 | 8 | 10 | 16 / 2.0 | HTQFP | 105 ° C | 1.8 ~ 3.6 | |
| LPC5514JBD100 | | 150 | 128 | 80 | 100 | 64 | FS + HS | CAN FD | 8 | 10 | 16 / 2.0 | HLQFP | 105 ° C | 1.8 ~ 3.6 | |
| LPC5514JBD64 | | 150 | 128 | 80 | 64 | 36 | FS + HS | CAN FD | 8 | 10 | 16 / 2.0 | HTQFP | 105 ° C | 1.8 ~ 3.6 | |
| LPC5516JBD100 | | 150 | 256 | 96 | 100 | 64 | FS + HS | CAN FD | 8 | 10 | 16 / 2.0 | HLQFP | 105 ° C | 1.8 ~ 3.6 | |
| LPC5516JBD64 | | 150 | 256 | 96 | 64 | 36 | FS + HS | CAN FD | 8 | 10 | 16 / 2.0 | HTQFP | 105 ° C | 1.8 ~ 3.6 | |
| LPC5516JEV98 | | 150 | 256 | 96 | 98 | 64 | FS + HS | CAN FD | 8 | 10 | 16 / 2.0 | VFBGA | 105 ° C | 1.8 ~ 3.6 | |
| LPC5514JBD100 | | 150 | 128 | 80 | 100 | 64 | FS + HS | - | 8 | 10 | 16 / 2.0 | HLQFP | 105 ° C | 1.8 ~ 3.6 | |
| LPC5514JBD64 | | 150 | 128 | 80 | 64 | 36 | FS + HS | - | 8 | 10 | 16 / 2.0 | HTQFP | 105 ° C | 1.8 ~ 3.6 | |
| LPC5516JBD100 | | 150 | 256 | 96 | 100 | 64 | FS + HS | - | 8 | 10 | 16 / 2.0 | HLQFP | 105 ° C | 1.8 ~ 3.6 | |
| LPC5516JBD64 | | 150 | 256 | 96 | 64 | 36 | FS + HS | - | 8 | 10 | 16 / 2.0 | HTQFP | 105 ° C | 1.8 ~ 3.6 | |
| LPC5516JEV98 | | 150 | 256 | 96 | 98 | 64 | FS + HS | - | 8 | 10 | 16 / 2.0 | VFBGA | 105 ° C | 1.8 ~ 3.6 | |
| LPC5526JBD100 | | 150 | 256 | 144 | 100 | 64 | FS + HS | - | 8 | 10 | 16 / 1.0 | HLQFP | 105 ° C | 1.8 ~ 3.6 | |
| LPC5526JBD64 | | 150 | 256 | 144 | 64 | 36 | FS + HS | - | 8 | 10 | 16 / 1.0 | HTQFP | 105 ° C | 1.8 ~ 3.6 | |
| LPC5526JEV98 | | 150 | 256 | 144 | 98 | 64 | FS + HS | - | 8 | 10 | 16 / 1.0 | VFBGA | 105 ° C | 1.8 ~ 3.6 | |
| LPC5528JBD100 | | 150 | 512 | 256 | 100 | 64 | FS + HS | - | 8 | 10 | 16 / 1.0 | HLQFP | 105 ° C | 1.8 ~ 3.6 | |
| LPC5528JBD64 | | 150 | 512 | 256 | 64 | 36 | FS + HS | - | 8 | 10 | 16 / 1.0 | HTQFP | 105 ° C | 1.8 ~ 3.6 | |
| LPC5528JEV98 | | 150 | 512 | 256 | 98 | 64 | FS + HS | - | 8 | 10 | 16 / 1.0 | VFBGA | 105 ° C | 1.8 ~ 3.6 | |
| LPC5526JBD100 | | 150 | 256 | 144 | 100 | 64 | FS + HS | - | 8 | 10 | 16 / 1.0 | HLQFP | 105 ° C | 1.8 ~ 3.6 | |
| LPC5526JBD64 | | 150 | 256 | 144 | 64 | 36 | FS + HS | - | 8 | 10 | 16 / 1.0 | HTQFP | 105 ° C | 1.8 ~ 3.6 | |
| LPC5526JEV98 | | 150 | 256 | 144 | 98 | 64 | FS + HS | - | 8 | 10 | 16 / 1.0 | VFBGA | 105 ° C | 1.8 ~ 3.6 | |
| LPC5528JBD100 | | 150 | 512 | 256 | 100 | 64 | FS + HS | - | 8 | 10 | 16 / 1.0 | HLQFP | 105 ° C | 1.8 ~ 3.6 | |
| LPC5528JBD64 | | 150 | 512 | 256 | 64 | 36 | FS + HS | - | 8 | 10 | 16 / 1.0 | HTQFP | 105 ° C | 1.8 ~ 3.6 | |
| LPC5528JEV98 | | 150 | 512 | 256 | 98 | 64 | FS + HS | - | 8 | 10 | 16 / 1.0 | VFBGA | 105 ° C | 1.8 ~ 3.6 | |
| LPC5556JBD100 | Y | 150 | 256 | 144 | 100 | 64 | FS + HS | - | 8 | 10 | 16 / 1.0 | HLQFP | 105 ° C | 1.8 ~ 3.6 | |
| LPC5556JBD64 | Y | 150 | 256 | 144 | 64 | 36 | FS + HS | - | 8 | 10 | 16 / 1.0 | HTQFP | 105 ° C | 1.8 ~ 3.6 | |
| LPC5556JEV98 | Y | 150 | 256 | 144 | 98 | 64 | FS + HS | - | 8 | 10 | 16 / 1.0 | VFBGA | 105 ° C | 1.8 ~ 3.6 | |
| LPC5556JBD100 | Y | 150 | 640 | 320 | 100 | 64 | FS + HS | - | 8 | 10 | 16 / 1.0 | HLQFP | 105 ° C | 1.8 ~ 3.6 | |
| LPC5556JBD64 | Y | 150 | 640 | 320 | 64 | 36 | FS + HS | - | 8 | 10 | 16 / 1.0 | HTQFP | 105 ° C | 1.8 ~ 3.6 | |
| LPC5556JEV98 | Y | 150 | 640 | 320 | 98 | 64 | FS + HS | - | 8 | 10 | 16 / 1.0 | VFBGA | 105 ° C | 1.8 ~ 3.6 | |

5V供电，基于Arm® Cortex®-M稳定可靠的微控制器 – KE系列

KE系列采用Arm® Cortex®-M0+内核或Cortex®-M4内核，提供高扩展且稳定可靠的5V微控制器产品，提供卓越的EMC/ESD耐受能力，KE系列产品非常适合复杂电气噪声环境，并且对成本敏感的应用场合。具有宽广的存储器容量选项，和丰富的外设及封装方式。

5V和高可靠/高稳定性—2.7~5.5V宽电压供电，特殊设计的I/O和外设具有卓越的EMC/ESD性能，非常适合ESD要求高的家电和工业领域。

丰富的模拟和数字外设—人机接口、位处理BME，单周期GPIO，ECC安全特性、混合信号模块、CAN通讯接口等，高集成度的智能片上功能选项优化了系统物料成本。

高可靠的触摸功能— 全新设计的触摸模块，至高25通道TSI，具有很强的抗干扰和高灵敏度性能，可以通过IEC61000-4-6的标准测试，同时具备优异的防液体误操作能力。

目标应用

- 白色家电，厨房电器等
 - 5V 电机控制系统
 - 触摸控制面板，工业控制
 - CAN通讯，智能照明
 - 要求高稳定的其他通用应用

| 通用特性 | | 系列选项 | | | | | | | | | | |
|------------------------|-----------------------------|-------|-----|----------|----------|-----------|--------|--------|-----|-----|-----|-----|
| 系统 | | 系列 | 内核 | 主频 (MHz) | 闪存 (KB) | SRAM (KB) | 启动 ROM | 主要功能 | | | | |
| Arm® Cortex®-M0+/M4 内核 | | | | | | | | EEPROM | ADC | DAC | CAN | TSI |
| 多种功耗模式和外设时钟门控 | 2.7~5.5V, -40~105°C | KE18F | M4 | 168 | 256~512 | 32~64 | ✓ | 4KB | 3 | 1 | 2 | |
| 时钟管理 | 外部晶振, 4~24MHz, 32KHz | KE16F | M4 | 168 | 256~512 | 32~64 | ✓ | 4KB | 3 | 1 | 1 | |
| 内部振荡器 | | KE14F | M4 | 168 | 256~512 | 32~64 | ✓ | 4KB | 3 | 1 | | |
| 模拟外设 | | KE16Z | M0+ | 48 | 32~64 | 4~8 | ✓ | 2KB | 1 | 1 | 1 | ✓ |
| 12位 ADC | | KE15Z | M0+ | 72 | 16~256 | 16~32 | ✓ | 2KB | 1-2 | 1 | | ✓ |
| 高速模拟比较器 | | KE14Z | M0+ | 72 | 16~256 | 16~32 | ✓ | 2KB | 1-2 | 1 | | |
| 串行接口 | UART, SPI, I2C, CAN, FlexIO | KE06Z | M0+ | 48 | 64~128 | 8~16 | | | 1 | | 1 | |
| 定时器 | 实时时钟 | KE04Z | M0+ | 48 | 8,64~128 | 1, 8~16 | | | 1 | | | |
| 16位 Flex timers | 32位定时中断定时器 | KE02Z | M0+ | 40 | 16~64 | 2~4 | | 256字节 | 1 | | | |

| 产品型号 | CPU核心 | 主频(MHz) | 闪存(KB) | RAM(KB) | E ² PROM(KB) | 引脚数目 | I/O数目 | CAN | UART | I ² C | SPI | 12位ADC | ADC0/1/2输入端 | DAC ² (6/8/12位) | 其他 | 封装 |
|---------------|-------|---------|--------|---------|-------------------------|------|-------|-----|------|------------------|-----|--------|-------------|----------------------------|----|---------------------|
| MKE02Z16VFM4 | CM0+ | 40 | 16 | 2 | 1/4 | 32 | 28 | - | 2 | 1 | 2 | 1 | 12/0/0 | 2/0/0 | | QFN32 |
| MKE02Z16VLC4 | CM0+ | 40 | 16 | 2 | 1/4 | 32 | 28 | - | 2 | 1 | 2 | 1 | 12/0/0 | 2/0/0 | | LQFP32 |
| MKE02Z16VLD4 | CM0+ | 40 | 16 | 2 | 1/4 | 44 | 37 | - | 3 | 1 | 2 | 1 | 12/0/0 | 2/0/0 | | LQFP44 |
| MKE02Z32VFM4 | CM0+ | 40 | 32 | 4 | 1/4 | 32 | 28 | - | 2 | 1 | 2 | 1 | 12/0/0 | 2/0/0 | | QFN32 |
| MKE02Z32VLC4 | CM0+ | 40 | 32 | 4 | 1/4 | 32 | 28 | - | 2 | 1 | 2 | 1 | 12/0/0 | 2/0/0 | | LQFP32 |
| MKE02Z32VLD4 | CM0+ | 40 | 32 | 4 | 1/4 | 44 | 37 | - | 3 | 1 | 2 | 1 | 12/0/0 | 2/0/0 | | LQFP44 |
| MKE02Z32VLH4 | CM0+ | 40 | 32 | 4 | 1/4 | 64 | 57 | - | 3 | 1 | 2 | 1 | 16/0/0 | 2/0/0 | | LQFP64 |
| MKE02Z32VQH4 | CM0+ | 40 | 32 | 4 | 1/4 | 64 | 57 | - | 3 | 1 | 2 | 1 | 16/0/0 | 2/0/0 | | QFP64 |
| MKE02Z64VFM4 | CM0+ | 40 | 64 | 4 | 1/4 | 32 | 28 | - | 2 | 1 | 2 | 1 | 12/0/0 | 2/0/0 | | QFN32 |
| MKE02Z64VLC4 | CM0+ | 40 | 64 | 4 | 1/4 | 32 | 28 | - | 2 | 1 | 2 | 1 | 12/0/0 | 2/0/0 | | LQFP32 |
| MKE02Z64VLD4 | CM0+ | 40 | 64 | 4 | 1/4 | 44 | 37 | - | 3 | 1 | 2 | 1 | 12/0/0 | 2/0/0 | | LQFP44 |
| MKE02Z64VLH4 | CM0+ | 40 | 64 | 4 | 1/4 | 64 | 57 | - | 3 | 1 | 2 | 1 | 16/0/0 | 2/0/0 | | LQFP64 |
| MKE02Z64VQH4 | CM0+ | 40 | 64 | 4 | 1/4 | 64 | 57 | - | 3 | 1 | 2 | 1 | 16/0/0 | 2/0/0 | | QFP64 |
| MKE04Z28VTG4 | CM0+ | 48 | 8 | 1 | - | 16 | 14 | - | 1 | 1 | 1 | 1 | 6/0/0 | 2/0/0 | | TSSOP16 |
| MKE04Z28VWJ4 | CM0+ | 48 | 8 | 1 | - | 20 | 18 | - | 1 | 1 | 1 | 1 | 10/0/0 | 2/0/0 | | SOIC WB20 |
| MKE04Z28VFK4 | CM0+ | 48 | 8 | 1 | - | 24 | 22 | - | 1 | 1 | 1 | 1 | 12/0/0 | 2/0/0 | | QFN24 |
| MKE04Z64VLD4 | CM0+ | 48 | 64 | 8 | - | 44 | 38 | - | 3 | 2 | 2 | 1 | 12/0/0 | 2/0/0 | | LQFP44 |
| MKE04Z64VLH4 | CM0+ | 48 | 64 | 8 | - | 64 | 58 | - | 3 | 2 | 2 | 1 | 16/0/0 | 2/0/0 | | LQFP64 |
| MKE04Z64VQH4 | CM0+ | 48 | 64 | 8 | - | 64 | 58 | - | 3 | 2 | 2 | 1 | 16/0/0 | 2/0/0 | | QFP64 |
| MKE04Z64VLK4 | CM0+ | 48 | 64 | 8 | - | 80 | 71 | - | 3 | 2 | 2 | 1 | 16/0/0 | 2/0/0 | | LQFP80 |
| MKE04Z128VLD4 | CM0+ | 48 | 128 | 16 | - | 44 | 38 | - | 3 | 2 | 2 | 1 | 12/0/0 | 2/0/0 | | LQFP44 |
| MKE04Z128VLH4 | CM0+ | 48 | 128 | 16 | - | 64 | 58 | - | 3 | 2 | 2 | 1 | 16/0/0 | 2/0/0 | | LQFP64 |
| MKE04Z128VQH4 | CM0+ | 48 | 128 | 16 | - | 64 | 58 | - | 3 | 2 | 2 | 1 | 16/0/0 | 2/0/0 | | QFP64 |
| MKE04Z128VLK4 | CM0+ | 48 | 128 | 16 | - | 80 | 71 | - | 3 | 2 | 2 | 1 | 16/0/0 | 2/0/0 | | LQFP80 |
| MKE06Z64VLD4 | CM0+ | 48 | 64 | 8 | - | 44 | 38 | 1 | 3 | 2 | 2 | 1 | 12/0/0 | 2/0/0 | | LQFP44 |
| MKE06Z64VLH4 | CM0+ | 48 | 64 | 8 | - | 64 | 58 | 1 | 3 | 2 | 2 | 1 | 16/0/0 | 2/0/0 | | LQFP64 |
| MKE06Z64VQH4 | CM0+ | 48 | 64 | 8 | - | 64 | 58 | 1 | 3 | 2 | 2 | 1 | 16/0/0 | 2/0/0 | | QFP64 |
| MKE06Z64VLK4 | CM0+ | 48 | 64 | 8 | - | 80 | 71 | 1 | 3 | 2 | 2 | 1 | 16/0/0 | 2/0/0 | | LQFP80 |
| MKE06Z128VLD4 | CM0+ | 48 | 128 | 16 | - | 44 | 38 | 1 | 3 | 2 | 2 | 1 | 12/0/0 | 2/0/0 | | LQFP44 |
| MKE06Z128VLH4 | CM0+ | 48 | 128 | 16 | - | 64 | 58 | 1 | 3 | 2 | 2 | 1 | 16/0/0 | 2/0/0 | | LQFP64 |
| MKE06Z128VQH4 | CM0+ | 48 | 128 | 16 | - | 64 | 58 | 1 | 3 | 2 | 2 | 1 | 16/0/0 | 2/0/0 | | QFP64 |
| MKE06Z128VLK4 | CM0+ | 48 | 128 | 16 | - | 80 | 71 | 1 | 3 | 2 | 2 | 1 | 16/0/0 | 2/0/0 | | LQFP80 |
| MKE14Z32VLD4 | CM0+ | 48 | 32 | 4 | - | 44 | 38 | - | 3 | 1 | 1 | 1 | 12/0/0 | 0/1/0 | | FlexIO, Boot ROM |
| MKE14Z32VLF4 | CM0+ | 48 | 32 | 4 | - | 48 | 42 | - | 3 | 1 | 1 | 1 | 12/0/0 | 0/1/0 | | QFN40 |
| MKE14Z32VFP4 | CM0+ | 48 | 32 | 4 | - | 40 | 36 | - | 3 | 1 | 1 | 1 | 12/0/0 | 0/1/0 | | |

所有产品工作温度范围为: -40~105 °C, 供电电压范围为: 2.7~5.5V

(1) KE15Z/16Z 集成了全新设计的TSI, 增强了电磁兼容能力, 2种工作模式: 自电容和互电容模式, 最多实现36个触摸按键。

(2) 6位/8位 DAC 包含在ACMP的内部, 仅KE14Z128/256, KE15Z128/256 内部的ACMPO 模块有8位 DAC的管脚引出。

| 产品型号 | CPU核心 | 主频(MHz) | 闪存(KB) | RAM(KB) | E ² PROM(KB) | 引脚数目 | I/O数目 | CAN | UART | I ² C | SPI | 12位ADC | ADC0/1/2输入端 | DAC ² (6/8/12位) | 其他 | 封装 |
|----------------|-------|---------|--------|---------|-------------------------|------|-------|-----|------|------------------|-----|--------|-------------|----------------------------|---------------------------------|---------|
| MKE14Z64VLD4 | CM0+ | 48 | 64 | 8 | - | 44 | 38 | - | 3 | 1 | 1 | 1 | 12/0/0 | 0/1/0 | FlexIO, Boot ROM | LQFP44 |
| MKE14Z64VLF4 | CM0+ | 48 | 64 | 8 | - | 48 | 42 | - | 3 | 1 | 1 | 1 | 12/0/0 | 0/1/0 | | LQFP48 |
| MKE14Z64VFP4 | CM0+ | 48 | 64 | 8 | - | 40 | 36 | - | 3 | 1 | 1 | 1 | 12/0/0 | 0/1/0 | | QFN40 |
| MKE14Z128VLH7 | CM0+ | 72 | 128 | 16 | 2 | 64 | 58 | - | 3 | 2 | 2 | 2 | 16/11/0 | 0/2/0 | FlexIO, Boot ROM | LQFP64 |
| MKE14Z128VLL7 | CM0+ | 72 | 128 | 16 | 2 | 100 | 89 | - | 3 | 2 | 2 | 2 | 16/12/0 | 0/2/0 | | LQFP100 |
| MKE14Z256VLH7 | CM0+ | 72 | 256 | 32 | 2 | 64 | 58 | - | 3 | 2 | 2 | 2 | 16/11/0 | 0/2/0 | | LQFP64 |
| MKE14Z256VLL7 | CM0+ | 72 | 256 | 32 | 2 | 100 | 89 | - | 3 | 2 | 2 | 2 | 16/12/0 | 0/2/0 | TSI ¹ | LQFP100 |
| MKE15Z128VLH7 | CM0+ | 72 | 128 | 16 | 2 | 64 | 58 | - | 3 | 2 | 2 | 2 | 16/11/0 | 0/2/0 | | LQFP64 |
| MKE15Z128VLL7 | CM0+ | 72 | 128 | 16 | 2 | 100 | 89 | - | 3 | 2 | 2 | 2 | 16/12/0 | 0/2/0 | | LQFP100 |
| MKE15Z2256VLH7 | CM0+ | 72 | 256 | 32 | 2 | 64 | 58 | - | 3 | 2 | 2 | 2 | 16/11/0 | 0/2/0 | TSI ¹ | LQFP64 |
| MKE15Z256VLL7 | CM0+ | 72 | 256 | 32 | 2 | 100 | 89 | - | 3 | 2 | 2 | 2 | 16/12/0 | 0/2/0 | | LQFP100 |
| MKE15Z32VLD4 | CM0+ | 48 | 32 | 4 | - | 44 | 38 | - | 3 | 1 | 1 | 1 | 12/0/0 | 0/1/0 | | LQFP44 |
| MKE15Z32VLF4 | CM0+ | 48 | 32 | 4 | - | 48 | 42 | - | 3 | 1 | 1 | 1 | 12/0/0 | 0/1/0 | TSI ¹ | LQFP48 |
| MKE15Z32VFP4 | CM0+ | 48 | 32 | 4 | - | 40 | 36 | - | 3 | 1 | 1 | 1 | 12/0/0 | 0/1/0 | | QFN40 |
| MKE15Z64VLD4 | CM0+ | 48 | 64 | 8 | - | 44 | 38 | - | 3 | 1 | 1 | 1 | 12/0/0 | 0/1/0 | | LQFP44 |
| MKE15Z64VLF4 | CM0+ | 48 | 64 | 8 | - | 48 | 42 | - | 3 | 1 | 1 | 1 | 12/0/0 | 0/1/0 | TSI ¹ | LQFP48 |
| MKE15Z64VFP4 | CM0+ | 48 | 64 | 8 | - | 40 | 36 | - | 3 | 1 | 1 | 1 | 12/0/0 | 0/1/0 | | QFN40 |
| MKE16Z32VLD4 | CM0+ | 48 | 32 | 4 | - | 44 | 38 | 1 | 3 | 1 | 1 | 1 | 12/0/0 | 0/1/0 | | LQFP44 |
| MKE16Z32VLF4 | CM0+ | 48 | 32 | 4 | - | 48 | 42 | 1 | 3 | 1 | 1 | 1 | 12/0/0 | 0/1/0 | TSI ¹ | LQFP48 |
| MKE16Z64VLD4 | CM0+ | 48 | 64 | 8 | - | 44 | 38 | 1 | 3 | 1 | 1 | 1 | 12/0/0 | 0/1/0 | | LQFP44 |
| MKE16Z64VLF4 | CM0+ | 48 | 64 | 8 | - | 48 | 42 | 1 | 3 | 1 | 1 | 1 | 12/0/0 | 0/1/0 | | LQFP48 |
| MKE14F256VLH16 | CM4 | 168 | 256 | 32 | 2 | 64 | 58 | - | 3 | 2 | 2 | 3 | 16/11/11 | 0/3/1 | FlexIO, Flash/RAM ECC, Boot ROM | LQFP64 |
| MKE14F256VLL16 | CM4 | 168 | 256 | 32 | 2 | 100 | 89 | - | 3 | 2 | 2 | 3 | 16/16/16 | 0/3/1 | | LQFP100 |
| MKE14F512VLH16 | CM4 | 168 | 512 | 64 | 4 | 64 | 58 | - | 3 | 2 | 2 | 3 | 16/11/11 | 0/3/1 | | LQFP64 |
| MKE14F512VLL16 | CM4 | 168 | 512 | 64 | 4 | 100 | 89 | - | 3 | 2 | 2 | 3 | 16/16/16 | 0/3/1 | FlexIO, Flash/RAM ECC, Boot ROM | LQFP100 |
| MKE16F256VLH16 | CM4 | 168 | 256 | 32 | 2 | 64 | 58 | 1 | 3 | 2 | 2 | 3 | 16/11/11 | 0/3/1 | | LQFP64 |
| MKE16F256VLL16 | CM4 | 168 | 256 | 32 | 2 | 100 | 89 | 1 | 3 | 2 | 2 | 3 | 16/16/16 | 0/3/1 | | LQFP100 |
| MKE16F512VLH16 | CM4 | 168 | 512 | 64 | 4 | 64 | 58 | 1 | 3 | 2 | 2 | 3 | 16/11/11 | 0/3/1 | | LQFP64 |
| MKE16F512VLL16 | CM4 | 168 | 512 | 64 | 4 | 100 | 89 | 1 | 3 | 2 | 2 | 3 | 16/16/16 | 0/3/1 | ECC, Boot ROM | LQFP100 |
| MKE18F256VLH16 | CM4 | 168 | 256 | 32 | 2 | 64 | 58 | 2 | 3 | 2 | 2 | 3 | 16/11/11 | 0/3/1 | | LQFP64 |
| MKE18F256VLL16 | CM4 | 168 | 256 | 32 | 2 | 100 | 89 | 2 | 3 | 2 | 2 | 3 | 16/16/16 | 0/3/1 | | LQFP100 |
| MKE18F512VLH16 | CM4 | 168 | 512 | 64 | 4 | 64 | 58 | 2 | 3 | 2 | 2 | 3 | 16/11/11 | 0/3/1 | LQFP64 | LQFP64 |
| MKE18F512VLL16 | CM4 | 168 | 512 | 64 | 4 | 100 | 89 | 2 | 3 | 2 | 2 | 3 | 16/16/16 | 0/3/1 | | LQFP100 |

所有产品工作温度范围为: -40~105 °C, 供电电压范围为: 2.7~5.5V

(1) KE15Z/16Z 集成了全新设计的TSI, 增强了电磁兼容能力, 2种工作模式: 自电容和互电容模式, 最多实现36个触摸按键。

(2) 6位/8位 DAC 包含在ACMP的内部, 仅KE14Z128/256, KE15Z128/256 内部的ACMPO 模块有8位 DAC的管脚引出。

面向电机控制，基于Arm® Cortex®-M的微控制器 – KV系列

KV系列基于Arm® Cortex®-M0+、Cortex®-M4和Cortex®-M7内核，专为各种BLDC、PMSM和ACIM电机控制以及数字电源转换应用而设计。

KV5x——基于Cortex®-M7的高性能解决方案，能够提供出色的高精度、传感和控制特性，适用于工业电机控制，工业驱动器和自动化，以及功率变换应用。

KV4x——基于Cortex®-M4的高性能解决方案，为电机和电源控制领域要求最严格的部分应用提供优异的精度、感应和控制能力。

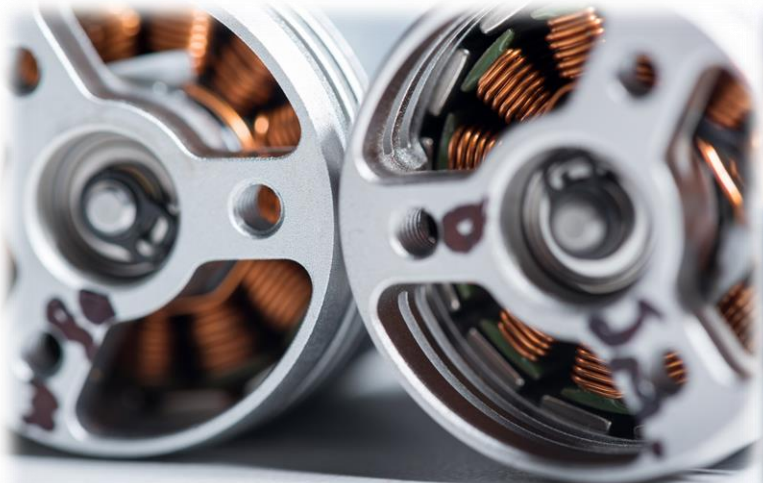
KV3x——基于Cortex®-M4的高性能解决方案，适用于BLDC、PMSM和ACIM电机控制应用

KV1x——基于Cortex®-M0+的入门级产品，适合BLDC以及对计算性能要求更高的PMSM电机。

| 子系列 | 内核 | 电机控制与电源转换应用的关键外设 | | | | | | | 封装 |
|------|------------------------------|------------------|--------------------------|---------------------------|-------------------------------|--------|------------------------|-------------------|---------------------------------------|
| | | 存储器 | 电机控制定时器 | | ADC | DAC | ACMP | 通讯接口 | |
| KV5x | 240MHz CM7 DSP + FPU | 512kB-1MB 内存 | FlexTimer | eFlexPWM | 4 x 12bit 5Msps, 1 x 16bit | 1x 12位 | 4x ACMP with 6位 DAC | Ethernet, 3 x CAN | 144 pin 100 pin |
| KV4x | 168MHz CM4 DSP + FPU | 64-256kB 内存 | 2 x 8ch 1x 2ch FlexTimer | 12ch eFlexPWM + Nano-Edge | 2x 12bit 4.1Msps | 2x 12位 | 4x ACMP with 6位 DAC | 2 x CAN | 100 pin 64 pin 48 pin |
| KV3x | 100/120MHz CM4 DSP + FPU | 64-512kB 内存 | 2x 8ch 2x 2ch FlexTimer | - | 2x 16位 1.2Msps | 2x 12位 | 2x ACMP with 6位 DAC | - | 100 pin 64 pin 48 pin 32 pin |
| KV1x | 75MHz CM0+ H/W DIV & SQRT | 16-128kB 内存 | 2x 6ch 2x 2ch FlexTimer | - | 2x 16位 1.2Msps | 1x 12位 | 2x ACMP with 6位 DAC | 1 x CAN | 64 pin 48 pin 32 pin |

| 产品型号 | 主频(MHz) | 闪存(KB) | RAM(KB) | 引脚数目 | I/O数目 | FlexTimer | DMA(ch) | UART | I2C | SPI | CAN | ADC | DAC | 封装 | 工作结温(°C) | 工作电压(V) |
|-----------------|---------|--------|---------|------|-------|--------------|---------|------|-----|-----|-----|-----|-----|---------|----------|----------|
| | | | | | | | | | | | | | | | | 工作电压(V) |
| MKV10Z128VFM7 | 75 | 128 | 16 | 32 | 28 | 2x6ch; 4x2ch | 4 | 2 | 1 | 1 | | 2 | 1 | QFN32 | -40~105 | 1.71~3.6 |
| MKV10Z128VLF7 | 75 | 128 | 16 | 48 | 40 | 2x6ch; 4x2ch | 4 | 2 | 1 | 1 | | 2 | 1 | LQFP48 | -40~105 | 1.71~3.6 |
| MKV10Z128VLH7 | 75 | 128 | 16 | 64 | 54 | 2x6ch; 4x2ch | 4 | 2 | 1 | 1 | | 2 | 1 | LQFP64 | -40~105 | 1.71~3.6 |
| MKV10Z16VFM7 | 75 | 16 | 8 | 32 | 28 | 1x6ch; 2x2ch | 4 | 2 | 1 | 1 | | 2 | 1 | QFN32 | -40~105 | 1.71~3.6 |
| MKV10Z16VLC7 | 75 | 16 | 8 | 32 | 28 | 1x6ch; 2x2ch | 4 | 2 | 1 | 1 | | 2 | 1 | LQFP32 | -40~105 | 1.71~3.6 |
| MKV10Z16VLF7 | 75 | 16 | 8 | 48 | 40 | 1x6ch; 2x2ch | 4 | 2 | 1 | 1 | | 2 | 1 | LQFP48 | -40~105 | 1.71~3.6 |
| MKV10Z32VFM7 | 75 | 32 | 8 | 32 | 28 | 1x6ch; 2x2ch | 4 | 2 | 1 | 1 | | 2 | 1 | LQFP32 | -40~105 | 1.71~3.6 |
| MKV10Z32VFM7R | 75 | 32 | 8 | 32 | 28 | 1x6ch; 2x2ch | 4 | 2 | 1 | 1 | | 2 | 1 | QFN32 | -40~105 | 1.71~3.6 |
| MKV10Z32VLC7 | 75 | 32 | 8 | 32 | 28 | 1x6ch; 2x2ch | 4 | 2 | 1 | 1 | | 2 | 1 | LQFP32 | -40~105 | 1.71~3.6 |
| MKV10Z32VLC7R | 75 | 32 | 8 | 32 | 28 | 1x6ch; 2x2ch | 4 | 2 | 1 | 1 | | 2 | 1 | LQFP32 | -40~105 | 1.71~3.6 |
| MKV10Z32VLF7 | 75 | 32 | 8 | 48 | 40 | 1x6ch; 2x2ch | 4 | 2 | 1 | 1 | | 2 | 1 | LQFP48 | -40~105 | 1.71~3.6 |
| MKV10Z64VFM7 | 75 | 64 | 16 | 32 | 28 | 2x6ch; 4x2ch | 4 | 2 | 1 | 1 | | 2 | 1 | QFN32 | -40~105 | 1.71~3.6 |
| MKV10Z64VFM7P | 75 | 64 | 16 | 32 | 28 | 2x6ch; 4x2ch | 4 | 2 | 1 | 1 | | 2 | 1 | QFN32 | -40~105 | 1.71~3.6 |
| MKV10Z64VLF7 | 75 | 64 | 16 | 48 | 40 | 2x6ch; 4x2ch | 4 | 2 | 1 | 1 | | 2 | 1 | LQFP48 | -40~105 | 1.71~3.6 |
| MKV10Z64VLF7P | 75 | 64 | 16 | 48 | 40 | 2x6ch; 4x2ch | 4 | 2 | 1 | 1 | | 2 | 1 | LQFP48 | -40~105 | 1.71~3.6 |
| MKV10Z64VLH7 | 75 | 64 | 16 | 64 | 54 | 2x6ch; 4x2ch | 4 | 2 | 1 | 1 | | 2 | 1 | LQFP64 | -40~105 | 1.71~3.6 |
| MKV10Z64VLH7P | 75 | 64 | 16 | 64 | 54 | 2x6ch; 4x2ch | 4 | 2 | 1 | 1 | | 2 | 1 | LQFP64 | -40~105 | 1.71~3.6 |
| MKV11Z128VFM7 | 75 | 128 | 16 | 32 | 28 | 2x6ch; 4x2ch | 4 | 2 | 1 | 1 | 1 | 2 | 1 | QFN32 | -40~105 | 1.71~3.6 |
| MKV11Z128VFM7P | 75 | 128 | 16 | 32 | 28 | 2x6ch; 4x2ch | 4 | 2 | 1 | 1 | 1 | 2 | 1 | QFN32 | -40~105 | 1.71~3.6 |
| MKV11Z128VLF7 | 75 | 128 | 16 | 48 | 40 | 2x6ch; 4x2ch | 4 | 2 | 1 | 1 | 1 | 2 | 1 | LQFP48 | -40~105 | 1.71~3.6 |
| MKV11Z128VLF7P | 75 | 128 | 16 | 48 | 40 | 2x6ch; 4x2ch | 4 | 2 | 1 | 1 | 1 | 2 | 1 | LQFP48 | -40~105 | 1.71~3.6 |
| MKV11Z128VLH7 | 75 | 128 | 16 | 64 | 54 | 2x6ch; 4x2ch | 4 | 2 | 1 | 1 | 1 | 2 | 1 | LQFP64 | -40~105 | 1.71~3.6 |
| MKV11Z128VLH7P | 75 | 128 | 16 | 64 | 54 | 2x6ch; 4x2ch | 4 | 2 | 1 | 1 | 1 | 2 | 1 | LQFP64 | -40~105 | 1.71~3.6 |
| MKV11Z64VFM7 | 75 | 128 | 16 | 32 | 28 | 2x6ch; 4x2ch | 4 | 2 | 1 | 1 | 1 | 2 | 1 | QFN32 | -40~105 | 1.71~3.6 |
| MKV11Z64VLF7 | 75 | 128 | 16 | 48 | 40 | 2x6ch; 4x2ch | 4 | 2 | 1 | 1 | 1 | 2 | 1 | LQFP48 | -40~105 | 1.71~3.6 |
| MKV11Z64VLF7P | 75 | 128 | 16 | 48 | 40 | 2x6ch; 4x2ch | 4 | 2 | 1 | 1 | 1 | 2 | 1 | LQFP48 | -40~105 | 1.71~3.6 |
| MKV11Z64VLH7 | 75 | 128 | 16 | 64 | 54 | 2x6ch; 4x2ch | 4 | 2 | 1 | 1 | 1 | 2 | 1 | LQFP64 | -40~105 | 1.71~3.6 |
| MKV11Z64VLH7P | 75 | 128 | 16 | 64 | 54 | 2x6ch; 4x2ch | 4 | 2 | 1 | 1 | 1 | 2 | 1 | LQFP64 | -40~105 | 1.71~3.6 |
| MKV11Z64VFM7 | 75 | 128 | 16 | 64 | 54 | 2x6ch; 4x2ch | 4 | 2 | 1 | 1 | 1 | 2 | 1 | QFN32 | -40~105 | 1.71~3.6 |
| MKV11Z64VLF7 | 75 | 128 | 16 | 48 | 40 | 2x6ch; 4x2ch | 4 | 2 | 1 | 1 | 1 | 2 | 1 | LQFP48 | -40~105 | 1.71~3.6 |
| MKV11Z64VLF7P | 75 | 128 | 16 | 48 | 40 | 2x6ch; 4x2ch | 4 | 2 | 1 | 1 | 1 | 2 | 1 | LQFP48 | -40~105 | 1.71~3.6 |
| MKV11Z64VLH7 | 75 | 128 | 16 | 64 | 54 | 2x6ch; 4x2ch | 4 | 2 | 1 | 1 | 1 | 2 | 1 | LQFP64 | -40~105 | 1.71~3.6 |
| MKV11Z64VLH7P | 75 | 128 | 16 | 64 | 54 | 2x6ch; 4x2ch | 4 | 2 | 1 | 1 | 1 | 2 | 1 | LQFP64 | -40~105 | 1.71~3.6 |
| MKV30F128VFM10 | 100 | 128 | 16 | 32 | 26 | 1x8ch; 2x2ch | 4 | 2 | 1 | 1 | | 2 | 1 | QFN32 | -40~105 | 1.71~3.6 |
| MKV30F128VLF10 | 100 | 128 | 16 | 48 | 35 | 1x8ch; 2x2ch | 4 | 2 | 1 | 1 | | 2 | 1 | LQFP48 | -40~105 | 1.71~3.6 |
| MKV30F128VLF10P | 100 | 128 | 16 | 48 | 35 | 1x8ch; 2x2ch | 4 | 2 | 1 | 1 | | 2 | 1 | LQFP48 | -40~105 | 1.71~3.6 |
| MKV30F128VLH10 | 100 | 128 | 16 | 64 | 46 | 1x8ch; 2x2ch | 4 | 2 | 1 | 1 | | 2 | 1 | LQFP64 | -40~105 | 1.71~3.6 |
| MKV30F64VFM10 | 100 | 64 | 16 | 32 | 26 | 1x8ch; 2x2ch | 4 | 2 | 1 | 1 | | 2 | 1 | QFN32 | -40~105 | 1.71~3.6 |
| MKV30F64VLF10 | 100 | 64 | 16 | 48 | 35 | 1x8ch; 2x2ch | 4 | 2 | 1 | 1 | | 2 | 1 | LQFP48 | -40~105 | 1.71~3.6 |
| MKV30F64VLF10R | 100 | 64 | 16 | 48 | 35 | 1x8ch; 2x2ch | 4 | 2 | 1 | 1 | | 2 | 1 | LQFP48 | -40~105 | 1.71~3.6 |
| MKV30F64VLH10 | 100 | 64 | 16 | 64 | 46 | 1x8ch; 2x2ch | 4 | 2 | 1 | 1 | | 2 | 1 | LQFP64 | -40~105 | 1.71~3.6 |
| MKV31F128VLH10 | 100 | 128 | 24 | 64 | 46 | 1x8ch; 2x2ch | 4 | 4 | 2 | 2 | | 2 | 1 | LQFP64 | -40~105 | 1.71~3.6 |
| MKV31F128VLH10P | 100 | 128 | 24 | 64 | 46 | 1x8ch; 2x2ch | 4 | 4 | 2 | 2 | | 2 | 1 | LQFP64 | -40~105 | 1.71~3.6 |
| MKV31F128VLL10 | 100 | 128 | 24 | 100 | 70 | 1x8ch; 2x2ch | 4 | 4 | 2 | 2 | | 2 | 1 | LQFP100 | -40~105 | 1.71~3.6 |

| 产品型号 | 主频 (MHz) | 闪存 (KB) | RAM (KB) | 引脚数目 | I/O 数目 | FlexTimer | DMA (ch) | UART | I2C | SPI | CAN | ADC | DAC | 其它 | 封装 | 工作结温 (°C) | 工作电压 (V) |
|-----------------|----------|---------|----------|------|--------|--------------|----------|------|-----|-----|-----|-----|-----|----------|---------|-----------|----------|
| MKV31F256VLH12 | 120 | 256 | 48 | 64 | 46 | 1x8ch; 2x2ch | 16 | 4 | 2 | 2 | | 2 | 1 | | LQFP64 | -40~105 | 1.71~3.6 |
| MKV31F256VLH12P | 120 | 256 | 48 | 64 | 46 | 1x8ch; 2x2ch | 16 | 4 | 2 | 2 | | 2 | 1 | | LQFP64 | -40~105 | 1.71~3.6 |
| MKV31F256VLH12R | 120 | 256 | 48 | 64 | 46 | 1x8ch; 2x2ch | 16 | 4 | 2 | 2 | | 2 | 1 | | LQFP64 | -40~105 | 1.71~3.6 |
| MKV31F256VLL12 | 120 | 256 | 48 | 100 | 70 | 1x8ch; 2x2ch | 16 | 4 | 2 | 2 | | 2 | 1 | | LQFP100 | -40~105 | 1.71~3.6 |
| MKV31F512VLH12 | 120 | 512 | 96 | 64 | 46 | 2x8ch; 2x2ch | 16 | 4 | 2 | 2 | | 2 | 2 | | LQFP64 | -40~105 | 1.71~3.6 |
| MKV31F512VLH12R | 120 | 512 | 96 | 64 | 46 | 2x8ch; 2x2ch | 16 | 4 | 2 | 2 | | 2 | 2 | | LQFP64 | -40~105 | 1.71~3.6 |
| MKV31F512VLL12 | 120 | 512 | 96 | 100 | 70 | 2x8ch; 2x2ch | 16 | 4 | 2 | 2 | | 2 | 2 | | LQFP100 | -40~105 | 1.71~3.6 |
| MKV31F512VLL12P | 120 | 512 | 96 | 100 | 70 | 2x8ch; 2x2ch | 16 | 4 | 2 | 2 | | 2 | 2 | | LQFP100 | -40~105 | 1.71~3.6 |
| MKV56F1M0VLL24 | 240 | 1024 | 256 | 100 | 74 | 2x8ch; 2x2ch | 32 | 6 | 2 | 3 | 2 | 4 | 5 | eFlexPWM | LQFP100 | -40~105 | 1.71~3.6 |
| MKV56F1M0VLQ24 | 240 | 1024 | 256 | 144 | 111 | 2x8ch; 2x2ch | 32 | 6 | 2 | 3 | 2 | 4 | 5 | eFlexPWM | LQFP144 | -40~105 | 1.71~3.6 |
| MKV56F512VLL24 | 240 | 512 | 128 | 100 | 74 | 2x8ch; 2x2ch | 32 | 6 | 2 | 3 | 2 | 4 | 5 | eFlexPWM | LQFP100 | -40~105 | 1.71~3.6 |
| MKV56F512VLQ24 | 240 | 512 | 128 | 144 | 111 | 2x8ch; 2x2ch | 32 | 6 | 2 | 3 | 2 | 4 | 5 | eFlexPWM | LQFP144 | -40~105 | 1.71~3.6 |
| MKV56F512VLQ24R | 240 | 512 | 128 | 144 | 111 | 2x8ch; 2x2ch | 32 | 6 | 2 | 3 | 2 | 4 | 5 | eFlexPWM | LQFP144 | -40~105 | 1.71~3.6 |
| MKV58F1M0VLL24 | 240 | 1024 | 256 | 100 | 74 | 2x8ch; 2x2ch | 32 | 6 | 2 | 3 | 3 | 4 | 5 | eFlexPWM | LQFP100 | -40~105 | 1.71~3.6 |
| MKV58F1M0VLQ24 | 240 | 1024 | 256 | 144 | 111 | 2x8ch; 2x2ch | 32 | 6 | 2 | 3 | 3 | 4 | 5 | eFlexPWM | LQFP144 | -40~105 | 1.71~3.6 |
| MKV58F512VLL24 | 240 | 512 | 128 | 100 | 74 | 2x8ch; 2x2ch | 32 | 6 | 2 | 3 | 3 | 4 | 5 | eFlexPWM | LQFP100 | -40~105 | 1.71~3.6 |
| MKV58F512VLQ24 | 240 | 512 | 128 | 144 | 111 | 2x8ch; 2x2ch | 32 | 6 | 2 | 3 | 3 | 4 | 5 | eFlexPWM | LQFP144 | -40~105 | 1.71~3.6 |



恩智浦数字信号控制器 (DSC) 系列

恩智浦32位数字信号控制器(DSC)基于32位568000EX内核，在单一芯片中集成了微控制器(MCU)的功能和强大的数字信号处理(DSP)能力。恩智浦提供一系列数字信号处理和控制解决方案，适用于各种应用，从通用嵌入式市场到电机控制和功率转换。随着新的56F83和56F81产品的推出，32位DSC产品组合变得更加强大、完整，以满足数字电源和电机控制领域日益增长的最终客户需求。

| 产品系列 | CPU | 存储 | 主要特性 | 目标应用 |
|-----------------------------------|-------------------------------------|--|---|---|
| MC56F81xxx 入门级电机控制/电源转换 | 56800EX 32位 DSC 内核 100/50 MHz | 64~128 KB Flash 12~20 KB RAM 64 KB Boot ROM | 高精度PWM, 2x12位 ADC ACMP, 12位DAC DSASS, OPAMP -40~105°C/125°C 引脚数32~64 | 数字电源: 开关电源 (SMPS) 和电源管理 不间断电源 (UPS) 电机控制: 配电系统 光伏系统 |
| MC56F82xxx 入门级电机控制/电源转换 | 56800EX 32位 DSC 内核 100/50 MHz | 32~64 KB Flash 6~8 KB RAM | 高精度PWM, 2x12位 ADC ACMP, 12位DAC MSCAN AEC-Q100 -40~105°C/125°C 引脚数32~64 | 电机控制: 工业电机 家用电器 |
| MC56F3xxx 高性能电机控制/电源转换 | 56800EX 32位 DSC 内核 100 MHz | 128~256 KB Flash w/ECC, dual bank 48~64 KB RAM 32 KB Boot ROM | 高精度PWM, 2x12位 ADC ACMP, 12位DAC CAN FD, USB FS OTG AEC-Q100 -40~105°C/125°C 引脚数64~100 | 汽车: 新能源/混合动力汽车车载充电器 新能源/混合动力汽车DC-DC变换器 新能源/混合动力汽车充电桩 新能源/混合动力汽车电机, 压缩机 |
| MC56F84xxx 高性能电机控制/电源转换 | 56800EX 32位 DSC 内核 60~100 MHz | 64~256 KB Flash 8~32 KB RAM 32 KB FlexMem | 高精度PWM, 2x12位 ADC 16位ADC, ACMP, 12位DAC FlexCAN -40~105°C 引脚数48~100 | 其它: 智能照明 断路器 |

| 产品型号 | 内核 | 主频(MHz) | 闪存(KB) | RAM(KB) | FlexMem ⁽¹⁾ (KB) | 引脚数目 | I/O数目 | 高精度PWM通道 | 高精度PWM分辨率 | 标准PWM通道 | 12位ADC通道 | 12位ADC速度(Mps) | 16位ADC通道 | 12位DAC | ACMP | UART | I ² C | SPI | CAN | 封装 | 最高工作温度 | 工作电压(V) |
|--------------------------------|---------|---------|--------|---------|-----------------------------|------|-------|----------|-----------|---------|----------|---------------|----------|--------|------|------|------------------|-----|-----|------|--------------------|----------|
| 56F847xx系列：面向性能级电源转换应用 | | | | | | | | | | | | | | | | | | | | | | |
| MC56F84789VLL | 56800EX | 100 | 256 | 32 | 32 | 100 | 86 | 8-ch. | 312ps | 8-ch. | 2x8-ch. | 3.33 | 16-ch. | 1 | 4 | 3 | 2 | 3 | 1 | LQFP | 105 | 2.7~3.6V |
| MC56F84786VLK | 56800EX | 100 | 256 | 32 | 32 | 80 | 68 | 8-ch. | 312ps | 8-ch. | 2x8-ch. | 3.33 | 10-ch. | 1 | 4 | 3 | 2 | 2 | 1 | LQFP | 105 | 2.7~3.6V |
| MC56F84769VLL | 56800EX | 100 | 128 | 24 | 32 | 100 | 86 | 8-ch. | 312ps | 8-ch. | 2x8-ch. | 3.33 | 16-ch. | 1 | 4 | 3 | 2 | 3 | 1 | LQFP | 105 | 2.7~3.6V |
| MC56F84766VLK | 56800EX | 100 | 128 | 24 | 32 | 80 | 68 | | 312ps | 8-ch. | 2x8-ch. | 3.33 | 10-ch. | 1 | 4 | 3 | 2 | 2 | 1 | LQFP | 105 | 2.7~3.6V |
| MC56F84763VLH | 56800EX | 100 | 128 | 24 | 32 | 64 | 54 | 8-ch. | 312ps | - | 2x8-ch. | 3.33 | 8-ch. | 1 | 4 | 2 | 2 | 2 | 1 | LQFP | 105 | 2.7~3.6V |
| 56F8458x/6x系列：面向性能级电机控制应用 | | | | | | | | | | | | | | | | | | | | | | |
| MC56F84587VLL | 56800EX | 80 | 256 | 32 | 32 | 100 | 86 | - | - | 16-ch. | 2x8-ch. | 1.67 | 16-ch. | 1 | 4 | 3 | 2 | 3 | 1 | LQFP | 105 | 2.7~3.6V |
| MC56F84585VLK | 56800EX | 80 | 256 | 32 | 32 | 80 | 68 | - | - | 16-ch. | 2x8-ch. | 1.67 | 10-ch. | 1 | 4 | 3 | 2 | 2 | 1 | LQFP | 105 | 2.7~3.6V |
| MC56F84567VLL | 56800EX | 80 | 128 | 24 | 32 | 100 | 86 | - | - | 16-ch. | 2x8-ch. | 1.67 | 16-ch. | - | 4 | 3 | 2 | 3 | 1 | LQFP | 105 | 2.7~3.6V |
| MC56F84565VLK | 56800EX | 80 | 128 | 24 | 32 | 80 | 68 | - | - | 16-ch. | 2x8-ch. | 1.67 | 10-ch. | - | 4 | 3 | 2 | 2 | 1 | LQFP | 105 | 2.7~3.6V |
| 56F8455x/4x系列：面向性能级电源转换应用 | | | | | | | | | | | | | | | | | | | | | | |
| MC56F84553VLH | 56800EX | 80 | 96 | 16 | 32 | 64 | 54 | 8-ch. | 390ps | - | 2x8-ch. | 3.33 | 8-ch. | 1 | 4 | 2 | 2 | 2 | 1 | LQFP | 105 | 2.7~3.6V |
| MC56F84550VLF | 56800EX | 80 | 96 | 16 | 32 | 48 | 39 | 6-ch. | 390ps | - | 2x8-ch. | 3.33 | - | 1 | 3 | 2 | 2 | 2 | 1 | LQFP | 105 | 2.7~3.6V |
| MC56F84543VLH | 56800EX | 80 | 64 | 8 | 32 | 64 | 54 | 8-ch. | 390ps | - | 2x8-ch. | 3.33 | 8-ch. | 1 | 4 | 2 | 2 | 2 | 1 | LQFP | 105 | 2.7~3.6V |
| MC56F84540VLF | 56800EX | 80 | 64 | 8 | 32 | 48 | 39 | 6-ch. | 390ps | - | 2x8-ch. | 3.33 | - | 1 | 3 | 2 | 2 | 2 | 1 | LQFP | 105 | 2.7~3.6V |
| 56F844xx系列：面向性能级电机控制应用 | | | | | | | | | | | | | | | | | | | | | | |
| MC56F84462VLH | 56800EX | 60 | 128 | 24 | 32 | 64 | 54 | - | - | 8-ch. | 2x8-ch. | 1.67 | 8-ch. | 1 | 4 | 2 | 2 | 2 | 1 | LQFP | 105 | 2.7~3.6V |
| MC56F84452VLH | 56800EX | 60 | 96 | 16 | 32 | 64 | 54 | - | - | 8-ch. | 2x8-ch. | 1.67 | 8-ch. | - | 4 | 2 | 2 | 2 | 1 | LQFP | 105 | 2.7~3.6V |
| MC56F84451VLF | 56800EX | 60 | 96 | 16 | 32 | 48 | 39 | - | - | 6-ch. | 2x5-ch. | 1.67 | - | - | 3 | 2 | 2 | 2 | 1 | LQFP | 105 | 2.7~3.6V |
| MC56F84442VLH | 56800EX | 60 | 64 | 8 | 32 | 64 | 54 | - | - | 8-ch. | 2x8-ch. | 1.67 | 8-ch. | - | 4 | 2 | 2 | 2 | - | LQFP | 105 | 2.7~3.6V |
| MC56F84441VLF | 56800EX | 60 | 64 | 8 | 32 | 48 | 39 | - | - | 6-ch. | 2x5-ch. | 1.67 | - | - | 3 | 2 | 2 | 2 | - | LQFP | 105 | 2.7~3.6V |
| 56F837xx系列：面向性能级电源转换/汽车电子应用 | | | | | | | | | | | | | | | | | | | | | | |
| MC56F83789AVLLA ⁽³⁾ | 56800EX | 100 | 256 | 64 | - | 100 | 86 | 2x8-ch. | 312ps | - | 2x8-ch. | 3 | - | 2 | 4 | 3 | 2 | 2 | 1 | LQFP | 125 ⁽²⁾ | 2.7~3.6V |
| MC56F83769AVLLA ⁽³⁾ | 56800EX | 100 | 128 | 48 | - | 100 | 86 | 2x8-ch. | 312ps | - | 2x8-ch. | 3 | - | 2 | 4 | 3 | 2 | 2 | 1 | LQFP | 125 ⁽²⁾ | 2.7~3.6V |
| MC56F83783AVLHA ⁽³⁾ | 56800EX | 100 | 256 | 64 | - | 64 | 54 | 8+6-ch. | 312ps | - | 2x5-ch. | 3 | - | 2 | 4 | 3 | 2 | 2 | 1 | LQFP | 125 ⁽²⁾ | 2.7~3.6V |
| MC56F83763AVLHA ⁽³⁾ | 56800EX | 100 | 128 | 48 | - | 64 | 54 | 8+6-ch. | 312ps | - | 2x5-ch. | 3 | - | 2 | 4 | 3 | 2 | 2 | 1 | LQFP | 125 ⁽²⁾ | 2.7~3.6V |
| MC56F83789VLL | 56800EX | 100 | 256 | 64 | - | 100 | 86 | 2x8-ch. | 312ps | - | 2x8-ch. | 3 | - | 2 | 4 | 3 | 2 | 2 | 1 | LQFP | 125 ⁽²⁾ | 2.7~3.6V |
| MC56F83786VLK | 56800EX | 100 | 256 | 64 | - | 80 | 68 | 2x8-ch. | 312ps | - | 2x8-ch. | 3 | - | 2 | 4 | 3 | 2 | 2 | 1 | LQFP | 125 ⁽²⁾ | 2.7~3.6V |
| MC56F83783VLH | 56800EX | 100 | 256 | 64 | - | 64 | 54 | 8+6-ch. | 312ps | - | 2x5-ch. | 3 | - | 2 | 4 | 3 | 2 | 2 | 1 | LQFP | 125 ⁽²⁾ | 2.7~3.6V |
| MC56F83769VLL | 56800EX | 100 | 128 | 48 | - | 100 | 86 | 2x8-ch. | 312ps | - | 2x8-ch. | 3 | - | 2 | 4 | 3 | 2 | 2 | 1 | LQFP | 125 ⁽²⁾ | 2.7~3.6V |
| MC56F83766VLK | 56800EX | 100 | 128 | 48 | - | 80 | 68 | 2x8-ch. | 312ps | - | 2x8-ch. | 3 | - | 2 | 4 | 3 | 2 | 2 | 1 | LQFP | 125 ⁽²⁾ | 2.7~3.6V |
| MC56F83763VLH | 56800EX | 100 | 128 | 48 | - | 64 | 54 | 8+6-ch. | 312ps | - | 2x5-ch. | 3 | - | 2 | 4 | 3 | 2 | 2 | 1 | LQFP | 125 ⁽²⁾ | 2.7~3.6V |
| 56F836xx系列：面向性能级电机控制应用 | | | | | | | | | | | | | | | | | | | | | | |
| MC56F83689VLL | 56800EX | 100 | 256 | 64 | - | 100 | 86 | - | - | 2x8-ch. | 2x8-ch. | 3 | - | - | 4 | 3 | 2 | 2 | 1 | LQFP | 125 ⁽²⁾ | 2.7~3.6V |
| MC56F83686VLK | 56800EX | 100 | 256 | 64 | - | 80 | 68 | - | - | 2x8-ch. | 2x8-ch. | 3 | - | - | 4 | 3 | 2 | 2 | 1 | LQFP | 125 ⁽²⁾ | 2.7~3.6V |
| MC56F83683VLH | 56800EX | 100 | 256 | 64 | - | 64 | 54 | - | - | 8+6-ch. | 2x8-ch. | 3 | - | - | 4 | 3 | 2 | 1 | 1 | LQFP | 125 ⁽²⁾ | 2.7~3.6V |
| MC56F83663VLH | 56800EX | 100 | 128 | 48 | - | 64 | 54 | - | - | 8+6-ch. | 2x8-ch. | 3 | - | - | 4 | 3 | 2 | 1 | 1 | LQFP | 125 ⁽²⁾ | 2.7~3.6V |

| 产品型号 | 内核 | 主频(MHz) | 闪存(KB) | RAM(KB) | FlexMem(1)(KB) | 引脚数目 | I/O数目 | 高精度PWM通道 | 高精度PWM分辨率 | 标准PWM通道 | 12位ADC通道 | 12位ADC速度(MspS) | 16位ADC通道 | 12位DAC | ACMP | UART | I ² C | SPI | CAN | 封装 | 最高工作温度 | 工作电压(V) | |
|---------------------------------------|---------|---------|--------|---------|----------------|------|-------|----------|-----------|---------|----------|----------------|----------|--------|------|------|------------------|-----|-----|------|--------|--------------------|----------|
| 56F827xx系列：面向入门级电源转换应用 | | | | | | | | | | | | | | | | | | | | | | | |
| MC56F82748VLH | 56800EX | 100 | 64 | 8 | - | 64 | 54 | 8-ch. | 312ps | 4-ch. | 2x8-ch. | 1.25 | - | 2 | 4 | 2 | 1 | 2 | 1 | LQFP | 105 | 2.7~3.6V | |
| MC56F82748MLH | 56800EX | 100 | 64 | 8 | - | 64 | 54 | 8-ch. | 312ps | 4-ch. | 2x8-ch. | 1.25 | - | 2 | 4 | 2 | 1 | 2 | 1 | LQFP | 125 | 2.7~3.6V | |
| MC56F82746VLF | 56800EX | 100 | 64 | 8 | - | 48 | 39 | 6-ch. | 312ps | - | 2x5-ch. | 1.25 | - | 2 | 4 | 2 | 1 | 1 | 1 | LQFP | 105 | 2.7~3.6V | |
| MC56F82746MLF | 56800EX | 100 | 64 | 8 | - | 48 | 39 | 6-ch. | 312ps | - | 2x5-ch. | 1.25 | - | 2 | 4 | 2 | 1 | 1 | 1 | LQFP | 125 | 2.7~3.6V | |
| MC56F82743VLC | 56800EX | 100 | 64 | 8 | - | 32 | 26 | 6-ch. | 312ps | - | 2x3-ch. | 1.25 | - | 2 | 3 | 1 | 1 | 1 | 1 | LQFP | 105 | 2.7~3.6V | |
| MC56F82743VFM | 56800EX | 100 | 64 | 8 | - | 32 | 26 | 6-ch. | 312ps | - | 2x3-ch. | 1.25 | - | 2 | 3 | 1 | 1 | 1 | 1 | QFN | 105 | 2.7~3.6V | |
| MC56F82738VLH | 56800EX | 100 | 48 | 8 | - | 64 | 54 | 8-ch. | 312ps | 4-ch. | 2x8-ch. | 1.25 | - | 2 | 4 | 2 | 1 | 2 | 1 | LQFP | 105 | 2.7~3.6V | |
| MC56F82736VLF | 56800EX | 100 | 48 | 8 | - | 48 | 39 | 6-ch. | 312ps | - | 2x5-ch. | 1.25 | - | 2 | 4 | 2 | 1 | 1 | 1 | LQFP | 105 | 2.7~3.6V | |
| MC56F82733VLC | 56800EX | 100 | 48 | 8 | - | 32 | 26 | 6-ch. | 312ps | - | 2x3-ch. | 1.25 | - | 2 | 3 | 1 | 1 | 1 | 1 | LQFP | 105 | 2.7~3.6V | |
| MC56F82733VFM | 56800EX | 100 | 48 | 8 | - | 32 | 26 | 6-ch. | 312ps | - | 2x3-ch. | 1.25 | - | 2 | 3 | 1 | 1 | 1 | 1 | QFN | 105 | 2.7~3.6V | |
| MC56F82733MFM | 56800EX | 100 | 48 | 8 | - | 32 | 26 | 6-ch. | 312ps | - | 2x3-ch. | 1.25 | - | 2 | 3 | 1 | 1 | 1 | 1 | QFN | 125 | 2.7~3.6V | |
| MC56F82728VLH | 56800EX | 100 | 32 | 6 | - | 64 | 54 | 8-ch. | 312ps | 4-ch. | 2x8-ch. | 1.25 | - | 2 | 4 | 2 | 1 | 2 | 1 | LQFP | 105 | 2.7~3.6V | |
| MC56F82726VLF | 56800EX | 100 | 32 | 6 | - | 48 | 39 | 6-ch. | 312ps | - | 2x5-ch. | 1.25 | - | 2 | 4 | 2 | 1 | 1 | 1 | LQFP | 105 | 2.7~3.6V | |
| MC56F82723VLC | 56800EX | 100 | 32 | 6 | - | 32 | 26 | 6-ch. | 312ps | - | 2x3-ch. | 1.25 | - | 2 | 3 | 1 | 1 | 1 | 1 | LQFP | 105 | 2.7~3.6V | |
| MC56F82723VFM | 56800EX | 100 | 32 | 6 | - | 32 | 26 | 6-ch. | 312ps | - | 2x3-ch. | 1.25 | - | 2 | 3 | 1 | 1 | 1 | 1 | QFN | 105 | 2.7~3.6V | |
| 56F826xx系列：面向入门级电机控制应用 | | | | | | | | | | | | | | | | | | | | | | | |
| MC56F82646VLF | 56800EX | 100 | 64 | 8 | - | 48 | 39 | 8-ch. | 312ps | 6-ch. | 2x5-ch. | 1.25 | - | - | 4 | 2 | - | - | - | - | LQFP | 105 | 2.7~3.6V |
| MC56F82643VLC | 56800EX | 100 | 64 | 8 | - | 32 | 26 | 8-ch. | 312ps | 6-ch. | 2x3-ch. | 1.25 | - | - | 3 | 1 | - | - | - | - | LQFP | 105 | 2.7~3.6V |
| MC56F82623VLC | 56800EX | 100 | 32 | 6 | - | 32 | 26 | 8-ch. | 312ps | 6-ch. | 2x3-ch. | 1.25 | - | - | 3 | 1 | - | - | - | - | LQFP | 105 | 2.7~3.6V |
| 56F818xx系列：带DSASS，入门级电机控制/电源转换 | | | | | | | | | | | | | | | | | | | | | | | |
| MC56F81866VLF | 56800EX | 100 | 128 | 20 | - | 48 | 39 | 8-ch. | 312ps | - | 2x5-ch. | 1.6 | - | 1 | 4 | 2 | 2 | 1 | 1 | - | LQFP | 125 ⁽²⁾ | 2.7~3.6V |
| MC56F81868VLH | 56800EX | 100 | 128 | 20 | - | 64 | 54 | 8-ch. | 312ps | - | 2x8-ch. | 1.6 | - | 1 | 4 | 2 | 2 | 1 | 1 | - | LQFP | 125 ⁽²⁾ | 2.7~3.6V |
| 56F817xx系列：面向入门级电源转换应用 | | | | | | | | | | | | | | | | | | | | | | | |
| MC56F81746VLF | 56800EX | 100 | 64 | 12 | - | 48 | 39 | 8-ch. | 312ps | - | 2x5-ch. | 1.6 | - | 1 | 4 | 2 | 2 | 1 | 1 | - | LQFP | 125 ⁽²⁾ | 2.7~3.6V |
| MC56F81748VLH | 56800EX | 100 | 64 | 12 | - | 64 | 54 | 8-ch. | 312ps | - | 2x8-ch. | 1.6 | - | 1 | 4 | 2 | 2 | 1 | 1 | - | LQFP | 125 ⁽²⁾ | 2.7~3.6V |
| MC56F81766VLF | 56800EX | 100 | 128 | 20 | - | 48 | 39 | 8-ch. | 312ps | - | 2x5-ch. | 1.6 | - | 1 | 4 | 2 | 2 | 1 | 1 | - | LQFP | 125 ⁽²⁾ | 2.7~3.6V |
| MC56F81768VLH | 56800EX | 100 | 128 | 20 | - | 64 | 54 | 8-ch. | 312ps | - | 2x8-ch. | 1.6 | - | 1 | 4 | 2 | 2 | 1 | 1 | - | LQFP | 125 ⁽²⁾ | 2.7~3.6V |
| 56F816xx系列：面向入门级电机控制应用 | | | | | | | | | | | | | | | | | | | | | | | |
| MC56F81646VLF | 56800EX | 100 | 64 | 12 | - | 48 | 39 | - | - | 8-ch. | 2x5-ch. | 1.6 | - | - | 4 | 2 | 1 | - | - | - | LQFP | 105 | 2.7~3.6V |
| MC56F81648VLH | 56800EX | 100 | 64 | 12 | - | 64 | 54 | - | - | 8-ch. | 2x8-ch. | 1.6 | - | - | 4 | 2 | 1 | - | - | - | LQFP | 105 | 2.7~3.6V |
| MC56F81666VLF | 56800EX | 100 | 128 | 20 | - | 48 | 39 | - | - | 8-ch. | 2x5-ch. | 1.6 | - | - | 4 | 2 | 1 | - | - | - | LQFP | 105 | 2.7~3.6V |
| MC56F81668VLH | 56800EX | 100 | 128 | 20 | - | 64 | 54 | - | - | 8-ch. | 2x8-ch. | 1.6 | - | - | 4 | 2 | 1 | - | - | - | LQFP | 105 | 2.7~3.6V |

(1) 每个32KB FlexMem能够作为32KB Flash或者2KB EEPROM工作

(2) 可选105°C/125°C版本

(3) 车规级，通过AEC-Q100

(4) MC56F81xxx可根据实际需求提供QFN32, LQFP32封装。MC56F83xxx(非车规级版本)可根据实际需求提供LQFP48封装

恩智浦8位微控制器 – S08系列

恩智浦8位微控制器S08系列基于加强型HCS08核心，拥有多个产品系列，覆盖消费电子与工业控制应用领域的各类应用，为产品差异化提供广泛的功能和价格选择。

S08PT系列

5V微控制器 电池供电的触摸应用

- 2.7~5.5V 供电, 105° C 可选
- 8~60KB Flash, 2~4KB RAM, 256B EEPROM
- FlexTimer/PWM (推荐用于电机控制)
- 12位ADC, 模拟比较器
- 最高3x UART, 2x SPI, 1x I²C
- 16~64脚封装
- 触摸传感接口 (TSI), 最高16通道

S08PA系列

5V微控制器 全功能/通用

- 2.7~5.5V 供电, 105/125° C 可选
- 4~60KB Flash, 512B~4KB RAM, EEPROM
- FlexTimer/高精度PWM (推荐用于电机控制)
- 12位ADC, 模拟比较器
- 最高3x UART, 2x SPI, 1x I²C
- 8~64脚封装

S08PB系列

5V微控制器 通用

- 2.7~5.5V 供电, 105/125° C 可选
- 8~16KB Flash, 1KB RAM
- 12位ADC, 模拟比较器, 运算放大器
- UART, I²C
- 8~64脚封装, 丰富GPIO

S08PL系列

5V微控制器 高性价比/丰富GPIO

- 2.7~5.5V 供电, 85° C
- 4~60KB Flash, 512B~4KB RAM, EEPROM
- Timer/PWM
- 10位ADC, 模拟比较器
- 最高3x UART, 2x SPI, 1x I²C
- 8~64脚封装, 丰富GPIO

S08PLS系列

5V微控制器 高性价比

- 2.7~5.5V 供电, 85° C
- 8~16KB Flash, 1KB RAM
- Timer/PWM
- 10位ADC, 模拟比较器
- UART
- 8~20脚封装

高可靠性系列

S08SU系列

18V三相电机控制/集成预驱动电路

- 4.5~18V 供电, 105° C 可选
- 8~16KB Flash, 768B RAM
- 6通道PWM (推荐用于3相电机控制)
- 2x 12位ADC, 2x 低端电流检测运放, 1x 通用模拟比较器, 3个鉴相比较器, 2x 保护比较器
- 集成3相P+N预驱动电路
- 1x UART, 1x I²C
- 24-QFN

S08QL系列

3V微控制器 超低功耗

- 1.8~3.6V 供电, 85° C 可选
- 4~8KB Flash, 256~512B RAM
- 单通道Timer/PWM
- 12位ADC, 模拟比较器
- 1x UART
- 低功耗: Stop2模式低至200nA, RAM内容保持; 支持超低功耗运行模式
- 16~20脚TSSOP封装

S08LL系列

3V超低功耗, 集成段式LCD驱动

- 1.8~3.6V 供电, 85° C 可选
- 16~64KB Flash, 2~4KB RAM
- 最高8x36或4x40 LCD驱动
- 12位ADC, 模拟比较器
- 最高2x UART, 1x SPI, 1x I²C
- 低功耗: Stop2模式低至250nA, RAM内容保持; 支持超低功耗运行模式
- 48~80脚LQFP/QFN封装

超低功耗系列

| 产品型号 | 内核 | 主频 (MHz) | 闪存 (KB) | RAM (KB) | EEPROM (B) | 引脚 数目 | I/O 数目 | 电机控 制PWM 通道 | 标准 PWM通 道 | ADC通道/位 数 | ACMP | Gate Driver Unit | 段码LCD | MTIM | UART | I ² C | SPI | TSI | 封装 | 最高工 作温度 | 工作电 压(V) |
|---------------------------------|-----|--------------|------------|-------------|---------------|----------|-----------|-------------------|-----------------|--------------|------|------------------------|------------|------|------|------------------|-----|-----|-------|------------|-------------|
| S08SU系列：高达18V三相电机应用微控制器，集成预驱动电路 | | | | | | | | | | | | | | | | | | | | | |
| MC9S08SU16VFK | S08 | 40 | 16 | 0.768 | - | 24 | 17 | 6ch. | 2ch. | 2x8ch./12b | 1 | Yes | - | 1 | 1 | 1 | - | - | QFN | 105C | 4.5~18V |
| MC9S08SU8VFK | S08 | 40 | 16 | 0.768 | - | 24 | 17 | 6ch. | 2ch. | 2x8ch./12b | 1 | Yes | - | 1 | 1 | 1 | - | - | QFN | 105C | 4.5~18V |
| S08QL系列：超低功耗3V系列 | | | | | | | | | | | | | | | | | | | | | |
| MC9S08QL8CTJ | S08 | 20 | 8 | 0.512 | - | 20 | 18 | - | 1ch. | 1x8ch./12b | 1 | - | - | 1 | 1 | - | - | - | TSSOP | 85C | 1.8~3.6V |
| MC9S08QL8CTG | S08 | 20 | 8 | 0.512 | - | 16 | 14 | - | 1ch. | 1x8ch./12b | 1 | - | - | 1 | 1 | - | - | - | TSSOP | 85C | 1.8~3.6V |
| MC9S08QL4CTJ | S08 | 20 | 4 | 0.256 | - | 20 | 18 | - | 1ch. | 1x8ch./12b | 1 | - | - | 1 | 1 | - | - | - | TSSOP | 85C | 1.8~3.6V |
| MC9S08QL4CTG | S08 | 20 | 4 | 0.256 | - | 16 | 14 | - | 1ch. | 1x8ch./12b | 1 | - | - | 1 | 1 | - | - | - | TSSOP | 85C | 1.8~3.6V |
| S08LL系列：超低功耗3V系列，集成段式LCD驱动 | | | | | | | | | | | | | | | | | | | | | |
| MC9S08LL64CLK | S08 | 40 | 64 | 4 | - | 80 | 39 | - | 4ch. | 1x10ch./12b | 1 | - | 8x36, 4x40 | - | 2 | 1 | 1 | - | LQFP | 85C | 1.8~3.6V |
| MC9S08LL64CLH | S08 | 40 | 64 | 4 | - | 64 | 37 | - | 4ch. | 1x8ch./12b | 1 | - | 8x24, 4x28 | - | 2 | 1 | 1 | - | LQFP | 85C | 1.8~3.6V |
| MC9S08LL16CLH | S08 | 20 | 16 | 2 | - | 64 | 38 | - | 4ch. | 1x8ch./12b | 1 | - | 8x24, 4x28 | - | 1 | 1 | 1 | - | LQFP | 85C | 1.8~3.6V |
| MC9S08LL16CLF | S08 | 20 | 16 | 2 | - | 48 | 31 | - | 2ch. | 1x8ch./12b | 1 | - | 8x16, 4x20 | - | 1 | 1 | 1 | - | LQFP | 85C | 1.8~3.6V |
| MC9S08LL16CGT | S08 | 20 | 16 | 2 | - | 48 | 31 | - | 2ch. | 1x8ch./12b | 1 | - | 8x16, 4x20 | - | 1 | 1 | 1 | - | QFN | 85C | 1.8~3.6V |
| S08PT系列：应用于电池供电触摸应用的5V系列微控制器 | | | | | | | | | | | | | | | | | | | | | |
| MC9S08PT60AVLH | S08 | 20 | 60 | 4 | 256 | 64 | 57 | 6ch. | 4ch. | 1x16ch./12b | 1 | - | - | 2 | 3 | 1 | 2 | 16 | LQFP | 105C | 2.7~5.5V |
| MC9S08PT60AVQH | S08 | 20 | 60 | 4 | 256 | 64 | 57 | 6ch. | 4ch. | 1x16ch./12b | 1 | - | - | 2 | 3 | 1 | 2 | 16 | QFP | 105C | 2.7~5.5V |
| MC9S08PT60AVLF | S08 | 20 | 60 | 4 | 256 | 48 | 41 | 6ch. | 4ch. | 1x12ch./12b | 1 | - | - | 2 | 3 | 1 | 2 | 12 | LQFP | 105C | 2.7~5.5V |
| MC9S08PT60AVLD | S08 | 20 | 60 | 4 | 256 | 44 | 37 | 6ch. | 4ch. | 1x12ch./12b | 1 | - | - | 2 | 3 | 1 | 2 | 12 | LQFP | 105C | 2.7~5.5V |
| MC9S08PT60AVLC | S08 | 20 | 60 | 4 | 256 | 32 | 28 | 6ch. | 4ch. | 1x12ch./12b | 1 | - | - | 2 | 2 | 1 | 2 | 12 | LQFP | 105C | 2.7~5.5V |
| MC9S08PT32AVLH | S08 | 20 | 32 | 4 | 256 | 64 | 57 | 6ch. | 4ch. | 1x16ch./12b | 1 | - | - | 2 | 3 | 1 | 2 | 16 | LQFP | 105C | 2.7~5.5V |
| MC9S08PT32AVQH | S08 | 20 | 32 | 4 | 256 | 64 | 57 | 6ch. | 4ch. | 1x16ch./12b | 1 | - | - | 2 | 3 | 1 | 2 | 16 | QFP | 105C | 2.7~5.5V |
| MC9S08PT32AVLF | S08 | 20 | 32 | 4 | 256 | 48 | 41 | 6ch. | 4ch. | 1x12ch./12b | 1 | - | - | 2 | 3 | 1 | 2 | 12 | LQFP | 105C | 2.7~5.5V |
| MC9S08PT32AVLD | S08 | 20 | 32 | 4 | 256 | 44 | 37 | 6ch. | 4ch. | 1x12ch./12b | 1 | - | - | 2 | 3 | 1 | 2 | 12 | LQFP | 105C | 2.7~5.5V |
| MC9S08PT32AVLC | S08 | 20 | 32 | 4 | 256 | 32 | 28 | 6ch. | 4ch. | 1x12ch./12b | 1 | - | - | 2 | 2 | 1 | 2 | 12 | LQFP | 105C | 2.7~5.5V |
| MC9S08PT16AVLD | S08 | 20 | 16 | 2 | 256 | 44 | 37 | 6ch. | 2ch. | 1x12ch./12b | 1 | - | - | 1 | 2 | 1 | 1 | 16 | LQFP | 105C | 2.7~5.5V |
| MC9S08PT16AVLC | S08 | 20 | 16 | 2 | 256 | 32 | 28 | 6ch. | 2ch. | 1x12ch./12b | 1 | - | - | 1 | 2 | 1 | 1 | 16 | LQFP | 105C | 2.7~5.5V |
| MC9S08PT16AVTJ | S08 | 20 | 16 | 2 | 256 | 20 | 18 | 6ch. | 2ch. | 1x10ch./12b | 1 | - | - | 1 | 1 | 1 | 1 | 8 | TSSOP | 105C | 2.7~5.5V |
| MC9S08PT16AVTG | S08 | 20 | 16 | 2 | 256 | 16 | 14 | 2ch. | 2ch. | 1x8ch./12b | 1 | - | - | 1 | 1 | 1 | 1 | 4 | TSSOP | 105C | 2.7~5.5V |
| MC9S08PT8AVLD | S08 | 20 | 8 | 2 | 256 | 44 | 37 | 6ch. | 2ch. | 1x12ch./12b | 1 | - | - | 1 | 2 | 1 | 1 | 16 | LQFP | 105C | 2.7~5.5V |
| MC9S08PT8AVLC | S08 | 20 | 8 | 2 | 256 | 32 | 28 | 6ch. | 2ch. | 1x12ch./12b | 1 | - | - | 1 | 2 | 1 | 1 | 16 | LQFP | 105C | 2.7~5.5V |
| MC9S08PT8AVTJ | S08 | 20 | 8 | 2 | 256 | 20 | 18 | 6ch. | 2ch. | 1x10ch./12b | 1 | - | - | 1 | 1 | 1 | 1 | 8 | TSSOP | 105C | 2.7~5.5V |
| MC9S08PT8AVTG | S08 | 20 | 8 | 2 | 256 | 16 | 14 | 2ch. | 2ch. | 1x8ch./12b | 1 | - | - | 1 | 1 | 1 | 1 | 4 | TSSOP | 105C | 2.7~5.5V |

| 产品型号 | 内核 | 主频(MHz) | 闪存(KB) | RAM(KB) | EEPROM(B) | 引脚数目 | I/O数目 | 电机控制PWM通道 | 标准PWM通道 | ADC通道/位数 | ACMP | Gate Driver Unit | 段码LCD | MTIM | UART | I ² C | SPI | TSI | 封装 | 最高工作温度 | 工作电压(V) |
|-----------------------------------|-----|---------|--------|---------|-----------|------|-------|-----------|---------|-------------|------|------------------|-------|------|------|------------------|-----|-----|-------|--------|----------|
| S08PA系列：全功能5V系列微控制器，支持触摸应用 | | | | | | | | | | | | | | | | | | | | | |
| MC9S08PA60AVLH | S08 | 20 | 60 | 4 | 256 | 64 | 57 | 6ch. | 4ch. | 1x16ch./12b | 1 | - | - | 2 | 3 | 1 | 2 | - | LQFP | 105C | 2.7~5.5V |
| MC9S08PA60AVQH | S08 | 20 | 60 | 4 | 256 | 64 | 57 | 6ch. | 4ch. | 1x16ch./12b | 1 | - | - | 2 | 3 | 1 | 2 | - | QFP | 105C | 2.7~5.5V |
| MC9S08PA60AVLF | S08 | 20 | 60 | 4 | 256 | 48 | 41 | 6ch. | 4ch. | 1x12ch./12b | 1 | - | - | 2 | 3 | 1 | 2 | - | LQFP | 105C | 2.7~5.5V |
| MC9S08PA60AVLD | S08 | 20 | 60 | 4 | 256 | 44 | 37 | 6ch. | 4ch. | 1x12ch./12b | 1 | - | - | 2 | 3 | 1 | 2 | - | LQFP | 105C | 2.7~5.5V |
| MC9S08PA60AVLC | S08 | 20 | 60 | 4 | 256 | 32 | 28 | 6ch. | 4ch. | 1x12ch./12b | 1 | - | - | 2 | 2 | 1 | 2 | - | LQFP | 105C | 2.7~5.5V |
| MC9S08PA32AVLH | S08 | 20 | 32 | 4 | 256 | 64 | 57 | 6ch. | 4ch. | 1x16ch./12b | 1 | - | - | 2 | 3 | 1 | 2 | - | LQFP | 105C | 2.7~5.5V |
| MC9S08PA32AVQH | S08 | 20 | 32 | 4 | 256 | 64 | 57 | 6ch. | 4ch. | 1x16ch./12b | 1 | - | - | 2 | 3 | 1 | 2 | - | QFP | 105C | 2.7~5.5V |
| MC9S08PA32AVLF | S08 | 20 | 32 | 4 | 256 | 48 | 41 | 6ch. | 4ch. | 1x12ch./12b | 1 | - | - | 2 | 3 | 1 | 2 | - | LQFP | 105C | 2.7~5.5V |
| MC9S08PA32AVLD | S08 | 20 | 32 | 4 | 256 | 44 | 37 | 6ch. | 4ch. | 1x12ch./12b | 1 | - | - | 2 | 3 | 1 | 2 | - | LQFP | 105C | 2.7~5.5V |
| MC9S08PA32AVLC | S08 | 20 | 32 | 4 | 256 | 32 | 28 | 6ch. | 4ch. | 1x12ch./12b | 1 | - | - | 2 | 3 | 1 | 2 | - | LQFP | 105C | 2.7~5.5V |
| MC9S08PA16AVLD | S08 | 20 | 16 | 2 | 256 | 44 | 37 | 6ch. | 2ch. | 1x12ch./12b | 1 | - | - | 1 | 3 | 1 | 1 | - | LQFP | 105C | 2.7~5.5V |
| MC9S08PA16AVLC | S08 | 20 | 16 | 2 | 256 | 32 | 28 | 6ch. | 2ch. | 1x12ch./12b | 1 | - | - | 1 | 3 | 1 | 1 | - | LQFP | 105C | 2.7~5.5V |
| MC9S08PA16AVTJ | S08 | 20 | 16 | 2 | 256 | 20 | 18 | 6ch. | 2ch. | 1x10ch./12b | 1 | - | - | 1 | 1 | 1 | 1 | - | TSSOP | 105C | 2.7~5.5V |
| MC9S08PA16AMTJ | S08 | 20 | 16 | 2 | 256 | 20 | 18 | 6ch. | 2ch. | 1x10ch./12b | 1 | - | - | 1 | 1 | 1 | 1 | - | TSSOP | 125C | 2.7~5.5V |
| MC9S08PA16AVTJ | S08 | 20 | 16 | 2 | 256 | 20 | 18 | 6ch. | 2ch. | 1x10ch./12b | 1 | - | - | 1 | 1 | 1 | 1 | - | TSSOP | 105C | 2.7~5.5V |
| MC9S08PA16AMTG | S08 | 20 | 16 | 2 | 256 | 16 | 14 | 2ch. | 2ch. | 1x6ch./12b | 1 | - | - | 1 | 1 | 1 | 1 | - | TSSOP | 125C | 2.7~5.5V |
| MC9S08PA16AVTG | S08 | 20 | 16 | 2 | 256 | 16 | 14 | 2ch. | 2ch. | 1x6ch./12b | 1 | - | - | 1 | 1 | 1 | 1 | - | TSSOP | 105C | 2.7~5.5V |
| MC9S08PA8AVLD | S08 | 20 | 8 | 2 | 256 | 44 | 37 | 6ch. | 2ch. | 1x12ch./12b | 1 | - | - | 1 | 2 | 1 | 1 | - | LQFP | 105C | 2.7~5.5V |
| MC9S08PA8AVLC | S08 | 20 | 8 | 2 | 256 | 32 | 28 | 6ch. | 2ch. | 1x12ch./12b | 1 | - | - | 1 | 2 | 1 | 1 | - | LQFP | 105C | 2.7~5.5V |
| MC9S08PA8AVTJ | S08 | 20 | 8 | 2 | 256 | 20 | 18 | 6ch. | 2ch. | 1x10ch./12b | 1 | - | - | 1 | 1 | 1 | 1 | - | TSSOP | 105C | 2.7~5.5V |
| MC9S08PA8AMTG | S08 | 20 | 8 | 2 | 256 | 16 | 14 | 2ch. | 2ch. | 1x6ch./12b | 1 | - | - | 1 | 1 | 1 | 1 | - | TSSOP | 125C | 2.7~5.5V |
| MC9S08PA8AVTG | S08 | 20 | 8 | 2 | 256 | 16 | 14 | 2ch. | 2ch. | 1x6ch./12b | 1 | - | - | 1 | 1 | 1 | 1 | - | TSSOP | 105C | 2.7~5.5V |
| MC9S08PA4AVTJ | S08 | 20 | 4 | 0.512 | 128 | 20 | 18 | - | 4ch. | 1x8ch./12b | 1 | - | - | - | 1 | - | - | - | TSSOP | 105C | 2.7~5.5V |
| MC9S08PA4AVTG | S08 | 20 | 4 | 0.512 | 128 | 16 | 14 | - | 4ch. | 1x8ch./12b | 1 | - | - | - | 1 | - | - | - | TSSOP | 105C | 2.7~5.5V |
| MC9S08PA4MTG | S08 | 20 | 4 | 0.512 | 128 | 16 | 14 | - | 4ch. | 1x8ch./12b | 1 | - | - | - | 1 | - | - | - | TSSOP | 125C | 2.7~5.5V |
| MC9S08PA4AVTG | S08 | 20 | 4 | 0.512 | 128 | 16 | 14 | - | 4ch. | 1x8ch./12b | 1 | - | - | - | 1 | - | - | - | TSSOP | 105C | 2.7~5.5V |
| MC9S08PA4AVDC | S08 | 20 | 4 | 0.512 | 128 | 8 | 6 | - | 3ch. | 1x4ch./12b | 1 | - | - | - | 1 | - | - | - | DFN | 105C | 2.7~5.5V |
| MC9S08PA4AVSC | S08 | 20 | 4 | 0.512 | 128 | 8 | 6 | - | 3ch. | 1x4ch./12b | 1 | - | - | - | 1 | - | - | - | SOICN | 105C | 2.7~5.5V |

| 产品型号 | 内核 | 主频 (MHz) | 闪存 (KB) | RAM (KB) | EEPROM (B) | 引脚 数目 | I/O 数目 | 电机控 制PWM 通道 | 标准 PWM通 道 | ADC通道/位 数 | ACMP | Gate Driver Unit | 段码LCD | MTIM | UART | I ² C | SPI | TSI | 封装 | 最高工 作温度 | 工作电压 (V) |
|--------------------------------|-----|-------------|------------|-------------|---------------|----------|-----------|-------------------|-----------------|--------------|------|------------------------|-------|------|------|------------------|-----|-----|-------|------------|-------------|
| S08PB系列: 全功能5V系列微控制器 | | | | | | | | | | | | | | | | | | | | | |
| MC9S08PB16VTJ | S08 | 20 | 16 | 1 | - | 20 | 18 | 6ch. | 2ch. | 1x12ch./12b | 2 | - | - | 2 | 1 | - | - | - | TSSOP | 85C | 2.7~5.5V |
| MC9S08PB16VTG | S08 | 20 | 16 | 1 | - | 16 | 14 | 2ch. | 2ch. | 1x8ch./12b | 2 | - | - | 2 | 1 | - | - | - | TSSOP | 85C | 2.7~5.5V |
| MC9S08PB8VTJ | S08 | 20 | 8 | 1 | - | 20 | 18 | 6ch. | 2ch. | 1x12ch./12b | 2 | - | - | 2 | 1 | - | - | - | TSSOP | 85C | 2.7~5.5V |
| MC9S08PB8VTG | S08 | 20 | 8 | 1 | - | 16 | 14 | 2ch. | 2ch. | 1x8ch./12b | 2 | - | - | 2 | 1 | - | - | - | TSSOP | 85C | 2.7~5.5V |
| MC9S08PB16MTJ | S08 | 20 | 16 | 1 | - | 20 | 18 | 6ch. | 2ch. | 1x12ch./12b | 2 | - | - | 2 | 1 | - | - | - | TSSOP | 85C | 2.7~5.5V |
| MC9S08PB16MTG | S08 | 20 | 16 | 1 | - | 16 | 14 | 2ch. | 2ch. | 1x8ch./12b | 2 | - | - | 2 | 1 | - | - | - | TSSOP | 85C | 2.7~5.5V |
| MC9S08PB8MTJ | S08 | 20 | 8 | 1 | - | 20 | 18 | 6ch. | 2ch. | 1x12ch./12b | 2 | - | - | 2 | 1 | - | - | - | TSSOP | 85C | 2.7~5.5V |
| MC9S08PB8MTG | S08 | 20 | 8 | 1 | - | 16 | 14 | 2ch. | 2ch. | 1x8ch./12b | 2 | - | - | 2 | 1 | - | - | - | TSSOP | 85C | 2.7~5.5V |
| S08PL系列: 高性价比5V系列微控制器 | | | | | | | | | | | | | | | | | | | | | |
| MC9S08PL60CQH | S08 | 20 | 60 | 4 | 256 | 64 | 57 | - | 10ch. | 1x16ch./10b | 1 | - | - | 1 | 3 | - | - | - | QFP | 85C | 2.7~5.5V |
| MC9S08PL60CLD | S08 | 20 | 60 | 4 | 256 | 44 | 42 | - | 10ch. | 1x12ch./10b | 1 | - | - | 1 | 3 | - | - | - | LQFP | 85C | 2.7~5.5V |
| MC9S08PL60CLC | S08 | 20 | 60 | 4 | 256 | 32 | 30 | - | 10ch. | 1x12ch./10b | 1 | - | - | 1 | 2 | - | - | - | LQFP | 85C | 2.7~5.5V |
| MC9S08PL32CQH | S08 | 20 | 32 | 4 | 256 | 64 | 57 | - | 10ch. | 1x16ch./10b | 1 | - | - | 1 | 3 | - | - | - | QFP | 85C | 2.7~5.5V |
| MC9S08PL32CLD | S08 | 20 | 32 | 4 | 256 | 44 | 42 | - | 10ch. | 1x12ch./10b | 1 | - | - | 1 | 3 | - | - | - | LQFP | 85C | 2.7~5.5V |
| MC9S08PL32CLC | S08 | 20 | 32 | 4 | 256 | 32 | 30 | - | 10ch. | 1x12ch./10b | 1 | - | - | 1 | 2 | - | - | - | LQFP | 85C | 2.7~5.5V |
| MC9S08PL16CLC | S08 | 20 | 16 | 2 | 256 | 32 | 30 | - | 8ch. | 1x12ch./10b | 1 | - | - | 1 | 2 | - | - | - | LQFP | 85C | 2.7~5.5V |
| MC9S08PL16CTJ | S08 | 20 | 16 | 2 | 256 | 20 | 18 | - | 8ch. | 1x10ch./10b | 1 | - | - | 1 | 1 | - | - | - | TSSOP | 85C | 2.7~5.5V |
| MC9S08PL16CTG | S08 | 20 | 16 | 2 | 256 | 16 | 14 | - | 4ch. | 1x8ch./10b | 1 | - | - | 1 | 1 | - | - | - | TSSOP | 85C | 2.7~5.5V |
| MC9S08PL8CLC | S08 | 20 | 8 | 2 | 256 | 32 | 30 | - | 8ch. | 1x12ch./10b | 1 | - | - | 1 | 2 | - | - | - | LQFP | 85C | 2.7~5.5V |
| MC9S08PL8CTJ | S08 | 20 | 8 | 2 | 256 | 20 | 18 | - | 8ch. | 1x10ch./10b | 1 | - | - | 1 | 1 | - | - | - | TSSOP | 85C | 2.7~5.5V |
| MC9S08PL8CTG | S08 | 20 | 8 | 2 | 256 | 16 | 14 | - | 4ch. | 1x8ch./10b | 1 | - | - | 1 | 1 | - | - | - | TSSOP | 85C | 2.7~5.5V |
| MC9S08PL4CTJ | S08 | 20 | 4 | 0.512 | 128 | 20 | 18 | - | 4ch. | 1x8ch./10b | 1 | - | - | - | 1 | - | - | - | TSSOP | 85C | 2.7~5.5V |
| MC9S08PL4CTG | S08 | 20 | 4 | 0.512 | 128 | 16 | 14 | - | 4ch. | 1x8ch./10b | 1 | - | - | - | 1 | - | - | - | TSSOP | 85C | 2.7~5.5V |
| MC9S08PL4CSC | S08 | 20 | 4 | 0.512 | 128 | 8 | 6 | - | 3ch. | 1x4ch./10b | 1 | - | - | - | 1 | - | - | - | SOICN | 85C | 2.7~5.5V |
| S08PLS系列: 超高性价比5V系列微控制器 | | | | | | | | | | | | | | | | | | | | | |
| MC9S08PL16SCTJ | S08 | 20 | 16 | 1 | - | 20 | 18 | 6ch. | 2ch. | 1x12ch./10b | 1 | - | - | 1 | 1 | - | - | - | TSSOP | 85C | 2.7~5.5V |
| MC9S08PL16SCTG | S08 | 20 | 16 | 1 | - | 20 | 18 | 6ch. | 2ch. | 1x12ch./10b | 1 | - | - | 1 | 1 | - | - | - | TSSOP | 85C | 2.7~5.5V |
| MC9S08PL8SCTJ | S08 | 20 | 8 | 1 | - | 16 | 14 | 6ch. | 2ch. | 1x12ch./10b | 1 | - | - | 1 | 1 | - | - | - | TSSOP | 85C | 2.7~5.5V |
| MC9S08PL8SCTG | S08 | 20 | 8 | 1 | - | 16 | 14 | 6ch. | 2ch. | 1x12ch./10b | 1 | - | - | 1 | 1 | - | - | - | TSSOP | 85C | 2.7~5.5V |

恩智浦微控制器开发环境简介

MCUXpresso

恩智浦MCUXpresso软件和工具为客户提供全面的开发解决方案，旨在优化、简化和帮助加快基于恩智浦通用MCU、跨界MCU和支持Bluetooth™ MCU的应用的嵌入式系统开发。MCUXpresso软件和工具融合了恩智浦的最佳软件功能，并支持轻松访问恩智浦支持技术合作伙伴提供的工具和中间件。

面向基于Arm® Cortex®-M技术的恩智浦MCU的MCUXpresso套件包括设备配置工具、驱动程序和中间件、功能完备的IDE和安全的指配工具。

MCUXpresso SDK是一个全面的软件支持包，旨在简化和加速基于恩智浦微控制器产品的应用开发。包括生产级软件以及集成实时操作系统，集成协议栈和中间件、参考软件等，可进行定制下载。

MCUXpresso IDE为开发人员带来了一个易于使用的基于eclipse的开发环境，MCUXpresso IDE提供高级编辑、编译和调试功能，增加了MCU特定的调试视图、代码跟踪和分析、多核调试和集成配置工具。调试连接采用业界领先的开源和商用硬件调试器，支持Freedom、TWR、i.MX RT、LPCXpresso开发板。

MCUXpresso配置工具是一套集成的配置工具，进行设计时，此套工具有助于指导用户进行第一次评估直到开发生产软件。工具提供在线和桌面版，允许开发者快速定制SDK，利用引脚、时钟和外设工具生成支持定制电路板代码，评估系统功耗和电池寿命。

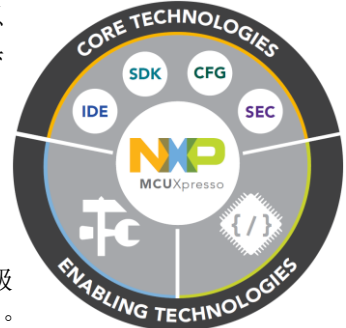
MCUXpresso安全配置工具专为安全指配、密钥、签名和证书的生成和管理而打造。是一款基于GUI的应用程序，用于简化在恩智浦MCU上生成和指配可启动的可执行文件。

Freedom开发板

一种小型化、低功耗、高性价比的评估和开发平台，是采用K系列MCU和恩智浦传感器进行快速应用原型设计和制作 演示的完美之选。这些开发板具有易于使用的大容量存储设备模式闪存编程器、一个虚拟串行端口以及常规的编程功能和运行控制功能。

- 低成本(厂商建议零售价低至20美元)
- 采用业界标准的紧凑设计
- 可轻松访问MCU的I/O引脚
- 集成的开放标准串行和调试接口(OpenSDA)
- 兼容各种第三方扩展电路板

入门上手快速简单，您只需选择您想要的Freedom开发板，再选择兼容的软件，加入NXP网络社区即可。您甚至可以借助规格与Arduino™ R3引脚布局兼容的附加开源电路板，为您的设计添加特性和功能。

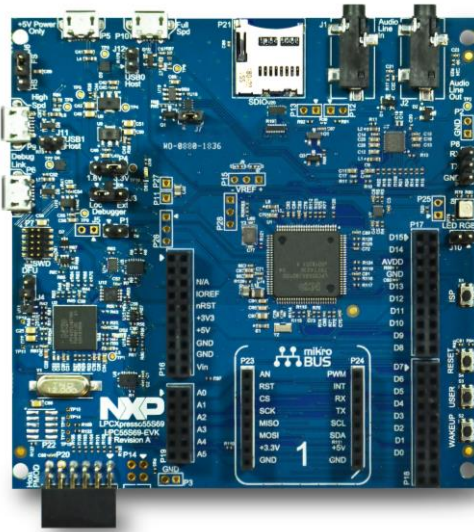


恩智浦微控制器开发环境简介

LPCXpresso开发板

低成本LPCXpresso开发板为恩智浦LPC系列微控制器设计，让您能够快速开始和运行设计。LPCXpresso开发板旨在实现简单、快速的原型设计和评估，与LPCXpresso IDE或行业领先的合作伙伴工具链配套使用。

- LPC目标MCU
- 面向外部硬件调试器的连接器
- Arduino Uno和Pmod™屏蔽连接，用于接入更多的现成扩展硬件(MAX、V2和V3)
- mbed支持(MAX和V2板)
- 采用硬件扩展底板、Arduino Shield和Pmod板(MAX、V2 和V3)轻松升级
- LPCXpresso板的目标部分可连接至扩展板，以提供多种接口和I/O器件。板载硬件调试器可用于调试其他目标(除MAX版本外的所有电路板类型)。



板载调试器：LPC-Link和Link2

LPCXpresso板的板载JTAG/SWD调试器部分称为LPC-Link，在以后的板上称为Link2 (MAX型号除外)。在早期的LPC-Link板中，可以切断LPC-Link和目标芯片之间的连接，使其成为一个独立的JTAG调试器。在以后的LPCXpresso板中，可以通过一个简单的跳线设置，使LPCXpresso板能独立地连接到外部目标，用来开发基于恩智浦Cortex-M0、Cortex-M3和Cortex-M4的各种应用。LPC-Link还可支持基于ARM7/9的应用。LPCXpresso MAX板有板载硬件调试器，可实施CMSIS-DAP协议，支持其与LPCXpresso IDE、mbed及一系列第三方工具配套使用。

Link2硬件调试器可以进行编程支持CMSIS-DAP，或使用LPCScrypt DFU工具配置成为评估版的SEGGER J-Link。

支持Arm® mbed™的开发平台

基于Web的Arm mbed开发平台是一种广受欢迎、易于使用的开发平台。在该平台的基础上，恩智浦推出了多种评估和原型设计平台。凭借在线软件开发套件、免费软件库、硬件设计和在线工具，mbed成为了基于Arm®微控制器开发产品最快捷的方法。

恩智浦微控制器

- 全球领先的微控制器供应商
- 可扩展的产品组合涵盖了不同性能水平，功耗，内存空间和封装选择
- 垂直市场基于特定应用的完善解决方案
- 统一的软件工具和广泛的生态支持
- 产品长期供货保证



www.nxp.com

NXP and the NXP logo are trademarks of NXP B.V. All other product or service names are the property of their respective owners.
© 2021 NXP B.V.

Document Number: MCUSELGUIDECH REV 1